

91
24.



**UNIVERSIDAD NACIONAL AUTONOMA
DE MEXICO**

FACULTAD DE INGENIERIA

**Simulación Numérica del Flujo
de Materiales Granulares**

T E S I S

QUE PARA OBTENER EL TITULO DE

INGENIERO MECANICO ELECTRICISTA

(AREA MECANICA)

P R E S E N T A

GUSTAVO JOSEPH GONZALEZ

DIRECTOR DE TESIS: DR. BALTASAR MENA INIESTA



México, D. F.

Junio, 1997

**TESIS CON
FALLA DE ORIGEN**



Universidad Nacional
Autónoma de México



UNAM – Dirección General de Bibliotecas
Tesis Digitales
Restricciones de uso

DERECHOS RESERVADOS ©
PROHIBIDA SU REPRODUCCIÓN TOTAL O PARCIAL

Todo el material contenido en esta tesis esta protegido por la Ley Federal del Derecho de Autor (LFDA) de los Estados Unidos Mexicanos (México).

El uso de imágenes, fragmentos de videos, y demás material que sea objeto de protección de los derechos de autor, será exclusivamente para fines educativos e informativos y deberá citar la fuente donde la obtuvo mencionando el autor o autores. Cualquier uso distinto como el lucro, reproducción, edición o modificación, será perseguido y sancionado por el respectivo titular de los Derechos de Autor.

A Boru,
Chucho,
Oci,
Pule y
Udi.

Agradecimientos

A la Universidad Nacional Autónoma de México, por permitirme, con su gran mosaico de actividades, escuelas, foros y gente, obtener una formación tanto académica como cultural.

A la Facultad de Ingeniería y a su Programa de Alto Rendimiento Académico, por los años de apoyo y las oportunidades ofrecidas para conocer gente, aprender cosas nuevas, aplicar cosas viejas y disfrutar de las cosas cotidianas.

A Fundación UNAM, por proporcionar dieciocho meses de beca para el servicio social y la elaboración de esta tesis.

Al Instituto de Investigaciones en Materiales, por la infraestructura, equipo, libros, conferencias, donas, café y galletas, así como también por el apoyo económico prestado durante mi estancia en él.

A Baltasar, por haber propuesto tanto el tema como mi asistencia al Congreso Internacional de Reología; también, por proporcionar ideas, conciertos, música y comidas que tanto complementaron la labor granular.

A Enrique Geffroy, quien más que ser el profesor “de al lado”, se convirtió en una verdadera fuente de ideas y guía para lograr el mejor funcionamiento de esta simulación numérica.

Al Dr. Otis Walton, por su profunda, desinteresada y completa explicación de γ shear.

A todo el equipo de trabajo del Laboratorio de Reología, pero en especial a los Brolos (Omar y Edgar), quienes lograron hacer de ésta una labor tanto amena como productiva, en la que a diario se aprendía algo.

A Adán (y Sol), Boli, Cespín (y asociados), Gaby, Juanita, Julito, Lore, Robert T. (y anexas), Sol (y Adán), Toñito y demás banda: cinco años maravillosos, muchos más por venir.

Contenido

CONTENIDO	ix
TABLA DE ILUSTRACIONES	xi
OBJETIVOS E INTRODUCCIÓN	1
GENERALIDADES SOBRE MATERIALES GRANULARES	3
Breve historia de los granulares	3
Un sólido poco común: arena en reposo	6
Un líquido poco común: la hidrodinámica granular	8
Un gas poco común: inelasticidad, aglutinamiento, desplome	13
MÉTODOS PARA SIMULACIÓN NUMÉRICA DE FLUJOS	17
¿Por qué simular flujos?	17
Dinámica Molecular	20
Algoritmo de Gear de predicción-corrección	22
Algoritmo de Verlet	23
Método de Monte Carlo	25
DESCRIPCIÓN DEL ALGORITMO EMPLEADO	27
Cálculo de posiciones, orientaciones y velocidades	27
Cálculo de fuerzas	32
Modificaciones al Código Original	35

RESULTADOS OBTENIDOS Y DISCUSIÓN	41
CONCLUSIONES	49
¿Qué sigue?	50
CÓDIGO FUENTE	A1
ARCHIVOS DE ENTRADA	A51
Corrida 1. Simetría en el eje vertical	A51
Corrida 2. Diámetro máximo permisible para las partículas en el silo	A52
Corrida 3. Estado permanente del flujo en un silo hexagonal	A53
Corrida 4. El silo completo	A55
PROGRAMAS DE VISUALIZACIÓN	A57
REFERENCIAS	A69

Tabla de Ilustraciones

<i>Figura 1.</i> En esta toma se puede observar cómo el flujo de granos de mostaza se presenta solamente en la superficie, sin que el material por debajo del ángulo de reposo se vea afectado.....	4
<i>Figura 2.</i> Para visualizar las cadenas de fuerza, se colocan esferas de vidrio un recipiente igualmente de vidrio. Los espacios intersticiales se rellenan con un fluido del mismo índice de refracción al del vidrio y se coloca el conjunto entre polarizadores cruzados (de tal forma que no pase luz). Al aplicar una carga uniforme a la superficie, se hacen evidentes las cadenas de esfuerzo como cambios en la polarización de la luz.....	7
<i>Figura 3.</i> A la izquierda se puede observar la imagen de resonancia magnética, sin ningún patrón evidente, de granos de ajonjolí en reposo. Intencionalmente se adhirió algunos granos a las paredes del recipiente para darles visibilidad. La imagen del centro muestra los perfiles de densidad que se presentan con oscilaciones periódicas, mientras que para la imagen de la derecha se dio un solo impulso vertical "instantáneo".....	10
<i>Figura 4.</i> Se presentan vistas superiores de un lecho de 7-8 partículas de profundidad, al vacío y sujeto a vibraciones verticales. Para una frecuencia dada, existe una amplitud crítica a la cual la superficie cambia de plana a estríada. A 25 Hz, se crean patrones cuadrangulares, mientras que si la amplitud aumenta, los patrones se vuelven hexagonales y luego toman la forma de costuras en una pelota de béisbol. En la última imagen se muestra, para una profundidad de 17 partículas, un tipo de estructura conocido como <i>oscilón</i>	11
<i>Figura 5.</i> Después de un cierto número de rotaciones completas se observa una marcada segregación entre granos de arena de Ottawa (de color oscuro) y granos de sal (de color claro). Esta segregación se presenta para toda la altura y no sólo para la superficie.....	11
<i>Figura 6.</i> Al hacer rotar horizontalmente un tambor a una velocidad angular Ω tal que los reacomodos se presenten como avalanchas sucesivas y separadas una de otra, se observa que el mezclado se da sólo en la intersección de los planos superficiales. Si el tambor se encuentra lleno a más de la mitad, se crea un núcleo central que jamás se mezcla. Para los pares de imágenes mostrados, la fotografía de la izquierda corresponde a simulaciones numéricas, mientras que la de la derecha corresponde a fotografías de experimentos con sal teñida con dos tonos de colorante. El comportamiento es análogo para cualquier geometría del tambor.....	12
<i>Figura 7.</i> Se muestra por medio de resonancia magnética la segregación de granos de café (manchas oscuras) en una matriz de ajonjolí sujeta a oscilaciones verticales. El tiempo aumenta de izquierda a derecha. Las tres tomas superiores corresponden a un corte cercano a la parte frontal del recipiente, mientras que las inferiores corresponden a la parte posterior. Los dos juegos centrales son cortes cercanos a la mitad. Se observa cómo el flujo hacia arriba es más rápido en el centro que en la periferia.....	13
<i>Figura 8.</i> Las partículas comienzan con velocidades aleatorias a lo largo de la única dimensión libre. El extremo izquierdo es una fuente de energía, mientras que el extremo derecho es una pared fija. Los tonos más oscuros denotan velocidades más bajas. Conforme avanza el tiempo, se observa que las partículas se colapsan, quedando al final una sola con muy alta velocidad. Si ambas paredes estuvieran termalizadas, ¿se presentaría un colapso en el centro!	14
<i>Figura 9.</i> Relación entre experimentos, teoría y simulación por computadora.....	18

- Figura 10.** Dos formas comunes del algoritmo de Verlet. La secuencia (a) muestra el método original de Verlet. La secuencia (b) corresponde al método de *salto de rana*. Los valores almacenados se representan por las celdas sombreadas..... 24
- Figura 11.** La figura (a) muestra el aspecto de un “plano infinito” dentro de fronteras periódicas, considerando que la partícula de referencia se encuentra al centro de la celda. Si la partícula se encuentra en otra posición, el efecto puede ser aún peor, como se muestra en la figura (b). La figura (c) muestra el resultado obtenido para un plano finito..... 37
- Figura 12.** Grados de libertad de una partícula y su imagen reflejada en un espejo plano..... 37
- Figura 13.** Se muestra un espejo *browniano* al cual se aproximan 20 partículas perfectamente alineadas. Nótese que el espejo asume una posición diferente para cada partícula, pero su desplazamiento en ningún caso excede un diámetro de partícula..... 38
- Figura 14.** La figura (a) muestra la primera simulación obtenida con un plano de simetría. La simetría es “dura” y las partículas adyacentes al espejo se alinean perfectamente, como si estuvieran apoyadas en una pared rígida. Si en vez de un espejo hubiéramos empleado una pared rígida, las partículas rebotarían en ella, formando oquedades como se muestra en la figura (b). Cada imagen consta de 14 000 partículas (7000×2)..... 41
- Figura 15.** La misma simulación de la figura anterior, pero evaluándola con un plano de simetría *browniano*. El resultado es mucho más convincente..... 42
- Figura 16.** Simulación con 14 000 partículas (7000×2) de 1 cm de radio. Los pequeños montículos en la parte inferior corresponden, debido a las fronteras periódicas, a la parte más alta de la mitad superior. Los ángulos dinámicos de reposo (encerrados con un círculo) corresponden a las esferas con coeficiente de fricción $\mu = 0.5$. 43
- Figura 17.** La figura (a) muestra el campo de velocidades de las partículas dentro de la celda de simulación en estado permanente. La celda se muestra con la línea continua. Los tonos más claros corresponden a velocidades más altas. La velocidad del núcleo central (extremo derecho de la celda) es entre dos y tres órdenes de magnitud mayor que la de las partículas sobre la rampa (a la izquierda). Los tonos de gris representan el logaritmo de la rapidez de las partículas en cada punto. Las figuras (b) y (c), a la derecha, muestran las posiciones de 24 000 (12 000×2) partículas de 1 cm de radio, a 1 y 4 segundos de alcanzado el estado permanente. Un análisis detallado de las posiciones permite ver que la configuración en la rampa prácticamente no cambia (como es el caso de las zonas encerradas por círculos), mientras que el núcleo central modifica substancialmente su configuración, al grado de que no se puede decir cuales partículas son la misma en ambas imágenes (zona encerrada por rectángulos)..... 44
- Figura 18.** Imagen simulada del silo hexagonal totalmente lleno. Se muestran 50 000 (25 000×2) partículas del máximo diámetro permisible. Empleando partículas con un diámetro equivalente al del maíz, se hubiera requerido de 430 000 (215 000×2), lo que significaría un tiempo de cómputo 70 veces mayor..... 46
- Figura 19.** La figura a la izquierda muestra una configuración sin hacer énfasis en las orientaciones de cada partícula. La figura a la derecha, en cambio, muestra la misma configuración incluyendo las orientaciones..... 457

Objetivos e Introducción

Hipótesis: El algoritmo de dinámica molecular propuesto por el Dr. Otis Walton es capaz de simular exitosamente el flujo dentro del silo hexagonal inventado por el Dr. Baltasar Mena.

El presente trabajo pretende ser una primera aproximación a la simulación completa de las propiedades de flujo dentro de un silo hexagonal, desarrollado por el Dr. Baltasar Mena en el Instituto de Investigaciones en Materiales de la UNAM. El diseño actual del silo ha probado ser altamente ventajoso para la conservación adecuada de los granos alimenticios. El objetivo concreto de esta tesis es sentar las bases para poder analizar numéricamente el flujo granular dentro del silo. Para esto se realizaron modificaciones especiales a un algoritmo de dinámica molecular desarrollado por el Dr. Otis Walton en los Lawrence Livermore National Laboratories de los Estados Unidos. El objetivo a largo plazo de este estudio consiste en aprovechar las simulaciones numéricas para mejorar el diseño del silo hexagonal.

El estudio de los materiales granulares y su flujo ha cobrado gran importancia en los últimos años. Se han desarrollado diversas teorías para explicar su comportamiento, pero resulta difícil analizarlos en detalle porque prácticamente todos los métodos de medición requieren invadir de alguna u otra manera al medio granular, perturbándolo en mayor o menor medida. Una forma de analizar el interior de un flujo granular consiste en hacer una simulación numérica satisfactoria. Si se logra aproximar la geometría de uno de estos flujos por medio de una simulación, podemos tener una relativa certeza de que las propiedades calculadas corresponderán a las propiedades reales (empaquetamiento, energía cinética, tensor de esfuerzos, etc.).

En el primer capítulo se describe el estado actual del conocimiento respecto a los materiales granulares, enfatizando que su comportamiento los vuelve, por derecho propio, un estado más

de la materia. En el segundo capítulo se hace un resumen de los métodos más comunes de simulación numérica de flujos, describiendo sobre todo la dinámica molecular, pues el sistema desarrollado se basa justamente en esta técnica.

De ese punto en adelante, se describe detalladamente el algoritmo propuesto por Walton, así como también las modificaciones realizadas. Como apoyo a cada una de dichas modificaciones, se presenta una serie de resultados de simulaciones que coinciden cada vez mejor con la realidad, para culminar con una simulación del síio completo.

En los apéndices se presentan los listados del código fuente del algoritmo de simulación, los archivos de entrada para cada corrida representativa, el listado del programa de postprocesamiento de datos y las referencias bibliográficas.

Este trabajo se llevó a cabo en su totalidad en el Laboratorio de Reología del Instituto de Investigaciones en Materiales de la UNAM, bajo la dirección del Dr. Baltasar Mena Iniesta.

Generalidades sobre Materiales Granulares

Breve historia de los granulares

¿Quién pudiera calcular la trayectoria de una molécula? ¿Cómo sabemos si la creación de los mundos no está determinada por la caída de granos de arena?^a Fue con esta frase que Victor Hugo transpuso los límites del sentido común al relacionar la creación de los mundos con el movimiento de simples granos de arena. Y sin embargo, su metáfora demostró su real alcance y actualidad a poco más de cien años de haber sido planteada. Es difícil pensar en alguna industria que no emplee materiales granulares en sus procesos de transformación. La erosión, la dinámica de placas tectónicas y las avalanchas son todos procesos geológicos de carácter granular. Incluso el altero de libros, papel y demás objetos que casi todos tenemos en nuestros escritorios suelen estar tan cerca de su ángulo de reposo que cualquier perturbación aleatoria puede provocar una avalancha hacia el piso. En este capítulo trataré de mostrar la riqueza y complejidad que tienen en sí mismos estos importantes materiales.

Los materiales granulares son simples. Son grandes conglomerados de partículas macroscópicas individuales. En ausencia de efectos cohesivos, las fuerzas que actúan entre ellos son estrictamente repulsivas por lo que la forma del conjunto está determinada por sus fronteras exteriores y la acción de la gravedad. Cualquier gas intersticial que se encuentre presente puede ser fácilmente despreciado al evaluar las propiedades del material granular sin incurrir en prácticamente ningún error. Y a pesar de esta mustia apariencia, los materiales granulares se comportan de manera diferente a cualquier otra forma de agregación de la materia—sólidos, líquidos o gases—y pueden por derecho propio ser considerados un estado más de la materia.

^a Victor Hugo (1802–1855), escritor francés, en *Les Misérables* (1862).

El meollo de este comportamiento único radica en dos características peculiares: la temperatura termodinámica no tiene efecto alguno y las interacciones entre los diversos granos son disipativas por causa de la fricción estática y la inelasticidad de las colisiones¹. Un montón de arena que tenga una pendiente menor a su ángulo de reposo, por ejemplo, se comporta como un sólido: permanece en reposo aún cuando la acción gravitacional crea esfuerzos microscópicos en su superficie. Si inclinamos el montículo varios grados por arriba del ángulo de reposo de la arena, las partículas comenzarán a fluir. Sin embargo, este flujo difiere claramente del de un fluido

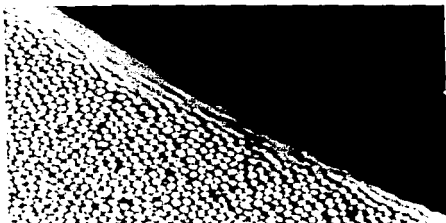


Figura 1. En esta toma se puede observar cómo el flujo de granos de mostaza se presenta solamente en la superficie, sin que el material por debajo del ángulo de reposo se vea afectado.

ordinario pues sólo se presenta en la superficie del montículo (*Figura 1*), sin que exista movimiento alguno en el grueso de los granos. Podríamos entonces modelar el flujo granular como el de un gas denso, pues los gases también se conforman de partículas individuales cuya interacción cohesiva es despreciable. Pero a diferencia de los gases ordinarios, la energía térmica, kT , es absolutamente insignificante en los materiales granulares. El factor energético relevante para una partícula de masa m y diámetro d es su energía potencial mgd , donde g es la aceleración gravitacional. Para un grano de

arena típico a temperatura ambiente, la energía potencial es por lo menos 10^{12} veces kT , lo que significa que cualquier relación termodinámica se vuelve inútil. El hecho de que $kT \approx 0$ implica que la entropía del sistema es varios órdenes de magnitud menor que los efectos dinámicos, por lo que algunos efectos que aparentemente violan el principio del incremento de la entropía se presentan con singular recurrencia en los sistemas granulares.

Por otra parte, al ser la temperatura termodinámica despreciable, los sistemas granulares están privados de experimentar el equivalente a un cambio de fase. Cada configuración metaestable de un material granular permanecerá indefinidamente a menos que una acción externa lo perturbe. Además, no existe la posibilidad de que se alcance un equilibrio termodinámico entre las configuraciones vecinas. Debido a que cada configuración es única, es difícil alcanzar la reproducibilidad del comportamiento granular, aún a grandes escalas y cerca del límite estático, donde la fricción se torna importante. Otro papel de la temperatura en los gases ordinarios es el

de proporcionar una velocidad característica a nivel microscópico. Los materiales granulares, de nueva cuenta, erradican completamente este papel y la única velocidad característica que se puede considerar es la impuesta por un flujo. Es posible modelar una "temperatura granular" en función de las fluctuaciones de velocidad en torno a la velocidad promedio del flujo.² Pero estas aproximaciones no siempre restablecen la termodinámica o la hidrodinámica del sistema debido a que las colisiones granulares son inelásticas.

La ciencia de los materiales granulares tiene toda una historia, con una vasta literatura dedicada a su entendimiento. En ella se encuentran consignados los nombres de científicos notables como Coulomb, quien postuló las ideas de la fricción estática o Faraday, quien descubrió el efecto convectivo que se presenta en los polvos sujetos a vibraciones. Reynolds, por ejemplo, introdujo el concepto de dilatancia, el cual señala que un material granular asentado debe sufrir una expansión (o dilatación) antes de fluir como respuesta a un esfuerzo cortante.³ Pero ha sido en los últimos diez años que el estudio de estos materiales ha adquirido un creciente impulso dentro de la física. La idea de criticalidad cooperativa⁴ es un concepto fundamental para la descripción de muchos sistemas dinámicos disipativos y tiene sus orígenes en las avalanchas que se generan en un montón de arena acomodado a un ángulo cercano al de reposo. Diversas analogías se presentan entre el flujo de granulares y el flujo de muchos fluidos convencionales. Así también, se observan fenómenos que están relacionados con situaciones tan distantes como la ruptura dieléctrica de los semiconductores o la dinámica sísmica.

La ciencia de los materiales granulares también se relaciona claramente con diversas industrias. Entre éstas se incluyen la farmacéutica, que se basa en el manejo de polvos y píldoras (tabletas, cápsulas y demás), la agricultura y la industria alimentaria, donde diario se manipulan y transportan granos, semillas y otros objetos semejantes o la industria de la construcción, que depende de la grava, la arena y el cemento. Otros procesos, como la fundición de piezas automotrices, dependen de la cuidadosa creación de moldes de arena compacta. Como se señala en diversos estudios,⁴ hasta un 40% de la capacidad total de muchas industrias se desperdicia por problemas relativos al transporte de este tipo de materiales. Así pues, cualquier pequeño avance en el entendimiento actual de los materiales granulares podría redituar ahorros substanciales. Trataré

⁴ En inglés, *self-organized criticality*.

ahora de hacer un bosquejo de las tres facetas más comunes que presentan los materiales granulares.

Un sólido poco común: arena en reposo

Los materiales granulares presentan, aún en reposo, toda una gama de comportamientos poco comunes. Por ejemplo, al ser contenidos en recipientes cilíndricos de altura considerable, como los silos verticales, la presión no es función de la profundidad, como en un fluido normal; es decir, que la presión en la base del contenedor no crece indefinidamente conforme la altura del material contenido aumenta. Al contrario, para una columna lo suficientemente alta, la presión alcanza un valor máximo que es independiente de la altura. Debido a las fuerzas de contacto entre los granos y a la fricción estática, las paredes del silo cargan el peso sobrante.

La distribución de fuerzas dentro de un montículo se puede visualizar fácilmente colocando una hoja de papel carbón en el fondo del recipiente y midiendo las áreas de las huellas dejadas en un papel por efecto de la fuerza, f , de cada una de las partículas individuales. La distribución de fuerzas es

$$P(f) = c \exp(-f / f_0)$$

donde c y f_0 son constantes.⁵ Las fluctuaciones de f son de gran magnitud y son proporcionales a la profundidad, al igual que la fuerza promedio, en vez de ser proporcionales a la raíz cuadrada de la profundidad, como se hubiera esperado en un fluido convencional. Este comportamiento ha sido explicado en términos de un modelo simple en el que las partículas colocadas en una red distribuyen su peso de manera no uniforme y aleatoria sobre las partículas del nivel inmediatamente inferior. Las diversas soluciones exactas del modelo descrito, que concuerdan tanto con los experimentos como con las simulaciones, arrojan una distribución exponencial de las fuerzas.

Otro tema fundamental en la física de los materiales granulares tiene que ver con su empaquetamiento. Dependiendo de la manera en la que se llene un contenedor, un conjunto aleatorio de esferas puede quedar distribuido con fracciones de empaquetamiento en el rango comprendido entre $\eta = 0.55$ y $\eta = 0.64$.⁶ Gracias a la fricción estática se forman cadenas de fuerza (*Figura 2*) que pueden mantener al conjunto en una configuración metaestable dentro de los límites mencionados. Pero, ¿cómo pasa el sistema de una de estas configuraciones a otra? Al ser kT despreciable, la única forma en la que se puede conseguir energía para lograr el cambio en densi-

dad es por medio de perturbaciones externas, e.g. vibraciones. Modelando como “temperatura” la compacticidad del material, se puede reemplazar a la energía por una función del volumen. De esta manera, la entropía del sistema sigue siendo el logaritmo del número de estados posibles para un volumen dado. Al introducir energía al sistema por medio de vibraciones, se logra destrabarlo de manera que puede cambiar lentamente de una configuración a otra.

Estudios recientes de materiales granulares sometidos a vibraciones para lograr su asentamiento muestran que estos sistemas se relajan de una manera logarítmicamente lenta.⁷ Se han observado sistemas que aún después de 100 000 ciclos de vibración siguen compactándose de manera importante. Aún cuando se han propuesto diversos modelos para tratar de explicar este comportamiento, una analogía sencilla para visualizarlo⁸ consiste en pensar que el sistema es un estacionamiento público.

Supongamos por un momento que en el estacionamiento no hay cajones trazados y que un gran número de automóviles iguales (léase partículas) se encuentra estacionado. Para una persona que desee estacionar un vehículo adicional (o insertar una partícula en el ensamble) normalmente sucede que, aunque amplios, los espacios disponibles entre los coches no son lo suficientemente grandes. La pregunta es: ¿cuántos de los demás automóviles (o partículas) deberán moverse ligeramente para que el vehículo adicional pueda caber? Si todo este proceso de compactado se lleva a cabo estacionando y “desestacionando” vehículos aleatoriamente, se requiere del movimiento cooperativo de muchos objetos (cantidad exponencialmente creciente con la densidad) para lograr abrir un nuevo cajón. Como resultado, la velocidad con la que se alcanza la densidad del estado estacionario es logarítmica en el tiempo.

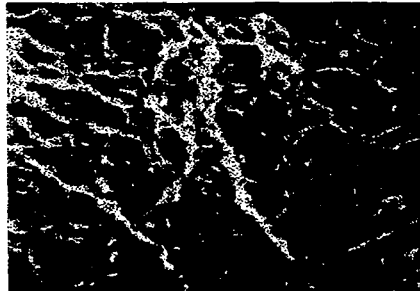


Figura 2. Para visualizar las cadenas de fuerza, se colocan esferas de vidrio un recipiente igualmente de vidrio. Los espacios intersticiales se rellenan con un fluido del mismo índice de refracción al del vidrio y se coloca el conjunto entre polarizadores cruzados (de tal forma que no pase luz). Al aplicar una carga uniforme a la superficie, se hacen evidentes las cadenas de esfuerzo como cambios en la polarización de la luz.

Un líquido poco común: la hidrodinámica granular

De manera cualitativa, observamos que los materiales granulares pueden fluir como líquidos. Existen diversos modelos teóricos que describen este comportamiento. Se puede hablar entonces de una hidrodinámica granular (aún cuando no haya nada que moje) en el sentido de que estos modelos teóricos describen medios continuos empleando ecuaciones diferenciales de forma análoga a las ecuaciones de Navier-Stokes de los fluidos newtonianos. Sin embargo, los modelos que describen los flujos granulares no tienen la generalidad de las ecuaciones de Navier-Stokes, pues estas últimas se obtienen de promediar a lo largo de tiempos y distancias muchos órdenes de magnitud mayores que los que rigen a escala microscópica y muchos órdenes de magnitud menores a los que rigen en el flujo macroscópico. Desgraciadamente, esta gran separación de órdenes de magnitud es imposible de alcanzar en los flujos granulares.

Dos idealizaciones útiles para representar los flujos granulares son el flujo potencial lento y el flujo rápido de gases. Como los sistemas granulares disipan energía rápidamente, es común que presenten ambos tipos de flujo en regiones cercanas. Aún persiste la pregunta de cómo modelar la transición entre estos dos flujos. Se puede emplear la teoría cinética⁹ para modelar el flujo de granulares a bajas densidades. Para mantener este estado se requiere, sin embargo, de un suministro constante de energía (vibratoria, por ejemplo).

El otro extremo se puede modelar por medio de deformaciones plásticas casiestáticas, basándonos en el principio de Reynolds de la dilatación¹⁰ y en la experiencia, que nos dicta que la deformación de polvos compactados es típicamente irreversible. La dilatación se presenta debido a que las partículas de los materiales granulares típicamente se enclavan entre sí bajo la acción de un esfuerzo normal. La única manera de lograr un flujo ante la presencia de un esfuerzo cortante es que algunas de estas partículas enclavadas logren brincar por encima de otras partículas, lo que forzosamente conlleva a una dilatación del sistema.

Hablar de modelos específicos implica hablar de las leyes de conservación en su forma diferencial y de ecuaciones constitutivas. Así pues, se cuenta con una ecuación de continuidad para la conservación de la masa, una ecuación de la energía y una ecuación del momento. De estas tres, es la última la más interesante, pues relaciona el tensor de esfuerzos T_{ij} y el tensor de rapidez de deformación

$$V_{ij} = \frac{\partial v_i}{\partial x_j} + \frac{\partial v_j}{\partial x_i},$$

donde v_i es la i -ésima componente de la velocidad. Uno de los modelos más sencillos¹¹ es

$$T_{ij} = \sigma \left(\delta_{ij} + k \frac{V_{ij}}{|V|} \right),$$

donde $|V|^2 \equiv \sum V_{ij}^2$ y k es una constante característica de cada material. Más específicamente, $k/\sqrt{2} = \sin \delta$, donde δ es el ángulo de fricción interna. Si comparamos esta ecuación con la de Navier-Stokes observamos que el término viscoso, normalmente dependiente de la viscosidad y el gradiente de velocidad, es independiente de la rapidez de deformación. Esta característica es notable, pues implica que un incremento global en la velocidad no afecta la condición de esfuerzo.

El tipo de modelos descrito se emplea en la mecánica de suelos y en el diseño de equipo de proceso, como tolvas. Sin embargo, se ha descubierto que el flujo en tolvas angostas no concuerda con los modelos matemáticos. Por medio de imágenes de rayos X, se puede observar el flujo a través de una tolva para los casos de materiales de granos rugosos y de granos lisos. En el caso de los primeros, se presentan ondas viajeras de densidad, en contraste con la ausencia de éstas en los materiales tersos y casi esféricos. Las ondas se pueden propagar hacia arriba o hacia abajo, dependiendo de cuán pronunciado sea el ángulo de la tolva. Hace falta profundizar más en el estudio de la geometría del grano, la cual juega en la estructura del flujo un papel crítico y poco entendido.

Un aspecto apasionante de la física de los materiales granulares es la extraña gama de respuestas que presentan al estar sometidos a vibraciones. Actualmente existe un fuerte debate por tratar de explicar las causas de estas respuestas. Dos de las causas más buscadas son: (i) la de la convección y del amontonamiento inducidos por vibraciones al material y (ii) la de la segregación de tamaños inducida por vibraciones.

La primera persona en observar patrones convectivos en los materiales granulares sujetos a vibración fue Michael Faraday hace unos 160 años,¹² pero todo este tiempo no ha servido para entender cabalmente el mecanismo involucrado. Tanto la segregación como la convección ocurren cuando se agita al material en la dirección vertical. Típicamente, se hace oscilar al recipiente siguiendo una función sinusoidal $z = A \cos(\omega t)$. Cuando la aceleración máxima del contenedor alcanza valores mayores que la aceleración gravitacional—cuando $\Gamma \equiv A\omega^2/g$ es mayor que 1—

el material se separa del piso del recipiente durante una fracción de cada ciclo, lo cual le permite dilatarse y formar una recirculación convectiva macroscópica que continuamente acarrea granos. En un experimento típico que emplee recipientes cilíndricos o rectangulares se genera un flujo hacia arriba en el centro y hacia abajo en una estrecha franja cercana a las orillas, lo cual hace que se forme un montículo central desde el que se presenta una continua avalancha de partículas.¹³ Es posible lograr un flujo hacia abajo en el centro e invertir el sentido de la convección inclinando las paredes del recipiente hacia afuera. En general, el efecto combinado de la forma del contenedor, la fricción entre las paredes y las partículas y las fronteras internas de fases se pueden combinar para modificar la dirección de la convección.¹⁴

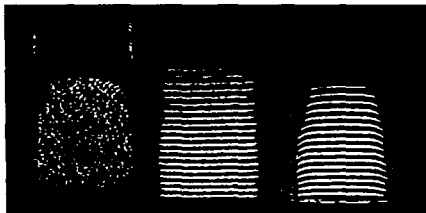


Figura 3. A la izquierda se puede observar la imagen de resonancia magnética, sin ningún patrón evidente, de granos de ajonjolí en reposo. Intencionalmente se adhirió algunos granos a las paredes del recipiente para darles visibilidad. La imagen del centro muestra los perfiles de densidad que se presentan con oscilaciones periódicas, mientras que para la imagen de la derecha se dio un solo impulso vertical "instantáneo".

estrecha región cerca de las paredes, en vez de presentarse una condición de no deslizamiento. Este resultado complica fuertemente la forma en la que se deben considerar las condiciones de contorno para los materiales granulares.

Un segundo mecanismo, sugerido originalmente por Faraday, relaciona al fluido intersticial atrapado con la convección y la formación de montículos. La experimentación en este sentido está aún en desarrollo, con resultados contradictorios. De hecho, aún es un reto teórico la formulación de un modelo que involucre tanto la fricción como el efecto del gas intersticial.

Se han propuesto varios mecanismos para explicar estas rotaciones inesperadas en un experimento en el que se sacude uniformemente a todo el conjunto. Uno de ellos establece que el arrastre de partículas debido a la fricción con las paredes crea una estrecha capa que se desplaza rápidamente, forzando la circulación. En varios experimentos recientes se han determinado tanto el perfil de velocidades en la convección como su dependencia funcional con la profundidad por medio de imágenes de resonancia magnética para visualizar el flujo dentro del material sin la necesidad de introducir una sonda que perturbe al material (*Figura 3*).¹⁵ En contra de lo que ocurre con los líquidos, aquí el flujo más rápido ocurre en una

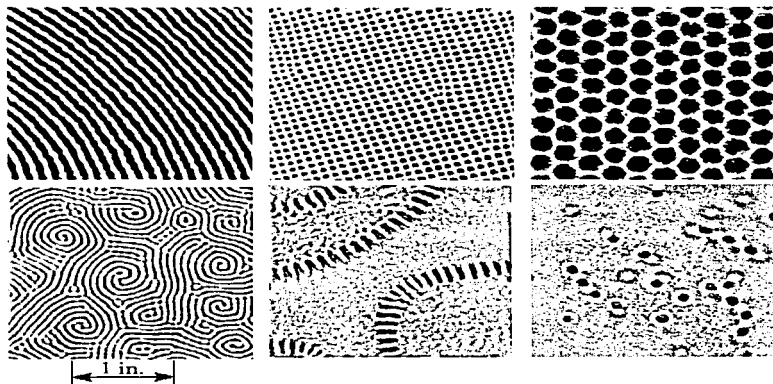


Figura 4. Se presentan vistas superiores de un lecho de 7-8 partículas de profundidad, al vacío y sujeto a vibraciones verticales. Para una frecuencia dada, existe una amplitud crítica a la cual la superficie cambia de plana a estriada. A 25 Hz, se crean patrones cuadrangulares, mientras que si la amplitud aumenta, los patrones se vuelven hexagonales y luego toman la forma de costuras en una pelota de béisbol. En la última imagen se muestra, para una profundidad de 17 partículas, un tipo de estructura conocido como *oscilón*.¹⁶

Por si fuera poco, la superficie libre de un material granular sujeto a vibraciones puede presentar tanto patrones irregulares y caóticos como fenómenos ondulatorios. Estas ondas pueden ser tanto estacionarias (cuando casi no se presentan montículos) como viajeras (para un material cuyos montículos crezcan rápidamente). En general, las ondas estacionarias que se forman son de carácter subarmónico. Los patrones de superposición de estas ondas tienen una semejanza impresionante con las inestabilidades de Faraday que se presentan en los fluidos comunes (Figura 4).

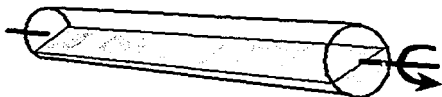


Figura 5. Después de un cierto número de rotaciones completas se observa una marcada segregación entre granos de arena de Ottawa (de color obscuro) y granos de sal (de color claro). Esta segregación se presenta para toda la altura y no sólo para la superficie.

En cuanto a la segregación de diferentes materiales, ésta se puede observar claramente en tambores rotatorios de longitud considerable y eje horizontal. En ellos se tiene que las partículas con diferentes ángulos dinámicos de reposo se congregan en regiones fuertemente delimitadas a lo largo del eje de rotación (*Figura 5*).¹⁷ A veces se requiere lograr el efecto contrario y determinar cuán bien se mezclan partículas de diferentes tipos en un tambor rotatorio. En este caso la sucesión continuada de avalanchas superficiales produce el mezclado (*Figura 6*). El grado mezclado es función directa del nivel hasta el que se haya llenado el cilindro¹⁸ y se puede calcular de manera puramente geométrica. Tanto el mezclado como la segregación tienen una importancia real en procesos como la separación de finos,^a deseables o indeseables, o el mezclado de medi-

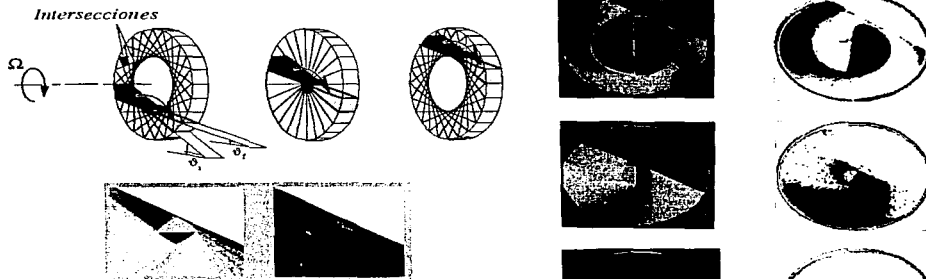


Figura 6. Al hacer rotar horizontalmente un tambor a una velocidad angular Ω tal que los reacomodos se presenten como avalanchas sucesivas y separadas una de otra, se observa que el mezclado se da sólo en la intersección de los planos superficiales. Si el tambor se encuentra lleno a más de la mitad, se crea un núcleo central que jamás se mezcla. Para los pares de imágenes mostrados, la fotografía de la izquierda corresponde a simulaciones numéricas, mientras que la de la derecha corresponde a fotografías de experimentos con sal teñida con dos tonos de colorante. El comportamiento es análogo para cualquier geometría del tambor.

^a Minerales fracturados, en el caso de minería; tamo, en el caso de granos pulverizados.

camentos en polvo con un aglutinante, proceso en el que es fundamental alcanzar una mezcla homogénea y bien controlada.

Se ha tratado por medio de diversos mecanismos de explicar tanto la segregación como el mezclado de materiales granulares sujetos a vibraciones (*Figura 7*). Uno de estos mecanismos es el de cernido (partículas pequeñas cayendo a través de los intersticios de las partículas grandes) seguido de reacomodos locales (que hacen que la dilatación del conjunto cree espacios en los que las partículas pequeñas se precipitan, empujando hacia arriba a las partículas grandes). En el caso de vibraciones verticales, se ha hallado una relación directa de la segregación con la convección: las partículas grandes son arrastradas por el flujo hacia arriba, siendo obligadas a permanecer ahí debido a que literalmente no caben en la estrecha capa de flujo hacia abajo que se presenta cerca de las paredes.

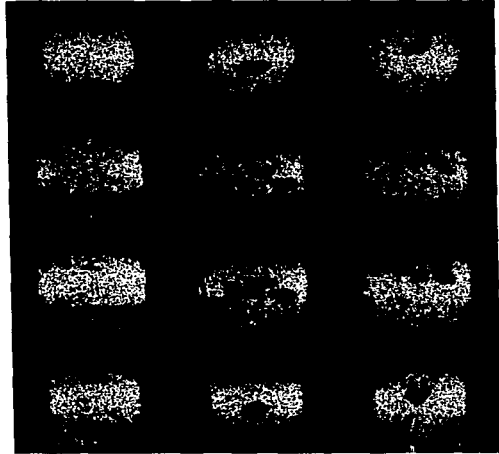


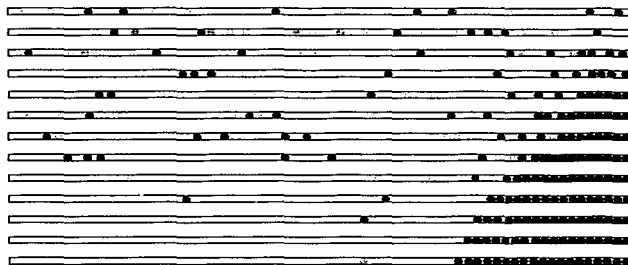
Figura 7. Se muestra por medio de resonancia magnética la segregación de granos de café (manchas oscuras) en una matriz de ajonjolí sujeta a oscilaciones verticales. El tiempo aumenta de izquierda a derecha. Las tres tomas superiores corresponden a un corte cercano a la parte frontal del recipiente, mientras que las inferiores corresponden a la parte posterior. Los dos juegos centrales son cortes cercanos a la mitad. Se observa cómo el flujo hacia arriba es más rápido en el centro que en la periferia.

Un gas poco común: inelasticidad, aglutinamiento, desplome

Existe una diferencia crítica entre los materiales granulares y los fluidos ordinarios: las interacciones entre granos son inherentemente inelásticas, por lo que se pierde un poco de energía a cada colisión. Esto implica que la mecánica estadística involucrada tiene una nueva gama de características. Cualquier analogía entre el comportamiento de los granulares y los fluidos, propiamente dicho, es netamente un fenómeno dinámico. Las ondas superficiales que se describieron en la sección anterior, por ejemplo, no son una respuesta lineal a un suministro externo de energía, sino la consecuencia de una transición altamente no-lineal e histerética entre dos estados

esencialmente sólidos. El comportamiento fluido es simple consecuencia de un suministro de energía por encima de un umbral; en cuanto el suministro cese, el flujo se detendrá por efecto de las colisiones inelásticas. Si dejamos caer una canica en un vidrio, aquella rebota durante largo tiempo. Un costalito que holgadamente contenga varias canicas idénticas a la anterior se para en seco tras impactarse con el vidrio. Esta marcada diferencia entre el comportamiento individual y el del conjunto es producto del gran número de rápidas colisiones inelásticas que se presentan entre canicas vecinas. De hecho, diversos dispositivos, como los martillos neumáticos, algunas armas de fuego y los vibradores de moldes para fundición, emplean esta característica para absorber energía.

Figura 8. Las partículas comienzan con velocidades aleatorias a lo largo de la única dimensión libre. El extremo izquierdo es una fuente de energía, mientras que el extremo derecho es una pared fija. Los tonos más oscuros denotan velocidades más bajas. Conforme avanza el tiempo, se observa que las partículas se colapsan, quedando al final una sola con muy alta velocidad. Si ambas paredes estuvieran termalizadas, ¡se presentaría un colapso en el centro!



Dado que las colisiones son inelásticas, un “baño térmico” puede ser insuficiente para mantener el estado termodinámico del sistema. Si las partículas comienzan a aglutinarse se presentará un rompimiento del estado newtoniano del sistema debido a que estos conglomerados no están en posibilidades de “derretirse” de nuevo. En los últimos años se ha estudiado este efecto, descubriéndose un tipo especial llamado *colapso inelástico*. Sean McNamara y William Young¹⁹ demostraron que la inelasticidad puede ocasionar que en un tiempo finito ocurra un número infinito de colisiones. En una dimensión (*Figura 8*), las partículas se colapsan en un núcleo que mantiene contacto permanente y sin movimiento relativo entre sus partículas; en dos y tres dimensiones, se producen densos conglomerados concatenados entre sí. Aún no se cuenta con una teoría que explique satisfactoriamente este tipo de fenómenos. Lo más notable es que los conglomerados que se forman no son amorfos sino más bien largas cadenas de granos. De hecho, el

parecido con los mapas de densidad del universo conocido es notable. Vale la pena meditar un momento y tomar en cuenta que el potencial de atracción gravitacional puede jugar un papel importante para mantener una densidad lo suficientemente alta como para que se formen cúmulos de partículas. Así pues, a gran escala, se podría considerar que las colisiones inelásticas son responsables, en parte, de la coagulación de gases que finalmente forma las estrellas y galaxias.

Después de todo, parece que Victor Hugo no propuso algo tan descabellado. Es más: es posible que el movimiento de los granos de arena sea de fundamental importancia para la creación, no sólo de mundos, sino incluso de galaxias—para la estructura y formación del paisaje astronómico. Aún queda mucho por aprender acerca de este conjunto de materiales metaforizados con la arena. Hay muchos detalles que, aún a sabiendas de que son relevantes, no se sabe cómo incluirlos en los modelos físicos. Como el mismo Victor Hugo mencionara en otra parte de su citado libro: “*en la arena...hay cierta finura que es pérfida*”.

Referencias

- ¹ Jaeger, Nagel y Behringer, 1996a.
- ² Ogawa, 1978; Walton y Braun, 1986; Haff, 1986; Campbell, 1990; Ippolito *et al.*, 1995; Warr, Huntley y Jacques, 1995; Warr y Huntley, 1995.
- ³ Coulomb, 1773; Faraday, 1831; Reynolds, 1885.
- ⁴ Ennis *et al.*, 1994; Knowlton *et al.*, 1994.
- ⁵ Liu *et al.*, 1995.
- ⁶ Onoda y Liniger, 1990; Bideau y Dodds, 1991; Brooker *et al.*, 1992.
- ⁷ Knight *et al.*, 1995.
- ⁸ Ben-Naim *et al.*, 1996.
- ⁹ Ogawa, 1978; Savage y Jeffrey, 1981; Jenkins y Savage, 1983; Haff, 1983 y 1986; Campbell, 1990.
- ¹⁰ Reynolds, 1885.
- ¹¹ Jaeger, Nagel y Behringer, 1996b.
- ¹² Faraday, 1831.
- ¹³ Knight *et al.*, 1993, 1995; Pak y Behringer, 1993, 1994; Lee, 1994; Pak *et al.*, 1995.

¹⁴ Aoki *et al.*, 1996.

¹⁵ Ehrichs *et al.*, 1995.

¹⁶ Umbanhowar *et al.*, 1996.

¹⁷ Nakagawa y Caprihan, 1994; Morris y Choo, 1996; Hill, Caprihan y Kakalios, 1997.

¹⁸ Metcalfe *et al.*, 1995.

¹⁹ McNamara y Young, 1994.

Métodos para Simulación Numérica de Flujos¹

¿Por qué simular flujos?

Desde prácticamente el inicio de la década de 1980, se han vuelto cada vez más y más comunes las simulaciones de fenómenos físicos por medio de computadoras digitales. ¿A qué se debe esto? Una respuesta sencilla sería que cada vez las computadoras son más comunes, pero esta respuesta peca de ingenua y vaga. Una respuesta un poco más mesurada sería que, gracias a los desarrollos tecnológicos, las computadoras cada vez tienen más poder a un costo accesible para su aplicación en problemas de difícil resolución. Esto hace que se recurra a ellas como auxiliares en la solución de ecuaciones que no tienen resultado analítico directo. Pero la duda persiste: ¿por qué simular flujos (o cualquier otra cosa)? La respuesta a esta pregunta tiene mucho fondo.

Las ecuaciones de la mecánica estadística, a la cual se encuentran fuertemente ligados los problemas de flujo, sólo tienen solución analítica en contados casos. Esto nos obliga a recurrir, en caso de querer resolverlas para un problema determinado, a métodos aproximados que no siempre logran tener la precisión deseada. Sin embargo, en el caso de los fluidos probablemente ni siquiera quede claro por dónde empezar para generar una teoría aproximada que sea razonable. Mientras más complicado e interesante es un problema, lo más deseable que es obtener resultados exactos. A la vez, no se quiere introducir la duda de si en realidad el modelo empleado se asemeja o no a la realidad (a menos que estemos tratando de evaluar un modelo).

Es aquí donde las simulaciones numéricas toman un papel fundamental para obtener resultados esencialmente exactos en problemas que, aún haciendo aproximaciones, podrían ser intratables. En este sentido, las simulaciones por computadora sirven para probar teorías, al comparar

sus resultados con las mediciones experimentales. Las simulaciones por computadora también pueden dar “pistas” que auxilien al experimentalista a interpretar nuevos resultados. Este doble rol de las simulaciones numéricas hace que a veces se considere a la técnica numérica como *experimentación por computadora* (Figura 9).

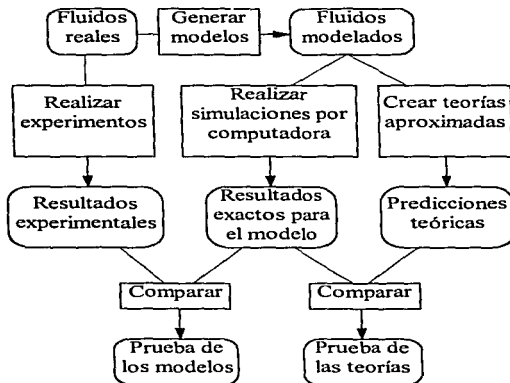


Figura 9. Relación entre experimentos, teoría y simulación por computadora.

Las simulaciones por computadora generalmente involucran sistemas con un número de partículas, N , del orden $10 \leq N \leq 10\,000$. El tamaño del sistema se ve limitado por la capacidad de almacenamiento de la computadora en la que se realice la simulación, pero sobre todo por la velocidad de ejecución. El tiempo de cómputo empleado en calcular las fuerzas típicamente es proporcional a N^2 —con ciertos trucos se puede hacer que su dependencia sea $\mathcal{O}(N)$ —, pero definitivamente los sistemas pequeños son los más económicos. El problema es que, a menos que el sistema de interés sea pequeño por sí mismo, cualquier intento por confinar el sistema sólo logrará introducir efectos de frontera no deseables. Para “darle la vuelta” a este problema, se puede recurrir a fronteras periódicas. Se comienza por replicar la celda de simulación a lo largo de todo el espacio para formar una red infinita. Cada que una partícula se mueve a través de la celda original, su imagen periódica en cada una de las demás celdas se mueve exactamente de la misma manera. Así, cuando una partícula abandona la celda a través de una cara, una de sus

imágenes entra a través de la cara opuesta. No hay, por tanto, ni paredes ni partículas de frontera en ninguna celda.

Una alternativa viable para evitar el uso de fronteras periódicas consiste en referir un sistema n -dimensional a un espacio de orden $n+1$. Un sistema bidimensional se puede confinar en la superficie de una esfera, eliminando toda frontera. De igual forma se puede extender el concepto para embeber un sistema tridimensional en la superficie de una hipersfera. Una complicación inevitable será la geometría no euclidiana involucrada con este tipo de topología. La simulación dentro de geometrías no euclidianas ayuda a reducir el tamaño de los sistemas al mínimo. Como no se cuenta con una periodicidad definida, estos sistemas son altamente compatibles con la simulación de líquidos. Su mayor debilidad se encuentra en la dificultad para simular, por este camino, sistemas con cambios de fase.

La primera simulación numérica realizada colocó los cimientos de lo que actualmente se conoce como método de *Monte Carlo*, llamado así por el papel preponderante que en él juega el azar (números aleatorios) para resolver un modelo determinado. Un método diferente se emplea para calcular las propiedades dinámicas de los sistemas de muchas partículas. A la solución acoplada de las ecuaciones clásicas del movimiento (ecuaciones de Newton) para un conjunto de partículas se le llama *Dinámica Molecular*. Con este método se conoce la velocidad de cada partícula entre una colisión y otra, por lo que se puede resolver el problema dinámico de manera exacta (en el supuesto de que se conozca de manera igualmente exacta el potencial de interacción para las colisiones). Si el potencial de interacción es, por ejemplo, de Lennard-Jones, las fuerzas cambian continuamente con el movimiento por lo que se requiere una aproximación paso a paso. En un caso así (con potenciales de interacción de largo alcance) resulta importante truncar los efectos a una cierta distancia, pues de lo contrario requeriríamos tomarlos en cuenta para todos y cada uno de los cálculos, complicando excesivamente la operabilidad del algoritmo. La forma en la que este truncamiento se lleve a cabo dependerá tanto del método de simulación empleado como de la topología sobre la cual se esté simulando, *i.e.* fronteras periódicas o fronteras no euclidianas.

Dinámica Molecular

Las ecuaciones clásicas del movimiento para un sistema de N partículas que interactúan por medio de un potencial \mathcal{V} se pueden escribir de diversas maneras. Probablemente la forma más fundamental sea la lagrangiana:

$$\frac{d}{dt}(\partial \mathcal{L} / \partial \dot{q}_k) - (\partial \mathcal{L} / \partial q_k) = 0.$$

El operador lagrangiano se define en función de la energía cinética y la potencial

$$\mathcal{L} = \mathcal{K} - \mathcal{V}$$

y es función de las coordenadas generalizadas y de sus derivadas temporales \dot{q}_k . Para un sistema de átomos en coordenadas cartesianas y con las definiciones usuales de \mathcal{K} y \mathcal{V} , se obtiene

$$m_i \ddot{\mathbf{r}}_i = \mathbf{f}_i, \quad (\text{enfoque lagrangiano})$$

donde m_i es la masa de la partícula i y $\mathbf{f}_i = \nabla_{\mathbf{r}_i} \mathcal{L} = -\nabla_{\mathbf{r}_i} \mathcal{V}$ representa la fuerza total que actúa sobre el centro de masa de dicha partícula.

El momento generalizado p_k conjugado a q_k se define como

$$p_k = \partial \mathcal{L} / \partial \dot{q}_k.$$

Las forma hamiltoniana de las ecuaciones del movimiento es

$$\begin{aligned} \dot{q}_k &= \partial \mathcal{H} / \partial p_k \\ \dot{p}_k &= -\partial \mathcal{H} / \partial q_k \end{aligned}$$

donde H es el operador hamiltoniano, que se define en función del momento y de las coordenadas generalizadas

$$\mathcal{H}(\mathbf{p}, \mathbf{q}) = \sum_k \dot{q}_k p_k - \mathcal{L}(\mathbf{q}, \dot{\mathbf{q}})$$

Para coordenadas cartesianas, las ecuaciones hamiltonianas se convierten en

$$\begin{aligned} \dot{\mathbf{r}}_i &= \mathbf{p}_i / m_i \\ \dot{\mathbf{p}}_i &= -\nabla_{\mathbf{r}_i} \mathcal{V} = \mathbf{f}_i. \end{aligned} \quad (\text{enfoque hamiltoniano})$$

En consecuencia, calcular la trayectoria de los centros de masa de N partículas implica resolver ya sea un sistema de $3N$ ecuaciones diferenciales de segundo orden (enfoque lagrangiano) o un sistema equivalente de $6N$ ecuaciones diferenciales de primer orden (enfoque hamiltoniano).

Para resolver estos sistemas se recurre típicamente a los métodos de diferencias finitas. La idea de fondo es, dadas las posiciones, velocidades y demás parámetros dinámicos en el tiempo t , tratar de calcular, con la suficiente precisión, las posiciones, velocidades y demás parámetros en un tiempo posterior $t + \delta t$. Se va resolviendo “paso a paso” las ecuaciones involucradas; el valor de δt dependerá en cierta forma del método empleado pero es, en general, mucho menor al tiempo típico que toma una partícula en recorrer su propio diámetro.

Si hiciéramos una pequeña lista de las características deseables para un algoritmo exitoso de simulación, podríamos enumerar:

- (a) Debe ser rápido y consumir poca memoria.
- (b) Debe permitir emplear pasos de tiempo grandes.
- (c) Debe replicar lo más cercanamente posible la trayectoria clásica.
- (d) Debe satisfacer las leyes de la conservación de la energía y ser reversible.
- (e) Debe ser simple y fácil de programar.

Sin embargo, no todas estas características son importantes para la dinámica molecular. La velocidad del algoritmo es prácticamente irrelevante en contraste con el tardado cálculo de fuerzas. Es mucho más importante poder emplear una δt grande, para reducir al mínimo el número de integraciones requeridas para simular un periodo determinado de tiempo. Pero al hacer crecer el paso de tiempo, la trayectoria calculada se aleja cada vez más de la trayectoria clásica. ¿Cuán importantes son los incisos (c) y (d)?

La simulación numérica de un flujo implica evaluar un cierto sector, *i.e.* evaluar un sistema muy grande calculando valores en un sistema reducido. Esto significa que las trayectorias individuales no son muy importantes, pero sí lo es la conservación de la energía. Al aumentar el valor de δt se deteriora la conservación de la energía, por lo que un buen algoritmo será aquel que, manteniendo una buena conservación, permita un paso de tiempo grande. Así pues, se emplean pasos de tiempo menores para partículas ligeras, temperaturas altas y sistemas sujetos a potenciales que varían rápidamente.

Por último, un algoritmo debe ser simple. Esto significa que debe implicar almacenar pocos valores de las posiciones, velocidades, etc., y que debe ser fácil de programar. No vale la pena desperdiciar esfuerzos en programar un algoritmo complejo. Es mejor optimar el cálculo de fuerzas, pues así desperdiciaremos menos tiempo que el que ganaríamos con un algoritmo más ágil.

Algoritmo de Gear de predicción–corrección

Si la trayectoria clásica es continua, las posiciones, velocidades y demás parámetros pueden estimarse en un tiempo $t + \delta t$ por expansión simple de Taylor en torno a t :

$$\begin{aligned} \mathbf{r}^p(t + \delta t) &= \mathbf{r}(t) + \delta t \mathbf{v}(t) + \frac{1}{2} \delta t^2 \mathbf{a}(t) + \frac{1}{6} \delta t^3 \mathbf{b}(t) + \dots \\ \mathbf{v}^p(t + \delta t) &= \mathbf{v}(t) + \delta t \mathbf{a}(t) + \frac{1}{2} \delta t^2 \mathbf{b}(t) + \dots \\ \mathbf{a}^p(t + \delta t) &= \mathbf{a}(t) + \delta t \mathbf{b}(t) + \dots \\ \mathbf{b}^p(t + \delta t) &= \mathbf{b}(t) + \dots \end{aligned}$$

El superíndice indica que estos valores son producto de una predicción y que en breve serán corregidos. Los vectores \mathbf{r} , \mathbf{v} , \mathbf{a} y \mathbf{b} representan respectivamente las posiciones, velocidades, aceleraciones y la tercera derivada temporal de la posición. Sin embargo, estas ecuaciones no generan trayectorias correctas conforme el tiempo avanza, pues no incluyen a las ecuaciones del movimiento. Estas últimas entran en juego en el paso de corrección. A partir de las nuevas posiciones \mathbf{r}^p podemos calcular las fuerzas (y por ende las aceleraciones) en el tiempo $t + \delta t$.

Si comparamos el valor obtenido para la aceleración con el valor producto de la predicción, obtenemos un estimado del error en el paso de predicción

$$\Delta \mathbf{a}(t + \delta t) = \mathbf{a}^c(t + \delta t) - \mathbf{a}^p(t + \delta t)$$

que podemos introducir a un paso de corrección tal que

$$\begin{aligned} \mathbf{r}^c(t + \delta t) &= \mathbf{r}^p(t + \delta t) + c_0 \Delta \mathbf{a}(t + \delta t) \\ \mathbf{v}^c(t + \delta t) &= \mathbf{v}^p(t + \delta t) + c_1 \Delta \mathbf{a}(t + \delta t) \\ \mathbf{a}^c(t + \delta t) &= \mathbf{a}^p(t + \delta t) + c_2 \Delta \mathbf{a}(t + \delta t) \\ \mathbf{b}^c(t + \delta t) &= \mathbf{b}^p(t + \delta t) + c_3 \Delta \mathbf{a}(t + \delta t). \end{aligned}$$

La idea es que $\mathbf{r}^c(t + \delta t)$, etc., son mejores aproximaciones a las posiciones, velocidades, etc. reales. Gear propuso entre 1966 y 1971 el conjunto ‘óptimo’ de coeficientes $c_0, c_1, c_2, c_3 \dots$ para lograr la máxima estabilidad y precisión de las trayectorias.

El paso de corrección puede iterarse para obtener nuevas aceleraciones corregidas a partir de las posiciones recién corregidas. Esto es la clave, en muchos casos, para obtener un resultado preciso. La predicción provee un estimado inicial de la solución—que en principio no tiene que ser muy bueno—y los pasos sucesivos de corrección convergen rápidamente a la solución correcta. Sin embargo, es precisamente el cálculo de fuerzas lo que más tiempo de cómputo consume

en dinámica molecular. Como este cálculo está implícito en el paso de corrección, un número grande de iteraciones resultaría muy costoso. Es por eso que se requiere de un paso de predicción muy preciso, para poder disminuir el número de iteraciones de corrección a una o a lo sumo dos.

Algoritmo de Verlet

Éste es probablemente el método más difundido para integrar las ecuaciones de movimiento. Este método se basa en las posiciones $\mathbf{r}(t)$, las aceleraciones $\mathbf{a}(t)$ y las posiciones $\mathbf{r}(t-\delta t)$ para resolver de manera directa las ecuaciones de segundo orden del enfoque lagrangiano. La ecuación para actualizar las posiciones,

$$\mathbf{r}(t + \delta t) = 2\mathbf{r}(t) - \mathbf{r}(t - \delta t) + \delta t^2 \mathbf{a}(t),$$

tiene varias peculiaridades. Para empezar, la velocidad no aparece en ningún lado, pues se le eliminó al sumar las expansiones de Taylor en torno a $\mathbf{r}(t)$:

$$\mathbf{r}(t + \delta t) = \mathbf{r}(t) + \delta t \mathbf{v}(t) + \frac{1}{2} \delta t^2 \mathbf{a}(t) + \dots$$

$$\mathbf{r}(t - \delta t) = \mathbf{r}(t) - \delta t \mathbf{v}(t) + \frac{1}{2} \delta t^2 \mathbf{a}(t) - \dots$$

Así pues, no necesitamos de las velocidades para calcular las trayectorias, pero sí para calcular la energía cinética (y por tanto, la energía total). La velocidad se obtiene de la fórmula

$$\mathbf{v}(t) = \frac{\mathbf{r}(t + \delta t) - \mathbf{r}(t - \delta t)}{2\delta t}.$$

El error asociado a la posición es del orden de δt^4 , mientras que el asociado a la velocidad es del orden de δt^2 . Una pequeña inconveniencia radica en que necesitamos conocer $\mathbf{r}(t+\delta t)$ para calcular $\mathbf{v}(t)$. Por otra parte, el algoritmo de Verlet está propiamente centrado, *i.e.* $\mathbf{r}(t-\delta t)$ y $\mathbf{r}(t+\delta t)$ juegan papeles simétricos, por lo que es reversible en el tiempo. Además, el paso de tiempo se da de un solo golpe, en oposición al esquema de predicción–corrección ya descrito, que requiere de dos etapas por cada paso de tiempo. En cuanto a las aceleraciones, éstas se obtienen de la rutina de fuerzas.

Para este algoritmo se requiere almacenar $9N$ valores, lo cual lo hace tanto compacto como fácil de programar. Es exactamente reversible en el tiempo y, dadas fuerzas conservativas, la conservación del momento lineal está garantizada. El algoritmo es muy estable aún para pasos de

tiempo largos. En contra de este algoritmo se debe mencionar que el manejo de las velocidades es más bien extraño, lo cual podría introducir cierto grado de imprecisión numérica.

Para subsanar esta deficiencia existen varias modificaciones al algoritmo básico de Verlet. Uno de estos algoritmos modificados es el método del *salto de rana*. Su nombre resulta evidente cuando se le representa esquemáticamente (Figura 10).

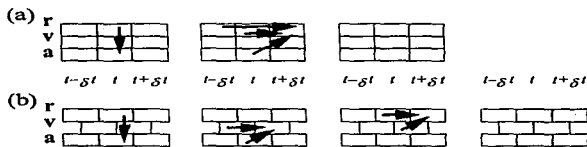


Figura 10. Dos formas comunes del algoritmo de Verlet. La secuencia (a) muestra el método original de Verlet. La secuencia (b) corresponde al método de salto de rana. Los valores almacenados se representan por las celdas sombreadas.

Las ecuaciones involucradas

$$\begin{aligned} r(t + \delta t) &= r(t) + \delta t v(t + \frac{1}{2}\delta t) \\ v(t + \frac{1}{2}\delta t) &= v(t - \frac{1}{2}\delta t) + \delta t a(t) \end{aligned}$$

implican almacenar las posiciones $r(t)$ y aceleraciones $a(t)$ actuales y las velocidades $v(t - \frac{1}{2}\delta t)$. Las velocidades y posiciones se van saltando entre sí, apoyadas en el cálculo de fuerzas para determinar las aceleraciones.

Para poder calcular la energía total del sistema en el tiempo t , es necesario calcular la velocidad actual

$$v(t) = \frac{1}{2} \left(v(t + \frac{1}{2}\delta t) + v(t - \frac{1}{2}\delta t) \right),$$

ya que el cálculo de la energía cinética requiere del valor de la velocidad.

Este método presenta la ventaja de que las velocidades aparecen de manera explícita (aunque no aparezcan en el tiempo t). Esto facilita ajustar la energía de la simulación, normalizando las velocidades para mantener la energía cinética total constante.

Método de Monte Carlo

El método de Monte Carlo fue desarrollado por von Neumann, Ulam y Metropolis a fines de la Segunda Guerra Mundial para estudiar la difusión de neutrones en un material fisionable. Se escogió el nombre de 'Monte Carlo', acuñado por Metropolis, debido a que este método hace un uso exhaustivo de los números aleatorios.

Diversos científicos (Lord Kelvin, entre ellos) habían empleado previamente el método de muestreo experimental para resolver problemas. La contribución de von Neumann y Ulam consistió en darse cuenta que diversos problemas matemáticos se pueden resolver por muestreo estocástico dentro de un problema probabilístico análogo. El muestreo se lleva a cabo calculando números aleatorios y luego sometiéndolos a un conjunto limitado de operaciones aritméticas y lógicas. Es por esto natural que con el advenimiento de las computadoras este método tomara fuerza, estando fuertemente ligado al desarrollo tecnológico de las mismas.

Claro está que algunas personas no pueden esperar a que la tecnología evolucione. Hay un hermoso teorema en matemáticas, descubierto por Buffon hace unos dos siglos. Este teorema dice que si aventamos al azar una aguja de longitud l sobre un conjunto de paralelas equiespaciadas a una distancia d (siendo $d > l$), la probabilidad de que la aguja atraviese una línea es igual a $2l/\pi d$. Basándose en este teorema, el matemático italiano Lazzarini estimó en 1901 que el valor de π es 3.1415929, dejando caer una aguja 3407 veces. Por un método semejante (pero empleando computadoras digitales), se ha calculado en la actualidad muchas más cifras de π .

Dos cosas resultan importantes para el éxito de una simulación de Monte Carlo, a saber, un buen generador de números aleatorios y los criterios correctos para equiparar el problema físico con el problema probabilístico. El método de Monte Carlo no se adapta muy bien a la solución de sistemas granulares, por lo que no profundizaré más en su análisis.

En el programa empleado para las simulaciones numéricas de esta tesis, se utiliza un método simplificado de Monte Carlo para calcular las fracciones de empaquetamiento del sistema. En dicho método, se determinan cien mil posiciones aleatorias dentro de la celda de simulación. Con base en la distancia al vecino más cercano a cada una de las posiciones determinadas, se estima la fracción total de empaquetamiento.

Referencias

¹ Allen y Tildesley, 1987.

Descripción del Algoritmo Empleado

El método numérico empleado es una extensión a tres dimensiones de los modelos de fuerza de contacto bidimensional y de las ecuaciones integrales de Walton y Braun¹ (modelo WB), que están basados en algoritmos de dinámica molecular. El código empleado—con todo y las modificaciones realizadas—y su diagrama de flujo se presentan en el Apéndice A.

La integración explícita de las ecuaciones de movimiento se logra por medio del método de *salto de rana* para cada uno de los seis grados de libertad.² Las posiciones y fuerzas se conocen al final de cada paso de tiempo^a mientras que las velocidades se conocen a la mitad del paso.

Cálculo de posiciones, orientaciones y velocidades

Las ecuaciones de Newton se expresan como ecuaciones diferenciales de primer orden en cada dimensión espacial para cada partícula:

$$\begin{aligned}\dot{v}_\alpha &= g_\alpha + \frac{F_\alpha}{m}, & \alpha = x, y, z; \\ \dot{r}_\alpha &= v_\alpha, & \alpha = x, y, z.\end{aligned}$$

Las derivadas centrales serán:

$$\begin{aligned}v_\alpha^{n+\frac{1}{2}} &= v_\alpha^{n+\frac{1}{2}} + \Delta t \left(g_\alpha + \frac{F_\alpha^n}{m} \right) & \alpha = x, y, z; \\ r_\alpha^{n+1} &= r_\alpha^n + \Delta t v_\alpha^{n+\frac{1}{2}}, & \alpha = x, y, z\end{aligned}$$

^a En adelante, se le llamará paso de tiempo (o simplemente paso) a cada intervalo de incremento de la variable temporal.

siendo el superíndice el número del paso, r la posición, v la velocidad, F las fuerza de contacto o de cuerpo, m la masa y g la aceleración gravitacional.

Las derivadas temporales de la velocidad angular están definidas en el marco principal de referencia^a por las ecuaciones de movimiento de Euler,

$$\begin{aligned}\dot{\omega}_x &= [N_{px} + \omega_y \omega_z (I_{py} - I_{pz})] / I_{px} \\ \dot{\omega}_y &= [N_{py} + \omega_z \omega_x (I_{pz} - I_{px})] / I_{py} \\ \dot{\omega}_z &= [N_{pz} + \omega_x \omega_y (I_{px} - I_{py})] / I_{pz}\end{aligned}$$

donde I_p es el tensor (diagonal) de momento de inercia en el marco principal de referencia y N_p es el vector de torque en el marco principal de referencia.

Debido a que aparecen productos de velocidades angulares en el miembro derecho de las ecuaciones de Euler, se emplea un algoritmo del tipo predicción-corrección para integrar las derivadas de las velocidades angulares. Los torques se conocen *en* cada paso de tiempo y las velocidades angulares se conocen a la *mitad* de cada paso. Primero, se estima la velocidad angular en el paso actual suponiendo que la aceleración angular se mantiene constante por medio paso de tiempo más

$$\omega_\alpha^n = \omega_\alpha^{n-1/2} + \frac{\Delta \omega_\alpha^{n-1}}{2}, \quad \alpha = x, y, z.$$

Esta velocidad angular *extrapolada* se emplea, junto con el torque actual, para hacer una primera *predicción* de las aceleraciones angulares en el paso actual

$$\begin{aligned}\Delta \omega_x^n &= [N_{px}^n + \omega_y^n \omega_z^n (I_{py} - I_{pz})] \frac{\Delta t}{I_{px}} \\ \Delta \omega_y^n &= [N_{py}^n + \omega_z^n \omega_x^n (I_{pz} - I_{px})] \frac{\Delta t}{I_{py}} \\ \Delta \omega_z^n &= [N_{pz}^n + \omega_x^n \omega_y^n (I_{px} - I_{py})] \frac{\Delta t}{I_{pz}}.\end{aligned}$$

Las aceleraciones angulares predecidas se emplean para estimar de manera más exacta la velocidad angular en el paso actual

^a Marco de referencia relativo a cada partícula (marco principal o de cuerpo, también conocido como euleriano), en contraposición al de todo el sistema (marco espacial o absoluto, también conocido como lagrangiano).

$$\omega_{\alpha}^n = \omega_{\alpha}^{n-1} + \frac{\Delta\omega_{\alpha}^n}{2}, \quad \alpha = x, y, z.$$

Los valores corregidos para las derivadas serán entonces

$$\begin{aligned}\Delta\omega_x^n &= \left[N_{px}^n + \omega_y^n \omega_z^n (I_{py} - I_{pz}) \right] \frac{\Delta t}{I_{px}} \\ \Delta\omega_y^n &= \left[N_{py}^n + \omega_z^n \omega_x^n (I_{pz} - I_{px}) \right] \frac{\Delta t}{I_{py}} \\ \Delta\omega_z^n &= \left[N_{pz}^n + \omega_x^n \omega_y^n (I_{px} - I_{py}) \right] \frac{\Delta t}{I_{pz}}.\end{aligned}$$

En este punto se pueden emplear los valores *corregidos* para directamente actualizar las velocidades angulares a la mitad del siguiente paso,

$$\omega_{\alpha}^{n+\frac{1}{2}} = \omega_{\alpha}^{n-\frac{1}{2}} + \frac{\Delta\omega_{\alpha}^n}{2}, \quad \alpha = x, y, z;$$

o bien seguir iterando en las seis últimas ecuaciones hasta alcanzar un criterio de convergencia basado en el cambio de $\Delta\omega_{\alpha}^n$ de una iteración a la siguiente o hasta completar un número predefinido de iteraciones.

La orientación de cada partícula se calcula por medio de una adaptación de los cuaterniones definidos por Evans.³ Para emplear las ecuaciones de movimiento de Euler e integrar los cuaterniones, los torques se deben especificar en el marco principal de referencia, mientras que la detección de los contactos y el cálculo de fuerzas se realizan en el marco espacial de referencia. La matriz de rotación para transformar del marco *espacial* al marco *de cuerpo* está dada por:

$$\mathbf{A} = \begin{bmatrix} -q_1^2 + q_2^2 - q_3^2 + q_4^2 & -2(q_1q_2 - q_3q_4) & 2(q_2q_3 + q_1q_4) \\ -2(q_1q_2 + q_3q_4) & q_1^2 - q_2^2 - q_3^2 + q_4^2 & -2(q_1q_3 - q_2q_4) \\ 2(q_2q_3 - q_1q_4) & -2(q_1q_3 + q_2q_4) & -q_1^2 - q_2^2 + q_3^2 + q_4^2 \end{bmatrix}$$

siendo

$$q_1 = \sin \frac{\theta}{2} \sin \left(\frac{\psi - \phi}{2} \right), \quad q_2 = \sin \frac{\theta}{2} \cos \left(\frac{\psi - \phi}{2} \right), \quad q_3 = \cos \frac{\theta}{2} \sin \left(\frac{\psi + \phi}{2} \right), \quad q_4 = \cos \frac{\theta}{2} \cos \left(\frac{\psi + \phi}{2} \right)$$

y θ , ϕ , ψ los ángulos de Euler para las rotaciones sucesivas en torno a los ejes Z , X' y Z' .⁴

Las derivadas temporales de los cuaterniones se pueden expresar en función de los mismos cuaterniones y de las velocidades angulares

$$\dot{q}_1 = \frac{1}{2}(-q_3\omega_x - q_4\omega_y + q_2\omega_z)$$

$$\dot{q}_2 = \frac{1}{2}(q_4\omega_x - q_3\omega_y - q_1\omega_z)$$

$$\dot{q}_3 = \frac{1}{2}(q_1\omega_x + q_2\omega_y + q_4\omega_z)$$

$$\dot{q}_4 = \frac{1}{2}(-q_2\omega_x + q_1\omega_y - q_3\omega_z)$$

Al ser independientes sólo tres de estas ecuaciones, se requiere de la relación de normalización

$$\sum_{i=1}^4 q_i^2 = 1$$

para que el sistema quede definido.

Las derivadas centrales equivalentes a las derivadas temporales de los cuaterniones se pueden resolver explícitamente para conocer los valores de los cuaterniones en el nuevo paso de tiempo, empleando los valores anteriores de los cuaterniones y las velocidades angulares a la mitad del paso. Las diferencias finitas de estas ecuaciones tienen la forma

$$q_1^{n+1} = q_1^n + \frac{\Delta t}{4} \left[-(q_3^{n+1} + q_3^n)\omega_x^{n+\frac{1}{2}} - (q_4^{n+1} + q_4^n)\omega_y^{n+\frac{1}{2}} + (q_2^{n+1} + q_2^n)\omega_z^{n+\frac{1}{2}} \right]$$

$$q_2^{n+1} = q_2^n + \frac{\Delta t}{4} \left[(q_4^{n+1} + q_4^n)\omega_x^{n+\frac{1}{2}} - (q_3^{n+1} + q_3^n)\omega_y^{n+\frac{1}{2}} - (q_1^{n+1} + q_1^n)\omega_z^{n+\frac{1}{2}} \right]$$

$$q_3^{n+1} = q_3^n + \frac{\Delta t}{4} \left[(q_1^{n+1} + q_1^n)\omega_x^{n+\frac{1}{2}} + (q_2^{n+1} + q_2^n)\omega_y^{n+\frac{1}{2}} + (q_4^{n+1} + q_4^n)\omega_z^{n+\frac{1}{2}} \right]$$

$$q_4^{n+1} = q_4^n + \frac{\Delta t}{4} \left[-(q_2^{n+1} + q_2^n)\omega_x^{n+\frac{1}{2}} + (q_1^{n+1} + q_1^n)\omega_y^{n+\frac{1}{2}} - (q_3^{n+1} + q_3^n)\omega_z^{n+\frac{1}{2}} \right].$$

Reacomodando las ecuaciones, tenemos

$$\begin{aligned} q_1^{n+1} - \beta_z q_2^{n+1} + \beta_x q_3^{n+1} + \beta_y q_4^{n+1} &= q_1^n + \beta_z q_2^n - \beta_x q_3^n - \beta_y q_4^n \\ \beta_z q_1^{n+1} + q_2^{n+1} + \beta_y q_3^{n+1} - \beta_x q_4^{n+1} &= -\beta_z q_1^n + q_2^n - \beta_y q_3^n + \beta_x q_4^n \\ -\beta_x q_1^{n+1} - \beta_y q_2^{n+1} + q_3^{n+1} - \beta_z q_4^{n+1} &= \beta_x q_1^n + \beta_y q_2^n + q_3^n + \beta_z q_4^n \\ -\beta_y q_1^{n+1} + \beta_x q_2^{n+1} + \beta_z q_3^{n+1} + q_4^{n+1} &= \beta_y q_1^n - \beta_x q_2^n - \beta_z q_3^n + q_4^n \end{aligned}$$

donde

$$\beta_x = \frac{\Delta t}{4} \omega_x^{n+\frac{1}{2}}, \quad \beta_y = \frac{\Delta t}{4} \omega_y^{n+\frac{1}{2}}, \quad \beta_z = \frac{\Delta t}{4} \omega_z^{n+\frac{1}{2}}.$$

Sea **B** la matriz de coeficientes de los miembros izquierdos de las ecuaciones anteriores y C_i , $i=1, 2, 3, 4$ los miembros derechos de las cuatro ecuaciones:

$$\mathbf{B} = \begin{bmatrix} 1 & -\beta_z & \beta_x & \beta_y \\ \beta_z & 1 & \beta_y & -\beta_x \\ -\beta_x & -\beta_y & 1 & -\beta_z \\ -\beta_y & \beta_x & \beta_z & 1 \end{bmatrix}$$

$$C_1 = q_1^n + \beta_z q_2^n - \beta_x q_3^n - \beta_y q_4^n$$

$$C_2 = -\beta_z q_1^n + q_2^n - \beta_y q_3^n + \beta_x q_4^n$$

$$C_3 = \beta_x q_1^n + \beta_y q_2^n + q_3^n + \beta_z q_4^n$$

$$C_4 = \beta_y q_1^n - \beta_x q_2^n - \beta_z q_3^n + q_4^n$$

Entonces

$$\det \mathbf{B} = 1 + 2\beta_x^2 + 2\beta_y^2 + 2\beta_z^2 + 2\beta_x^2\beta_y^2 + 2\beta_y^2\beta_z^2 + 2\beta_x^2\beta_z^2 + \beta_x^4 + \beta_y^4 + \beta_z^4$$

y

$$q_1^{n+1} = (C_1 + C_2\beta_z - C_3\beta_x - C_4\beta_y)(1 + \beta_x^2 + \beta_y^2 + \beta_z^2) / \det \mathbf{B}$$

$$q_2^{n+1} = (-C_1\beta_z + C_2 - C_3\beta_y + C_4\beta_x)(1 + \beta_x^2 + \beta_y^2 + \beta_z^2) / \det \mathbf{B}$$

$$q_3^{n+1} = (C_1\beta_x + C_2\beta_y + C_3 + C_4\beta_z)(1 + \beta_x^2 + \beta_y^2 + \beta_z^2) / \det \mathbf{B}$$

$$q_4^{n+1} = (C_1\beta_y - C_2\beta_x - C_3\beta_z + C_4)(1 + \beta_x^2 + \beta_y^2 + \beta_z^2) / \det \mathbf{B}$$

Estas expresiones explícitas para los nuevos valores de q_i están centradas en el tiempo, por lo que se ahorran los pasos de predicción-corrección planteados por Allen y Tildesley.⁵

Aún cuando los cuaterniones satisfacen por definición la relación de normalización, es preferible asegurarse de que los errores de redondeo no hagan que la normalización falle. Es por ello que un factor de escala

$$f = \left[\sum_{i=1}^4 (q_i^{n+1})^2 \right]^{-1/2}$$

se emplea para garantizar la normalización para cada partícula,

$$q_i^{n+1} = f q_i^{n+1}, \quad i = 1, 2, 3, 4;$$

después de cada paso de integración. Todo este procedimiento de cálculo es directamente programable en lenguaje Fortran.

Cálculo de fuerzas

Se define una “piel” radial para la búsqueda de vecinos cercanos a cada partícula. Estos vecinos se almacenan en un conjunto de n_p+1 listas ligadas y entrelazadas entre ellas (una lista para cada una de las n_p partículas y una lista de direcciones de memoria previamente liberadas que pueden reutilizarse para nuevos vecinos). Cada que una pareja de vecinos se aleja más allá de la distancia de búsqueda, se elimina su registro de la lista de vecinos a la que pertenece y se agrega a la lista de direcciones vacías. Todo el conjunto de listas ligadas se actualiza a intervalos irregulares, cada que el desplazamiento de alguna partícula excede al radio de búsqueda.

Las fuerzas de contacto (y torques) se calculan para cada par de vecinos cercanos que en efecto presente una superposición. El modelo de desplazamiento de fuerzas incluye una histéresis dependiente de la posición tanto para la fuerza normal como para la tangencial (de fricción). La fuerza de contacto en la dirección normal se modela con una trayectoria lineal de carga (con pendiente K_1) acoplada a una trayectoria de descarga un poco más rígida (con pendiente K_2) de tal manera que una colisión binaria, aislada y sin fricción presenta un valor constante para el coeficiente de restitución $e = \sqrt{K_1/K_2}$, $K_2 > K_1$. La fuerza normal (modelo WB) está dada por

$$F_N = \begin{cases} K_1 \alpha, & \text{para la carga,} \\ K_2 (\alpha - \alpha_0), & \text{para la descarga,} \end{cases}$$

siendo α el “traslape” de las partículas en contacto y con α_0 representando el “traslape” relativo, debido a la deformación inelástica de las superficies, cuando la fuerza en descarga se vuelve cero. El área entre las trayectorias de carga y descarga representa la energía perdida durante la deformación plástica. Para representar mejor las deformaciones permanentes, puede ser útil el caso en el que la pendiente de descarga, K_2 , crezca linealmente con la magnitud de la fuerza máxima que se haya presentado en toda la historia de colisiones del sistema, e.g. $K_2 = K_0 + S F_{\text{máx}}$, siendo S un parámetro empírico determinado experimentalmente. Asimismo, podemos elevar los términos de desplazamiento α y $\alpha - \alpha_0$ a alguna potencia, digamos 3/2, para hacer el modelo equivalente al modelo propuesto por Hertz en 1881.⁶

Al ser las partículas esféricas, sólo se requiere de la magnitud y de la dirección de la velocidad angular para calcular los desplazamientos infinitesimales que presenta la superficie a cada paso de tiempo, i.e. la información necesaria para calcular los cambios en la fuerza tangencial.

La fuerza tangencial se acumula de manera no lineal con los desplazamientos tangenciales finitos que se presentan después de iniciado el contacto. Se determinan por separado los desplazamientos tangenciales *paralelo* y *perpendicular* a la fuerza de fricción instantánea. Se combina vectorialmente a ambos y se compara la suma obtenida con el límite total de fricción, μF_N , siendo μ el coeficiente de fricción. El comportamiento resultante es muy parecido al análisis hecho por Mindlin⁷ para contactos para esferas friccionantes elásticas.

La rigidez tangencial efectiva en la dirección *paralela* a la fuerza de fricción existente está dada por

$$K_T = \begin{cases} K_0 \left(1 - \frac{T - T^*}{\mu F_N - T^*} \right)^\gamma, & \text{para } T \text{ creciente,} \\ K_0 \left(1 - \frac{T^* - T}{\mu F_N + T^*} \right)^\gamma, & \text{para } T \text{ decreciente,} \end{cases}$$

siendo K_0 la rigidez tangencial inicial; T , la magnitud actual de la fuerza tangencial; T^* comienza valiendo cero, pero toma el valor de la fuerza tangencial total T cada que su magnitud cambia de creciente a decreciente, o viceversa; γ es un parámetro que, en caso de valer 1/3, hace que el modelo se asemeje al modelo de Mindlin para contactos de esferas elásticas con coeficiente de fricción μ . Para una mejor analogía con el comportamiento de esferas sujetas a deformación plástica, un valor adecuado de γ es de 1 o 2.

Este modelo de fuerza implica cierto manejo del álgebra vectorial, debido a que la orientación de la superficie de contacto cambia continuamente durante una colisión típica. Para fines del modelo se supone que estos desplazamientos son relativamente pequeños de un paso de tiempo al siguiente. Sea $\hat{\mathbf{k}}_y$ el vector unitario instantáneo del centro de la esfera J al centro de la esfera I ,

$$\hat{\mathbf{k}}_y = \frac{\mathbf{r}_j - \mathbf{r}_i}{|\mathbf{r}_j - \mathbf{r}_i|}.$$

Este vector es también el vector normal unitario en el punto de contacto. Proyectando la fuerza tangencial \mathbf{T}_{prev} del paso previo al plano tangente actual

$$\mathbf{T}_0 = \mathbf{k}_y \times \mathbf{T}_{\text{prev}} \times \mathbf{k}_y = \mathbf{T}_{\text{prev}} - \mathbf{k}_y (\mathbf{k}_y \cdot \mathbf{T}_{\text{prev}})$$

y normalizándola a la magnitud anterior, obtenemos un vector "inicial" \mathbf{T} al cual agregar los cambios que se hayan presentado durante el último paso de tiempo

$$\mathbf{T} = |T_{\text{prev}}/T_0| \mathbf{T}_0.$$

Conviene también calcular el vector unitario $\hat{\mathbf{t}} = \mathbf{T}/|\mathbf{T}|$ en la dirección de esta fricción "inicial".

El desplazamiento superficial relativo durante el último paso de tiempo se proyecta sobre el plano tangente de contacto

$$\begin{aligned} \Delta \mathbf{s}^{n-\frac{1}{2}} &= \left[\hat{\mathbf{k}}_y \times \left(\mathbf{v}_j^{n-\frac{1}{2}} - \mathbf{v}_i^{n-\frac{1}{2}} \right) \times \hat{\mathbf{k}}_y + \rho_i \left(\bar{\omega}_i^{n-\frac{1}{2}} \times \hat{\mathbf{k}}_y \right) + \rho_j \left(\bar{\omega}_j^{n-\frac{1}{2}} \times \hat{\mathbf{k}}_y \right) \right] \Delta t \\ &\approx \Delta \mathbf{r}_y - \hat{\mathbf{k}}_y \left(\hat{\mathbf{k}}_y \cdot \Delta \mathbf{r}_y \right) + \left[\rho_i \left(\bar{\omega}_i^{n-\frac{1}{2}} \times \hat{\mathbf{k}}_y \right) + \rho_j \left(\bar{\omega}_j^{n-\frac{1}{2}} \times \hat{\mathbf{k}}_y \right) \right] \Delta t, \end{aligned}$$

donde $\Delta \mathbf{r}_y = \mathbf{r}_y^n - \mathbf{r}_y^{n-1}$ es el cambio del vector de posición relativa durante el paso de tiempo Δt . Los subíndices i y j de la velocidad \mathbf{v} , la velocidad angular $\bar{\omega}$ y el radio ρ indican, respectivamente, las esferas I o J .

Los desplazamientos paralelo y perpendicular respecto a la fuerza de fricción previa son

$$\begin{aligned} \Delta \mathbf{s}_{\parallel} &= \left(\Delta \mathbf{s}^{n-\frac{1}{2}} \cdot \hat{\mathbf{t}} \right) \hat{\mathbf{t}}, \\ \Delta \mathbf{s}_{\perp} &= \Delta \mathbf{s}^{n-\frac{1}{2}} - \Delta \mathbf{s}_{\parallel}. \end{aligned}$$

Si el valor de la fuerza normal F_N cambia de un paso de tiempo al siguiente, se escala el valor de T^* proporcionalmente al cambio de la fuerza normal

$$T^{*'} = T^* \left| \frac{F_N^n}{F_N^{n-1}} \right|.$$

La rigidez tangencial incremental efectiva K_T se calcula de la ecuación correspondiente, según sea T creciente o decreciente, substituyendo con $T^{*'}$ a T^* .

Se calcula un nuevo valor

$$\mathbf{T}_{\parallel} = \mathbf{T} + K_T \Delta \mathbf{s}_{\parallel}$$

para la componente de la fuerza de fricción paralela a la fuerza de fricción previa. Si simultáneamente se satisface que $\Delta \mathbf{s}^{n-\frac{1}{2}} \cdot \hat{\mathbf{t}} < 0$ y $T + \left(\Delta \mathbf{s}^{n-\frac{1}{2}} \cdot \hat{\mathbf{t}} \right) K_T < 0$, implica que se ha invertido la dirección de \mathbf{T}_{\parallel} ; en el modelo, se invierte el signo del punto de cambio "recordado", *i.e.* se cambia T^* por $-T^*$, de tal forma que el valor de la rigidez tangencial varía suavemente.

La fuerza tangencial perpendicular a la fricción será simplemente

$$\mathbf{T}_{\perp} = K_0 \Delta s_{\perp},$$

pues no se supone que haya esfuerzos previos en la dirección perpendicular a la fricción.

La nueva fuerza tangente será, tentativamente,

$$\mathbf{T}' = \mathbf{T}_{\parallel} + \mathbf{T}_{\perp}.$$

Se compara el valor con el límite de fricción, μF_N . En caso de que lo exceda, se le escala para hacer que la fricción sea igual al citado límite. El desarrollo de este modelo de fuerzas en Fortran es directo y sin ambigüedades.

Modificaciones al Código Original

Para poder plantear el problema de flujo dentro del silo, realicé modificaciones importantes al programa 3dshear de O. Walton y R. Braun. Basándome en la versión 2.05b de dicho programa, introduje los conceptos de planos finitos arbitrarios y de ejes de simetría. Ambos conceptos son fundamentales para simular una geometría del tipo de la del silo hexagonal.

Para definir los planos arbitrarios, había primero que encontrar la manera de representar un plano en el modelo descrito. Una manera sencilla de hacer esto consiste en apoyarnos en el concepto de partícula para definir el plano. Ya se mencionó que los cálculos de interacción se realizan sólo para las parejas de vecinos cercanos que se estén superponiendo. En el caso de dos esferas I y J , la distancia entre ellas estará dada por el vector $\mathbf{r}_{ij} = \mathbf{r}_j - \mathbf{r}_i$, o en componentes

$$\delta r_x = r_{jx} - r_{ix},$$

$$\delta r_y = r_{jy} - r_{iy},$$

$$\delta r_z = r_{jz} - r_{iz}.$$

Consideremos un plano normal a la dirección y . La distancia de una esfera a dicho plano estará dada por un vector de magnitud δr_y , cuyas componentes en x y z son nulas. De manera análoga, la distancia de una esfera a un plano normal al eje Z tendrá componentes nulas en x e y . Operativamente, basta con forzar que δr_x y δr_z valgan cero para efectivamente simular un plano infinito paralelo al plano xz y que contiene al punto \mathbf{r}_j . Así pues, se puede definir directamente cualquier plano paralelo a los planos principales de la celda de simulación cancelando las compo-

nentes en las direcciones contenidas en el plano. Para definir un cilindro del mismo radio que su partícula asociada bastará con cancelar la coordenada correspondiente al eje del cilindro.

En el caso de un plano arbitrario, con una orientación que no coincida con ninguno de los ejes del marco *espacial* de referencia, se declara su orientación por medio de cuaterniones. A partir de estos valores, se calcula la matriz de rotación **A** que transforma del marco *espacial* a un marco *auxiliar* y fuerza al plano arbitrario a coincidir con el plano *xz*. Premultiplicando el vector r_{ij} que une los centros de ambas partículas—la partícula de referencia del plano y la partícula activa que queremos hacer interactuar con él—por la matriz de rotación **A**, obtenemos un nuevo vector r'_{ij} en el marco de referencia tal que el plano arbitrario coincide exactamente con el plano *xz*. Si ahora, olvidándonos de las otras dos componentes, calculamos la componente $\delta r'_x$ y la premultiplicamos por la matriz \mathbf{A}^{-1} , habremos obtenido un vector perpendicular al plano arbitrario que va de este último al centro de la partícula activa y que se encuentra expresado en el marco *espacial* de referencia.

Hasta ahora, el plano descrito es esencialmente infinito, pero con un pequeño defecto: si el plano atraviesa una frontera periódica, se rompe en segmentos que pueden causar severos conflictos (*Figura 11a y b*). Para evitar este problema, es necesario fijarnos en las dos componentes, $\delta r'_x$ y $\delta r'_z$, que originalmente ignoramos. El concepto de longitud es independiente del marco de referencia empleado. Como resulta más conveniente definir el tamaño del plano dentro del marco *auxiliar* de referencia, declaramos un par de valores x_{pln} y z_{pln} que representen la longitud total del plano en las direcciones x' y z' . En cuanto el valor absoluto de $\delta r'_x$ (o de $\delta r'_z$) exceda $\frac{1}{2}x_{pln}$ (o $\frac{1}{2}z_{pln}$, correspondientemente), dejamos de considerar a la partícula de referencia como un plano, para considerarla un cilindro paralelo al eje *Z* (o *X*, respectivamente). De esta manera hemos transformado a un plano infinito en un plano finito de área $x_{pln} \times z_{pln}$, que se encuentra delimitado por bordes redondeados (los cilindros). De esta manera, una vista en planta del plano obtenido se parecerá a la que se muestra (*Figura 11c*).

Una vez definidos los planos arbitrarios, se puede definir con facilidad cualquier eje de simetría. Para ello, consideremos un plano de simetría como un espejo. La forma tradicional en la que conocemos a un espejo es como un plano vertical^a finamente pulido en el cual se reflejan las cosas colocadas frente a él. Los reflejos obtenidos tienen varias características. Primeramen-

^a Para nuestros fines, consideraremos a éste como un plano normal al eje *Y*.

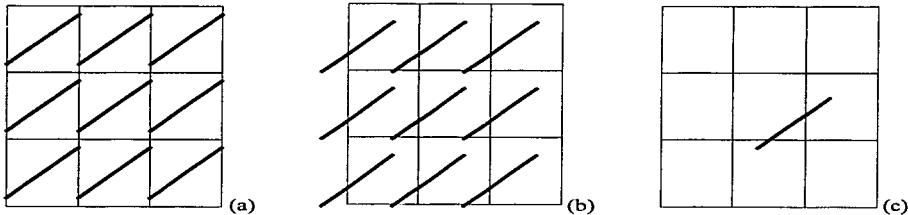


Figura 11. La figura (a) muestra el aspecto de un "plano infinito" dentro de fronteras periódicas, considerando que la partícula de referencia se encuentra al centro de la celda. Si la partícula se encuentra en otra posición, el efecto puede ser aún peor, como se muestra en la figura (b). La figura (c) muestra el resultado obtenido para un plano finito.

te, los desplazamientos en los ejes X y Z se reflejan sin modificación alguna, mientras que los desplazamientos en y se reflejan con signo opuesto. En segundo lugar, las rotaciones se reflejan de manera contraria a los desplazamientos, pues las rotaciones que cambian su signo en la imagen son las rotaciones en torno a x y z , mientras que las rotaciones en torno al eje Y conservan su mismo signo, como se muestra a continuación (Figura 12).

Parecería entonces que para simular un plano de simetría basta con colocar un plano y cambiar el signo de los desplazamientos, velocidades, rotaciones y velocidades angulares de cualquier partícula que interactúe con dicho plano, para así obtener su reflejo. Si asignamos las propiedades de la partícula reflejada a la partícula de referencia del plano, lograremos que una partícula que se aproxime al espejo interactúe con su propia imagen. Este enfoque es correcto para medios continuos, pero tiene un grave defecto para materiales granulares (sistemas discretos), como se muestra en la primera imagen de los resultados (Figura 14, pág. 41). La simetría obtenida es "dura" y provoca un relativo ordenamiento que se sostiene por una distancia de algunos diámetros. El problema radica no sólo en el ordenamiento, sino en que todas las partículas que están en contacto con el espejo se alinean perfectamente en la superficie de éste. En un sistema real, por muy simé-

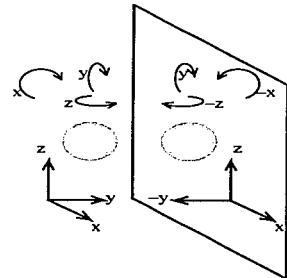


Figura 12. Grados de libertad de una partícula y su imagen reflejada en un espejo plano.

trico que sea, las partículas tienen la posibilidad de atravesar de un lado al otro del plano de simetría. Para acercarnos más a la realidad debemos permitir que las partículas penetren en mayor o menor grado la superficie del espejo.

Se propusieron dos soluciones para lograr una simetría más real: espejos *porosos* y espejos *brownianos*. La primera propuesta implica una cierta densidad de perforaciones distribuidas aleatoriamente sobre la superficie del plano, pero esto complica fuertemente la programación. La segunda implica un leve movimiento aleatorio del espejo en una dirección perpendicular a sí mismo y es directamente programable. Por simplicidad, se optó por la segunda propuesta.

Los llamados espejos *brownianos* toman su nombre del movimiento que se presenta en las partículas de un coloide. Operativamente, lo que se hace es asignar a cada par de vecinos cercanos un número aleatorio $0 \leq n_b < 1$. Si al hacer el cálculo de fuerzas determinamos que una de las partículas en cuestión corresponde a un espejo, ajustamos la distancia entre ambas partículas con base en la fórmula

$$\delta r_y = r_{jy} - r_{iy} + (2n_b - 1)\rho_j$$

donde ρ_j es el radio de la partícula de referencia del espejo. De esta manera se obtiene un espejo roto a pedazos, cada uno de los cuales se mueve hacia adelante o atrás dependiendo de con cuál partícula interactúe, para formar un arreglo semejante al que se muestra (Figura 13). Como el ajuste de distancia se hace para cada par de vecinos cercanos en el instante en el que se detectan, se evita que las partículas choquen inesperadamente con un espejo que aparece de pronto.

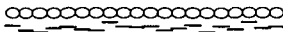


Figura 13. Se muestra un espejo *browniano* al cual se aproximan 20 partículas perfectamente alineadas. Nótese que el espejo asume una posición diferente para cada partícula, pero su desplazamiento en ningún caso excede un diámetro de partícula.

El desplazamiento del espejo *browniano* está dictado por el valor de n_b , que a su vez proviene de un generador de números aleatorios uniformemente distribuidos. Esto hace que el espejo se encuentre en la misma posición promedio para todas las partículas, por lo que su cambio real de posición para cada par de vecinos no afecta a la generalidad del sistema. Los resultados obtenidos con este tipo de simetría se ajustan muy bien a la realidad (Figura 15, pág. 42).

La compilación del código completo, incluyendo las modificaciones, se realizó en una estación de trabajo Hewlett Packard, empleando el compilador £77 (Fortran77) de la versión 10.01 de HP-UX. Para garantizar el mejor desempeño posible, se compiló utilizando el máximo grado de optimización posible. Con esto, el tiempo de compilación aumenta unas ocho veces con respecto al tiempo necesario para compilar sin optimización de código, *i.e.* el tiempo sube de poco más de un minuto a cerca de diez. Esta inversión de recursos en la compilación paga con creces la demora, pues la velocidad de ejecución del programa (comparando la compilación optimizada con la compilación sin optimizar) aumenta en un 78%.^a El código fuente tiene una extensión de 175 KB, mientras que el archivo ejecutable obtenido mide aproximadamente 150 KB.

Referencias

¹ Walton y Braun, 1986.

² Allen y Tildesley, 1987.

³ Evans y Murad, 1977.

⁴ Goldstein, 1950.

⁵ Allen y Tildesley, 1987.

⁶ Timoshenko y Goodier, 1970.

⁷ Mindlin, 1949.

^a Valor promedio obtenido de 12 corridas de prueba.

Resultados Obtenidos y Discusión

Para poder evaluar las modificaciones al código original conforme se iban realizando, se hicieron varias corridas, cuyos archivos de entrada se muestran en el Apéndice B. En todos los casos se emplearon partículas con una densidad igual a la del maíz, de 1200 kg/m^3 , lo que equivale a 720 kg/m^3 de densidad a granel (con una fracción de empaquetamiento $\eta = 0.6$).¹ La configuración inicial dentro de la celda de simulación es aleatoria y uniformemente distribuida. Los cálculos y compilación se realizaron en una estación de trabajo Hewlett Packard 9000/712 a 80 MHz, con 48 MB de memoria central, corriendo HP-UX 10.01.

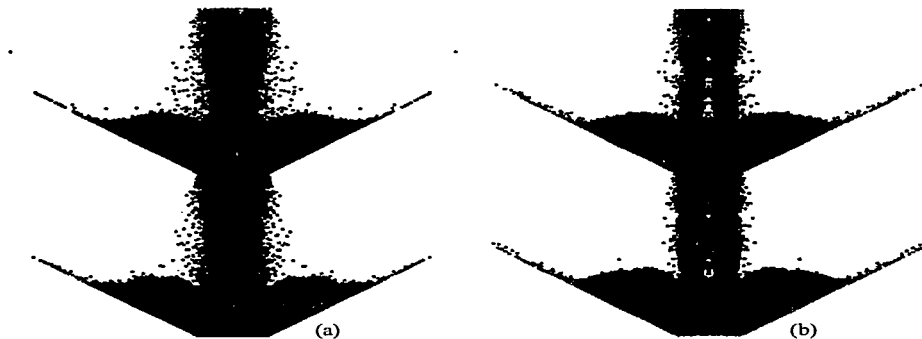


Figura 14. La figura (a) muestra la primera simulación obtenida con un plano de simetría. La simetría es "dura" y las partículas adyacentes al espejo se alinean perfectamente, como si estuvieran apoyadas en una pared rígida. Si en vez de un espejo hubiéramos empleado una pared rígida, las partículas rebotarían en ella, formando oquedades como se muestra en la figura (b). Cada imagen consta de 14 000 partículas (7000x2).

Una vez definido el concepto de espejos para sistemas con simetría, se hizo una corrida de prueba (Corrida 1, Apéndice B) en la que se colocaron dentro de la celda dos planos inclinados a 35 grados respecto a la horizontal, como una primera aproximación a un silo hexagonal.² La celda de simulación tiene un ancho de 1.1625 m, un alto de 1.55 m y un espesor (en la dirección perpendicular al papel) de 2.325 cm. Las fronteras laterales son una pared rígida y un espejo, mientras que en las direcciones vertical y frontal se cuenta con fronteras periódicas, *i.e.* las partículas que salen por la parte inferior (frontal o posterior) entran por la parte superior (posterior o frontal, respectivamente) de la celda. En esta corrida las partículas tienen un radio de 4.9 mm, que es el radio equivalente de un grano de maíz.³ Se observa una simetría extremadamente falsa y antinatural, en la que las partículas adyacentes al eje de simetría se encuentran perfectamente alineadas con éste (*Figura 14a*). El resultado obtenido difiere, sin embargo, del que se extraería de emplear una pared rígida en lugar del espejo, como se muestra en la imagen (*Figura 14b*).

Indudablemente esta manera no era la más adecuada para simular el sistema, por lo que, revisando el código, se introdujo el concepto de espejos *brownianos*, que ya se describió previamente. Empleando el mismo archivo de entrada, pero con el nuevo código, *i.e.* espejos *brownianos*, se repitió la corrida, obteniendo el resultado que se muestra (*Figura 15*).

Aquí la simetría se apega muy bien a la realidad.

Para probar la independencia del silo hexagonal al factor de escala,⁴ es decir, ante partículas de diferentes tamaños y geometrías, se hicieron varias corridas más (Corrida 2, Apéndice B), cambiando el radio pero manteniendo constante la densidad y demás parámetros físicos. De esta manera se determinó que, para el silo de tres toneladas,⁵ cuyas dimensiones ya se mencionaron para la corrida anterior—se duplicó, sin embargo, el

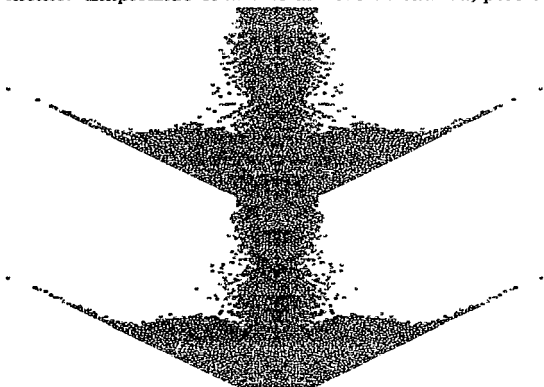


Figura 15. La misma simulación de la figura anterior, pero evaluándola con un plano de simetría *browniano*. El resultado es mucho más convincente.

espesor, para hacerlo igual a 4.65 cm—, el radio máximo para las partículas es de 1 cm. Para cualquier radio menor al mencionado, el comportamiento del flujo es siempre el mismo, mientras que para un radio mayor se observa que el desfogue se bloquea por un efecto de “cuello de botella”. A continuación se muestra una imagen con partículas de 1 cm de radio (*Figura 16*). Nótese que en la parte inferior de la imagen hay unas cuantas partículas, aparentemente flotando. Debido a que las fronteras superior e inferior son periódicas, estas partículas corresponden a la parte superior. Con esta consideración en mente, observamos que las mitades superior e inferior de la celda de simulación tienen configuraciones totalmente correspondientes entre sí.

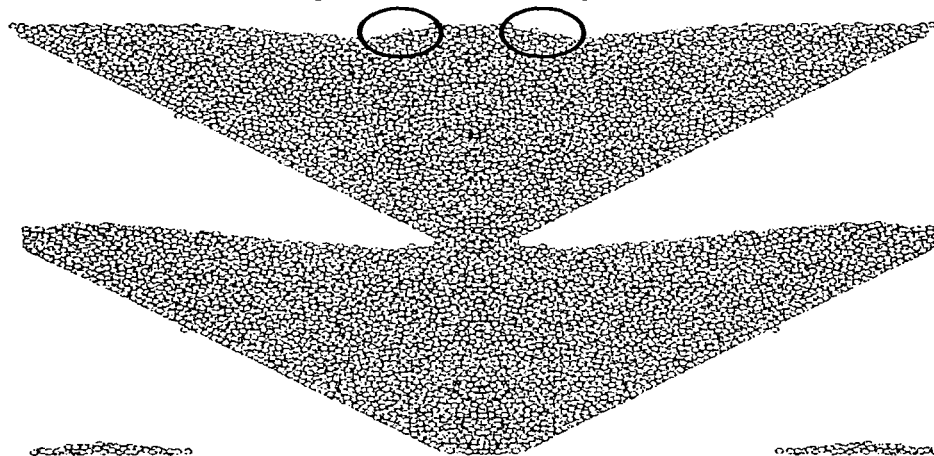


Figura 16. Simulación con 14 000 partículas (7000×2) de 1 cm de radio. Los pequeños montículos en la parte inferior corresponden, debido a las fronteras periódicas, a la parte más alta de la mitad superior. Los ángulos dinámicos de reposo (encerrados con un círculo) corresponden a las esferas con coeficiente de fricción $\mu = 0.5.6$

A estas alturas ya hemos determinado el diámetro máximo de las partículas para la simulación. Este valor es crucial pues nos permite obtener resultados confiables con el menor número posible de partículas, lo cual es muy importante para minimizar el tiempo de cómputo requerido. Sin embargo, estamos descuidando un detalle igualmente importante. Aún con fronteras periódicas

cas, es recomendable que el espesor de la celda de simulación sea cuando menos de cinco diámetros de partícula, para que no se favorezca un acomodo cristalino. Tomando esto en cuenta, se realizó una corrida más (Corrida 3, Apéndice B), aumentando el espesor de la celda a 11.625 cm y el número de partículas a 12 000. Las figuras siguientes (Figura 17a-c) muestran las posiciones y distribución de velocidades de las partículas dentro del silo en estado permanente. El estado permanente sólo se puede obtener en una simulación, pues implica tener una masa constante que es posible exclusivamente si logramos que la masa que sale por un lado entre por el otro, *i.e.* fronteras periódicas. El mapa de velocidades (al igual que un análisis detallado de las posiciones en los dos instantes representados) muestra que el flujo principal se presenta en un núcleo central que desciende sin casi ninguna contribución de los lados.

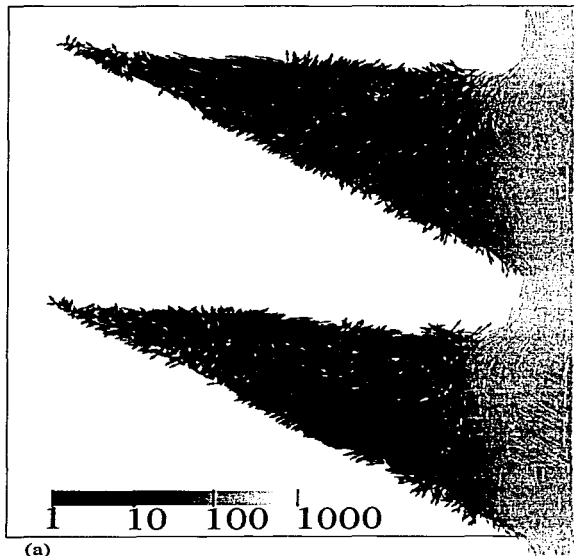
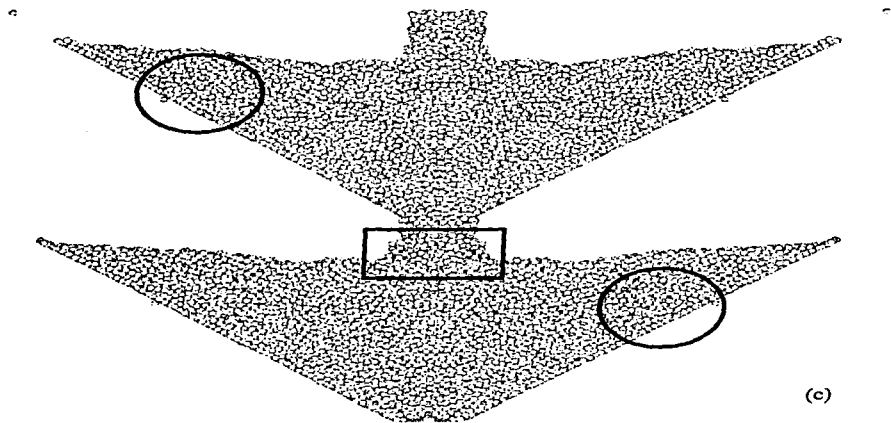
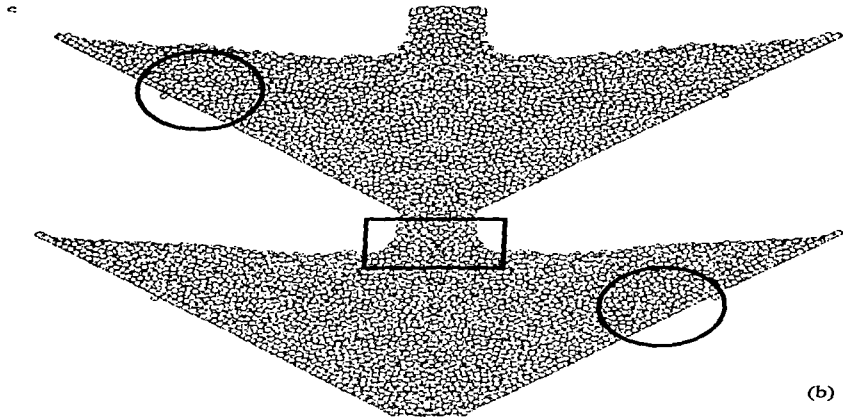


Figura 17. La figura (a) muestra el campo de velocidades de las partículas dentro de la celda de simulación en estado permanente. La celda se muestra con la línea continua. Los tonos más claros corresponden a velocidades más altas. La velocidad del núcleo central (extremo derecho de la celda) es entre dos y tres órdenes de magnitud mayor que la de las partículas sobre la rampa (a la izquierda). Los tonos de gris representan el logaritmo de la rapidez de las partículas en cada punto. Las figuras (b) y (c), a la derecha, muestran las posiciones de 24 000 ($12\,000 \times 2$) partículas de 1 cm de radio, a 1 y 4 segundos de alcanzado el estado permanente. Un análisis detallado de las posiciones permite ver que la configuración en la rampa prácticamente no cambia (como es el caso de las zonas encerradas por círculos), mientras que el núcleo central modifica substancialmente su configuración, al grado de que no se puede decir cuales partículas son la misma en ambas imágenes (zona encerrada por rectángulos).



En este punto ya se han determinado todas las condiciones geométricas del flujo, y se ha establecido una clara analogía entre el comportamiento de la simulación numérica y el comportamiento real del flujo dentro del silo hexagonal durante el proceso de vaciado.⁷ Con la seguridad de que tanto el algoritmo como la descripción geométrica empleadas son correctos, sólo resta hacer una simulación del silo completo, para la totalidad de su llenado y de su vaciado. A continuación se presenta una imagen (*Figura 18*) de la configuración de las partículas dentro del silo totalmente lleno (*Corrida 4, Apéndice B*). En este caso, la celda mide 2 m de alto, pues se trata del silo completo y no sólo de la celda inferior. El espesor de la rebanada empleada es de 12.767 cm y el tiempo de cómputo empleado para calcular la configuración mostrada es de cerca

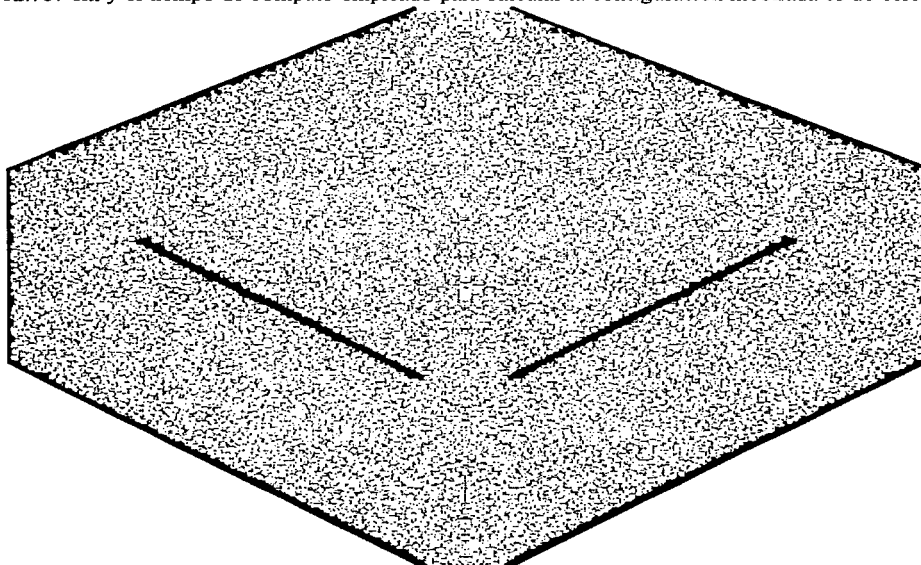


Figura 18. Imagen simulada del silo hexagonal totalmente lleno. Se muestran 50 000 (25 000×2) partículas del máximo diámetro permisible. Empleando partículas con un diámetro equivalente al del maíz, se hubiera requerido de 430 000 (215 000×2), lo que significaría un tiempo de cómputo 70 veces mayor.

de tres horas. Se muestra la celda sin flujo pues el tiempo de cómputo necesario para calcular el vaciado del silo en una estación de trabajo serial se vuelve prohibitivo. Para el caso de la HP 712 empleada, se requeriría aproximadamente de 140 semanas^a de cómputo ininterrumpido para calcular la totalidad del vaciado. Con un poco de paralelización en el código y el empleo de una supercomputadora (como la CRAY-YMP 4/464 o la Origin-2000) se podría reducir este tiempo entre 100 y 250 veces^b, lo que significa que el cálculo del silo completo tomaría unos cuantos días. Se deduce de aquí que, a menos que se empleen recursos de supercómputo o se simule por pedazos, resulta imposible simular el proceso completo de vaciado del silo. Lo mismo se puede decir respecto al llenado, pues se requiere dar seguimiento a todo el proceso para poder definir con exactitud la configuración que se obtiene.⁸

Referencias

- ¹ Chávez Montes, 1997; Galicia Ávila, 1997.
- ² Hernández, Morano y Sosa, 1995.
- ³ Brooker *et. al.*, 1992.
- ⁴ Joseph *et. al.*, 1996.
- ⁵ Hernández, Morano y Sosa, 1995.
- ⁶ Walton y Braun, 1993.
- ⁷ Hernández, Morano y Sosa, 1995.
- ⁸ Hernández, Morano y Sosa, 1995.

^a Tiempo estimado con base en una simulación de una semana, que equivale a algo menos de 0.2 s de tiempo real.

^b Valores estimados con base en el desempeño en punto flotante de las máquinas y en el grado de paralelización del algoritmo.

Conclusiones

Se comprobó que el algoritmo de dinámica molecular propuesto por el Dr. Otis Walton es capaz de simular, con ciertas modificaciones importantes, el flujo dentro del silo hexagonal inventado por el Dr. Baltasar Mena.

Se determinó que los planos arbitrarios infinitos producen conflictos con las fronteras periódicas de la simulación numérica; los planos finitos, en cambio, son fáciles de controlar y no producen conflictos.

Para simular planos finitos adecuados, es necesario que sus bordes tengan geometría cilíndrica, evitando así que las partículas que se aproximan hacia las orillas se encuentren de pronto con un plano, o al contrario, en caso de que el desplazamiento sea en sentido opuesto, que el plano desaparezca.

La simetría de un sistema granular se puede simular asignando propiedades de espejo a un plano arbitrario.

Los espejos para simulaciones de sistemas granulares simétricos no pueden ser planos, pues en ese caso se obtienen resultados erróneos. Se requiere de espejos porosos o de espejos *brownianos*, siendo estos últimos los más fáciles de programar.

Vale la pena invertir un tiempo largo en la compilación, con el objeto de obtener un archivo ejecutable más eficiente.

Para simular sistemas granulares complejos (mayores que 10 000 partículas), las estaciones de trabajo convencionales resultan insuficientes. Se requiere de cómputo paralelo o de supercómputo para simular exitosamente sistemas tales como el silo completo.

¿Qué sigue?

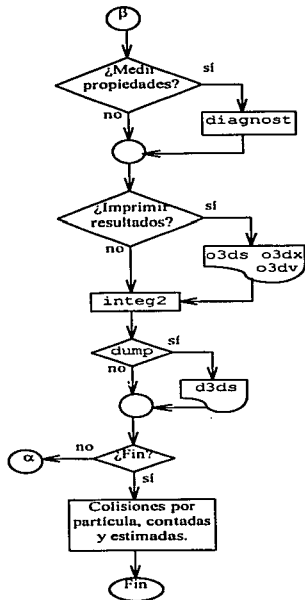
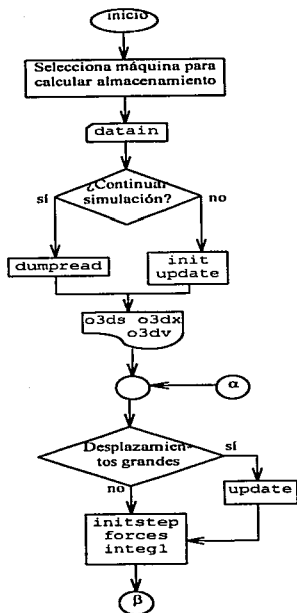
Se sugiere llevar a cabo una serie de simulaciones del silo completo, empleando recursos de supercómputo, para comparar los resultados con las filmaciones del vaciado y llenado con las que actualmente se cuenta.

Dado que la geometría del silo se ha simulado de manera exitosa, es de esperarse que el programa arroje resultados correctos en cuanto a presión, esfuerzos y empaquetamiento. Se recomienda hacer varias corridas para determinar estas variables y comparar los resultados con las mediciones realizadas en el modelo de laboratorio y en el silo piloto.

Se plantea también como labor futura emplear cúmulos^a de esferas para simular con mayor precisión la geometría de granos alimenticios como el maíz.

^a En inglés, *clusters*.

Código Fuente



```

C
C-----
C
C      s3dscm
C
C-----machine-dependent parameter
C      lvers = 1 for cray computer
C      lvers = 2 for sun workstation
C----- note cray (ft) fortran does not recognize integer*4 but instead
C      automatically uses 64 bits for all integers
C      parameter (lvers=2)
C
C      nwd is 9 for cray or 8 for sun
C      parameter (nwd=10-lvers)
C
C-----parameters
C      parameter (mp=30100,nvlnx=10,myzone=21,nnave=10,mgroup=6)
C
C      implicit real*8 (a-h,o-z)
C      real*8 mass,masst,masst,masst1
C      character*1 nchar
C      character*8 labcell,labz,labg,title,oldtit,lastchr,version
C      integer*4 ndx,next
C
C
C      lcn linklist
C----- variables 'ndx' and 'next' must be adjacent to each other
C      on machines that recognize 32-bit integers
C
C      common/linklist/ ndx(1),next(1),a(1),a0(1),fn(1),tfx(1),tfx(1)
C      1 , , , tfx(1),tm1 + ndx*mp*nnave)
C
C-----character variables
C
C      common/chars/version,title(10),oldtit(10)
C      > ,labcell,labz(myzone),labg(mgroup),nchar(80),lastchr
C
C-----note: start storing sun common in dumpfile at variable firstsc
C      common firstsc(1)
C
C
C      common tmax,dt,dtout,dtoutv,tzero,edot,epsv
C      common vavez,vseed,dradit
C      common skin,elast,slope,sknb,elastb,slopeb,dasn1,dash2
C      common ratk,fnu,powert,rmaszb,feub,drag,dashln,dash2b,fnls
C      common gravx,gravy,gravz
C      common vxzero,vzero,vzzero,wzero,yzero,wzero,wzcy1
C      common vxby0,vxyl1,vyby0,vyyl1,vzb0,vzyl1
C      common vxz0,vxz1,vyb0,vyb1,vzb0,vzb1
C      common vcell,xcell,ycell,xcell,xyrat,zyrat
C      common vcell1,xcell1,ycell1,xcellh,ycellh,xcellh,zcellh
C      common ystart,ystop,dyzone,dyzon1,yzzone,yzyon1
C
C
C      common pi,copack
C      common half,thir,d,fourth,fifth,sixth,two5ths,threefif
C      common one,two,three,four,ten,trifile,huge
C
C
C      common t,tout,toutx,toutv,sigma,edoti
C      common rzax,rmin,rave,sin2,skn2b
C      common delvx,delyv,delvz,delvxi,delyvi,delvzi
C      common delwx,delyw,delvz,delvxi,delyvi,delvzi
C      common colfrq,tot.col,dum,yfact,dmass,mmax
C      common vsqns,tshlft,masss,massy,packf,packfb
C      common vfree,vbound,vfixed,vzcy1,vtotal

```

```

common packy0,packy1,packz0,packz1,packx1,packx2
common save,savel,savet,saveti
common massi,masst1,vavel,vaveti
common dvsq,dknon,dspnx,dspmy,dspnz,dekin,depot,derot
common dgekin(mgroup),dgerot(mgroup)
common dgflox(mgroup),dgfloy(mgroup),dgflox(mgroup)
C
common vsq,dknon,spnw,spny,spnz
common pack,ekin,epot,erot
common comp,visc,mas,vave
common vxave,vyave,vzave,wxave
common gekin(mgroup),gerot(mgroup)
common gflox(mgroup),gfloy(mgroup),gflox(mgroup)
common gxave(mgroup),gyave(mgroup),gzave(mgroup)
C
common vsqpt,xmont,spnxt,spnyt,spnzt
common packt,ekint,epott,axott
common compt,visct,masst,vavet
common gekint(mgroup),gerot(mgroup),gxave(mgroup)
common gfloxt(mgroup),gfloyt(mgroup),gfloxt(mgroup)
C
common dymass(myzone),dyspnx(myzone),dymass(myzone)
common dyspnx(myzone),dyspny(myzone),dyspnz(myzone)
common dyedot(myzone),dypack(myzone),dyekin(myzone),dypot(myzone)
common dyerot(myzone)
C
common ymass(myzone),yvsqn(myzone),yzone(myzone)
common yspnx(myzone),yspny(myzone),yspnz(myzone)
common yedot(myzone),ypack(myzone),yekin(myzone),yepot(myzone)
common yerot(myzone),ycomp(myzone),yri sc(myzone),ysave(myzone)
C
common ymasst(myzone),yvsqpt(myzone),ycomnt(myzone)
common yspnxt(myzone),yspnyt(myzone),yspnzt(myzone)
common yedott(myzone),ypackt(myzone),yekint(myzone),yepott(myzone)
common yerott(myzone),ycompt(myzone),yri sc(myzone),yvatv(myzone)
C
common yvx(myzone),yvx(myzone),yvx(myzone)
common ymass1(myzone),ymasst1(myzone)
common yvavel(myzone),yvaveti(myzone)
C
common dprnk(9),dprnp(9),gpnk(9),gpnp(9),prnk(9),prnp(9),rnf(9)
common dprnkm(myzone,9),dprnnp(myzone,9)
common yprnk(myzone,9),yprnp(myzone,9)
common yprnkt(myzone,9),yprnpt(myzone,9)
C
common dprval,dpyval,dprval,prowal,pyval,prwall
common pwallt,pywallt,pwallt
C
common radius(mgroup),rmas(mgroup),planex(mgroup),planez(mgroup)
common radtax(mpr),radt(mpr),rad(mpr),xpnlh(mpr),zplnh(mpr)
common brcom(mpr),mass(mpr),rmt(mpr),vol(mpr),tline(mpr)
common x(mpr),y(mpr),z(mpr)
common dx(mpr),dy(mpr),dz(mpr)
common xp(mpr),yp(mpr),zp(mpr)
C
common qlold(mpr),q2old(mpr),q3old(mpr),q4old(mpr)
common qlnew(mpr),q2new(mpr),q3new(mpr),q4new(mpr)
C
common vx(mpr),vy(mpr),vz(mpr),wx(mpr),wy(mpr),wz(mpr)
common fx(mpr),fy(mpr),fz(mpr),ftx(mpr),fxy(mpr),ftz(mpr)

```

```

common dxv(m), dvy(m), dva(m), dvm(m), dvy(m), dvm(m)
common vhx(m), vhy(m), vhz(m), vhx(m), vhy(m), vhz(m)
common tvx(m), tvy(m), tvz(m)
C
common search, tupd1, delrup, drmax
C
common vxz(m), vmx(m)
common rpos(m), meq(m), yshft(m), yshft(m)
C
common binvx(nvelx), binvy(nvelx), binvz(nvelx)
common binvxt(nvelx), binvyt(nvelx), binvzt(nvelx)
C
common binvx(nvelmx), binvy(nvelmx), binvz(nvelmx)
common binvxt(nvelmx), binvyt(nvelmx), binvzt(nvelmx)
C
common gbinvx(nvelmx, mgroup), gbinvy(nvelmx, mgroup)
common gbinvz(nvelmx, mgroup), gbinvxt(nvelmx, mgroup)
common gbinvyt(nvelmx, mgroup), gbinvzt(nvelmx, mgroup)
C
common epsrep, sigrep, rijsep, epost
common zeta, dtdamp, ttdamp, tstart
C
-----Integers
common nrun, info(2)
common nt1, zaxod, nebor(m)
common rpos(m), meq(m), number(mgroup)
common np, nby0, nby1, nzb0, nzb1, nfix, nfxpl, nczyl
common naby0, naby0, naby1, nzb1, nzb20, nbyb0, nzb21, nbyz1
common nout, noutx, noutv, nczero, nmax, ntc01, nvel, nyzone
common ireal, imirr
common iform, ieta, iacord, iquat, ity, iherz, istart, ialtk, istop
common ihero, ihero, iweihalf, instep, irad, lextra, imin, isax, itot
common ind1, ind2, minus, rplus, move, nshif, mshif, ngroup, lcell
common iax, nds2, ind1y0, ind2y0, ind1y1, ind2y1
C
common ind1z0, ind2z0, ind1z1, ind2z1
common ind1fx, ind2fx, ind1fxp, ind2fxp, ind1cz, ind2cz
common ndarp, lld, len, izor1, izor0, ibor1
C
-----note: stop storing common in dumpfile at variable lastsc
common idumy, lastsc, idumy2
common lenfp, lenchr, ilast11, illused, illused
C
dimension dypxkt(myzone), dypykt(myzone), dypzkt(myzone)
1 ,dypxkt(myzone), dypykt(myzone), dypzkt(myzone)
2 ,dypxkt(myzone), dypykt(myzone), dypzkt(myzone)
C
dimension dypxyp(myzone), dypyyp(myzone), dypzyp(myzone)
1 ,dypxyp(myzone), dypyyp(myzone), dypzyp(myzone)
2 ,dypxyp(myzone), dypyyp(myzone), dypzyp(myzone)
C
dimension ypxkt(myzone), ypykt(myzone), ypzkt(myzone)
1 ,ypxkt(myzone), ypykt(myzone), ypzkt(myzone)
2 ,ypxkt(myzone), ypykt(myzone), ypzkt(myzone)
C
dimension ypxyp(myzone), ypyyp(myzone), ypzyp(myzone)
1 ,ypxyp(myzone), ypyyp(myzone), ypzyp(myzone)
2 ,ypxyp(myzone), ypyyp(myzone), ypzyp(myzone)
C
dimension ypxkt(myzone), ypykt(myzone), ypzkt(myzone)
1 ,ypxkt(myzone), ypykt(myzone), ypzkt(myzone)
2 ,ypxkt(myzone), ypykt(myzone), ypzkt(myzone)
C
dimension ypxyp(myzone), ypyyp(myzone), ypzyp(myzone)
1 ,ypxyp(myzone), ypyyp(myzone), ypzyp(myzone)
2 ,ypxyp(myzone), ypyyp(myzone), ypzyp(myzone)
C
dimension ypxkt(myzone), ypykt(myzone), ypzkt(myzone)
1 ,ypxkt(myzone), ypykt(myzone), ypzkt(myzone)
2 ,ypxkt(myzone), ypykt(myzone), ypzkt(myzone)

```

```

2 ,ypxkt(myzone), ypykt(myzone), ypzkt(myzone)
C
dimension ypxpzt(myzone), ypyptz(myzone), ypzpzt(myzone)
1 ,ypxpzt(myzone), ypyptz(myzone), ypzpzt(myzone)
2 ,ypxpzt(myzone), ypyptz(myzone), ypzpzt(myzone)
C
equivalence (rxfx, rfnf(1)), (ryfy, rfnf(2)), (rzfz, rfnf(3))
1 , (rxfy, rfnf(4)), (ryfy, rfnf(5)), (rzfy, rfnf(6))
2 , (rxzf, rfnf(7)), (ryzf, rfnf(8)), (rzfz, rfnf(9))
C
equivalence (dpxkt, dprnk(1)), (dpykt, dprnk(2)), (dpzkt, dprnk(3))
1 , (dpxyk, dprnk(4)), (dpyyk, dprnk(5)), (dpzyk, dprnk(6))
2 , (dpxzk, dprnk(7)), (dpyzk, dprnk(8)), (dpzpk, dprnk(9))
C
equivalence (dpxcp, dprnc(1)), (dpycp, dprnc(2)), (dpzcp, dprnc(3))
1 , (dpxyp, dprnc(4)), (dpyyp, dprnc(5)), (dpzyyp, dprnc(6))
2 , (dpxzp, dprnc(7)), (dpyzp, dprnc(8)), (dpzyp, dprnc(9))
C
equivalence (pxpk, prnk(1)), (pyyk, prnk(2)), (pzpk, prnk(3))
1 , (pxyk, prnk(4)), (pyyk, prnk(5)), (pzyk, prnk(6))
2 , (pxzk, prnk(7)), (pyzk, prnk(8)), (pzpk, prnk(9))
C
equivalence (pxxp, prnp(1)), (pyyp, prnp(2)), (pzxp, prnp(3))
1 , (pxyp, prnp(4)), (pyyp, prnp(5)), (pzyp, prnp(6))
2 , (pxzp, prnp(7)), (pyzp, prnp(8)), (pzxp, prnp(9))
C
equivalence (pxkt, prnk(1)), (pykt, prnk(2)), (pzkt, prnk(3))
1 , (pykt, prnk(4)), (pykt, prnk(5)), (pykt, prnk(6))
2 , (pzkt, prnk(7)), (pykt, prnk(8)), (pzkt, prnk(9))
C
equivalence (pxpzt, prnpt(1)), (pyptz, prnpt(2)), (pzpzt, prnpt(3))
1 , (pxpzt, prnpt(4)), (pyptz, prnpt(5)), (pzpzt, prnpt(6))
2 , (pxpzt, prnpt(7)), (pyptz, prnpt(8)), (pzpzt, prnpt(9))
C
equivalence (dypxkt, dypnkt(1,1)), (dypykt, dypnkt(1,2))
1 , (dypxkt, dypnkt(1,3)), (dypykt, dypnkt(1,4))
1 , (dypykt, dypnkt(1,5)), (dypykt, dypnkt(1,6))
1 , (dypxkt, dypnkt(1,7)), (dypykt, dypnkt(1,8))
4 , (dypzkt, dypnkt(1,9))
C
equivalence (dypxyp, dypnyp(1,1)), (dypyyp, dypnyp(1,2))
1 , (dypxyp, dypnyp(1,3)), (dypyyp, dypnyp(1,4))
1 , (dypyyp, dypnyp(1,5)), (dypyyp, dypnyp(1,6))
3 , (dypxyp, dypnyp(1,7)), (dypyyp, dypnyp(1,8))
4 , (dypzyp, dypnyp(1,9))
C
equivalence (ypxkt, ypnk(1,1)), (ypykt, ypnk(1,2))
1 , (ypxkt, ypnk(1,3)), (ypykt, ypnk(1,4))
2 , (ypykt, ypnk(1,5)), (ypykt, ypnk(1,6))
3 , (ypxkt, ypnk(1,7)), (ypykt, ypnk(1,8))
4 , (ypzkt, ypnk(1,9))
C
equivalence (ypxyp, ypnyp(1,1)), (ypyyp, ypnyp(1,2))
1 , (ypxyp, ypnyp(1,3)), (ypyyp, ypnyp(1,4))
1 , (ypyyp, ypnyp(1,5)), (ypyyp, ypnyp(1,6))
2 , (ypxyp, ypnyp(1,7)), (ypyyp, ypnyp(1,8))
4 , (ypzyp, ypnyp(1,9))
C
equivalence (ypxkt, ypnkt(1,1)), (ypykt, ypnkt(1,2))
1 , (ypxkt, ypnkt(1,3)), (ypykt, ypnkt(1,4))

```

CÓDIGO FUENTE

2 , (ypzykt, ypnrkt(1,5)), (ypzykt, ypnrkt(1,6))
 3 , (ypzxt, ypnrkt(1,7)), (ypzxt, ypnrkt(1,8))
 4 , (ypzxt, ypnrkt(1,9))
 c
 equivalence (ypzpt, ypnrpt(1,1)), (ypzpt, ypnrpt(1,2))
 1 , (ypzpt, ypnrpt(1,3)), (ypzpt, ypnrpt(1,4))
 2 , (ypzpt, ypnrpt(1,5)), (ypzpt, ypnrpt(1,6))
 3 , (ypzpt, ypnrpt(1,7)), (ypzpt, ypnrpt(1,8))
 4 , (ypzpt, ypnrpt(1,9))

```

program s3ds
c
cccccccccccccccccccccccccccccccccccccccccccccccccccccccccccccccccccc
cccccccccccccccccccccccccccccccccccccccccccccccccccccccccccccccccccc
c
c
c
c      3dshear Version 2.05b, Feb 1, 1995
c
c      Otis R. Walton and Robert L. Braun
c      Lawrence Livermore National Laboratory
c      P. O. Box 808 Mallstop L-207
c      Livermore, CA 94550
c
c
cccccccccccccccccccccccccccccccccccccccccccccccccccccccccccccccccccc
cccccccccccccccccccccccccccccccccccccccccccccccccccccccccccccccccccc
c
c
c      Copyright to this work subsists at the Lawrence Livermore National c
c      Laboratory under contract W-7405-ENG-46 between the Regents of the c
c      University of California and the U.S. Department of Energy. Upon c
c      completion of field evaluation of this work, the University of c
c      California will seek permission to claim the copyright as: c
c      COPYRIGHT 1994, REGENTS OF THE UNIVERSITY OF CALIFORNIA
c
c      The recipient is not to further transfer the work or any derivative c
c      work without permission from the LLNL Technology Transfer Office, c
c      use of this work or derivative works is limited to development and c
c      evaluation, and the work should be considered an unpublished work. c
c
cccccccccccccccccccccccccccccccccccccccccccccccccccccccccccccccccccc
cccccccccccccccccccccccccccccccccccccccccccccccccccccccccccccccccccc
c
c----log of code changes:
c
c----version s3ds5192, July 11, 1985 (from version .s:s3ds:s3ds5142uu)
c
c----version s3ds5210, July 29, 1985 (from version .s:s3ds:s3ds5192uu)
c   use quaternions for representing orientation of particles
c
c----version s3ds5213, aug. 1, 1985 (from version .s:s3ds:s3ds5210uu)
c   use more compact solution for quaternion equations
c
c----version s3ds5221, aug. 9, 1985 (from version .s:s3ds:s3ds5213uu)
c   allot input of parameters epsrep and sigrep for 12h power repulsion
c
c----version s3ds5228, aug. 16, 1985 (from version .s:s3ds:s3ds5221uu)
c   increase parameters m=256 and nsave=12
c   new option izeta=2 for rescaling velocities to constant temperature
c   increase cutoff to sigrep=2 for 12h power law
c
c----version s3ds5251, sept. 8, 1985 (from version .s:s3ds:s3ds5228uu)
c   replace initial cubic-close-packing algorithms with random packing
c   initialize particle radii to zero; expand radii at time zero
c   until particles are in contact; then continue to expand radii
c   each time step at rate 'dradst' until radii() = radii(i).
c   after radii expansion is finished, reset time to zero and
c   reinitialize other parameters.
c
c----version s3ds5302, oct. 29, 1985 (from version .s:s3ds:s3ds5251uu)
c   option for run number on execution line.
c   name all input and output files with 3-digit run number.
c   allow maximum size for output files.
c
c----version s3ds5311, nov. 8, 1985 (from version .s:s3ds:s3ds5302uu)
c   add tangential forces, store vector force (tfx,tfy,tfz) in link
  
```

```

c list storage, change nd to 9 words in each entry in list.
c in subroutine findrad, increase the number of extra time steps
c after radii expansion to 100.
c change collision-frequency calculation in datsave and main.
c
c
c-----version s3ds5329, nov. 25, 1995 (from version .s:3ds:s3ds5311uu)
c sign changes in calculating torque on each particle
c
c-----version s3ds5347, dec. 13, 1995 (from version .s:3ds:s3ds5329uu)
c correct calculation of spin angular moments
c
c-----version s3ds6073, mar. 14, 1996 (from version .s:3ds:s3ds5347uu)
c recalculate sm2 in subroutine forces, delete from link-list,
c change md to 8, add velocity-dependent damping to hertz force model.
c
c-----version s3ds6080, mar. 21, 1996 (from version .s:3ds:s3ds6073uu)
c save old normal force in link-list (nwd=9);
c add second velocity-dependent damping to hertz model if slope.lt.0.;
c change subroutine findrad so that sm2 = sm1.
c
c-----version s3ds6101 apr. 11, 1996 (from version .s:3ds:s3ds6080uu)
c change calculation of rotational kinetic energy to use z-rotational
c velocity relative to shear rate for whole cell (i.e.,  $\omega_c = 0.5\omega_{edot}$ ).
c change calculation of rotational kinetic energy in y zone to
c use z-rotational velocity relative to mean  $\omega_c$  in that zone.
c change calculation of compressibility factor to use
c (2/3) kinetic energy.
c change calculation of mean particle radius (rme) and diameter
c (sigma) to use arithmetic, volume-weighted average.
c
c-----version s3ds6126, may 6, 1996 (from version .s:3ds:s3ds6101uu)
c revise subroutine bound to place boundary particles on xz planes in
c expanded, hexagonal-close-packed array
c
c-----version s3ds6135, may 15, 1996 (from version .s:3ds:s3ds6126uu)
c incorporate alternative way of imparting particle size and mass data,
c specifying the number of particles having a given radius and mass
c
c-----version s3ds6143, may 23, 1996 (from version .s:3ds:s3ds6135uu)
c apply shear correction to dx in subroutine integ?
c
c-----version s3ds6147, may 27, 1996 (from version .s:3ds:s3ds6143uu)
c change algorithm for initial velocities so that particles have
c zero initial net momentum even when unequal-mass particles are used
c
c-----version s3ds6150, may 30, 1996 (from version .s:3ds:s3ds6147uu)
c diagnostics for kinetic and rotational energy for particle size groups
c
c-----version s3ds6151, may 31, 1996 (from version .s:3ds:s3ds6150uu)
c in subroutine findrad: calculate skm from massy instead of massx
c
c-----version s3ds6192, july 11, 1996 (from version .s:3ds:s3ds611uu)
c change calculation of rotational kinetic energy to use z-rotational
c velocity relative to the mass-averaged rotational velocity for cell.
c also, change calculation of rotational kinetic energy for each
c particle-size group to use z-rotational velocity relative to the
c mass-averaged rotational velocity for that group.
c also, make changes in boundary particle calculations.
c
c-----version s3ds6254, sept. 11, 1996 (from version .s:3ds:s3ds6192uu)
c allow fixed particles within cell (whole particles) and
c correct cell dimensions for overlap of boundary particles and
c overlap of fixed particles to obtain desired packing fraction.
c
c-----version s3ds6262, sept. 19, 1996 (from version .s:3ds:s3ds6254uu)
c implement monte-carlo estimation of net volumes for
c boundary particles and other fixed particles (subroutine packing).
c redefine deviatoric x-, y-, and z-translational velocities to
c leave out gravitational part.
c
c-----version s3ds6295, oct. 22, 1996 (from version .s:3ds:s3ds6262uu)
c allow non-zero initial non-deviatoric velocity components in
c x-, y-, and z-direction.
c
c-----version s3ds6321, nov. 17, 1996 (from version .s:3ds:s3ds6295uu)
c use deviatoric velocities to calculate group kinetic energies.
c correct names to nxyz0 and nxyz1 in output file.
c correct printout of fixed particles coordinates when icoord = 0.
c correct initialization of rad for fixed particles.
c do not allow epsv to be input as 0.
c
c-----version s3ds6334, nov. 30, 1996 (from version .s:3ds:s3ds6321uu)
c allow full cylindrical cells in y zone.
c allow separate skm1, elastb, and slopeb for interactions
c between active particles and boundary or fixed particles.
c
c-----version s3ds6358, dec. 24, 1996 (from version .s:3ds:s3ds6334uu)
c corrections for nxyz.gt.0
c
c-----version s3ds7008, jan. 8, 1997 (from version .s:3ds:s3ds6358uu)
c new flag "lalt" to specify whether alternative k values (skm1b, skm2b
c elastb, and slopeb are to apply to (0) active/boundary collisions
c or (1) active/active collisions when both active particles are
c not in first particle size group
c
c-----version s3ds7160, jun. 9, 1997 (from version .s:3ds:s3ds7008uu)
c allow planar boundaries on y and z faces of cell
c specify nxyz0=nxyz0=1, or nxyz0=nxyz0=1, etc.
c added calculation of lower y-boundary particle forces
c
c-----version s3ds7177, jun 26,1997 from version .s:3ds:s3ds7160
c add velocity squared drag force to subroutine integ, read in drag
c corrected initial orientation of fixed and boundary particles
c fmsb - separate friction coefficient for boundary or fixed particles
c lxyz - flag to read coords, =0 for only fixed particles, =1 fixed & bound
c =2 to read all particle coords.
c allow negative radius for first xzylinder -- as outer bound
c
c-----version s3ds7257, sept. 14, 1997 from version .o:3dshear:s3ds:s3ds7177
c correct definition of frist z-cylinder (was sphere in s3ds7177)
c correct alternate boundary friction in findrad initialization (fmsb)
c add edit of radii, masses, and moments of inertia before first time edit
c
c-----version s3ds8110, april 20, 1998 from version .o:3dshear:s3ds:s3ds7257uu
c correct initialization of dx,dy,dz in subroutine init
c add calculation of dx for boundary particles in subroutine integ2
c add additional dummy zone for all particles with ystarty or ypystop
c this changes mass assigned to zone 1 and nyzone from previous version
c delete yshift correction when lreal.gt.0. in subroutine initstep
c correct rotational kinetic energy diagnostic for zones (ie. index to ywz)

```

```

c add vx,vy,vz,wx,wy,wz to inamelist input
c use values read in according to flag ixyz:
c ixyz=0,1,2 for fixed, fixed and boundary, or all particles, respectively
c ixyz=3 for all particles - but x,y,z not to be scaled by cell size
c
c-----3dshear version 3.00, Nov 30, 1988 from version 3dshear/3ds8110
c added ialtk=1 option to change friction, stiffness etc. to "b" values
c after particle index ind2yl (i.e. only for z-boundaries or cylinders)
c variable rnk2 added to common
c
c-----version 3ds9new1, dec 1988 from 3dshear/3ds8335
c sun unix version translated from lin1 octopus version
c uses sun fortran with ms extension (includes namelist input)
c
c-----version 3ds9new, mar. 24, 1989 from 3ds9new1
c continue with sun unix version:
c implement namelist input, begin conversion of dump coding,
c clean-up some i/o problems, and re-arrange common.
c code now will compile, but link list has not been corrected.
c
c-----version 3ds9newb, may 5, 1989 from 3ds9new
c modified link-list to work with 32 or 64 bit integers along with
c real*8 floating point numbers. use iidx for integers, jdx for real
c modified dump so that only latest time is available (i.e., can
c continue problem but not restart from earlier time.
c
c-----version 3ds91a.1000 May 18,1991
c changed max dimension in 3dsdcm to mp = 1000
c
c-----version 3ds91b.1k June 15, 1991
c eliminated sign function calls & if tests in periodic image tests
c
c-----version 3ds91c.1k July 19, 1991 (from 3ds91b.1k)
c minor changes to get thru IBM compiler:
c removed data statements for variables in COMMON (for IBM risc6000)
c corrected if-test in 'forces' if ((i1.and.).j1.gt.number(i1))
c type character variable in 'datasave', format statement in 'init'
c 'etime' function in 'datasave' modified (still incorrect on IBM)
c
c-----version 3ds91e.1k (from 3ds91c.1k)
c added boundary x-velocity to vmaxax calculation in diagnost.
c removed redundant factor of two in vmaxax calculation in update
c restored 'etime' in datasave
c
c-----3dshear version 2.0 (from 3ds91e.1k)
c diagnostics are calculated and written to o3ds if nout or dtout
c is nonzero. x,y,z positions and x,y,z rotation angles are written
c to o3dv if noutx or dtoutx is nonzero. velocities are written
c to o3dv if noutv or dtoutv is nonzero. dash1 and dash2 damping
c factors were a3ds6.
c-----3dshear version 2.0b (from 2.0)
c increased mp to 2500
c completed l3pic for negative radius (i.e., inside) contacts
c in subroutine forces (from 2-body code)
c allowed rotating cylinders (i.e., set whz(i) = wz(i) for
c cylinders in init)
c allowed override of additional variables in dumpread:
c tzero, nzero, dtoutx, dtoutv, noutx, noutv
c
c-----3dshear version 2.01 (from 2.0b) May 1, 1993
c versions 2.01a dimensioned 500, 2.01b dimensioned 3500
c automatically place particles inside cylindrical boundary
c call update based on displacement criteria instead of time
c-----3dshear version 2.02 (from 2.01) August 5, 1993
c (2.02a dimensioned 500, 2.02b dimensioned 3500)
c dash1, dash1b, dash2, dash2b damping factors implemented in forces
c elast and elastb also apply to Wertz-Like force models.
c 'slope' no longer used for damping in hertz force model.
c eliminated inverse 12th power potential option in forces.
c rearranged force routine to speed search thru linked-list.
c
c (coding for damping forces not fully tested as of 8/5/93)
c note: if extensive runs with 'slope' are planned then, skn2 should
c be put back into contact linked-list for greater efficiency.
c
c Sept 16, 1993 rearranged statements in diagnost and forces to
c avoid warning errors from itm f77 compiler. Eliminated
c redundant statements in forces, changed ranf to ranfl.
c
c-----3dshear version 2.03 (from 2.02) February 9, 1993
c added input variables wxzero, wyzero, wzero for initial angular
c velocities of the active particles (zero fixed value for all
c spheres, no random variation about mean).
c
c-----3dshear version 2.04 (from 2.03) March 29, 1994
c correct print time intervals in dumpread
c eliminated divide by zero in init (for cylindrical boundary)
c added imu and imub as variables modified by restart file when
c restarting from dump file (MUST INCLUDE THESE VARIABLES IN
c RESTART FILE for them to be non-zero on restart).
c
c-----3dshear version 2.05 (from 2.04) May 3, 1994
c added input variable wczyl both initially and on restart
c (non-zero value overrides previous or alternate input values)
c for the angular velocity of the 1st z-cylinder (boundary).
c also, changed dump length of neighbor linked list.
c files o3ds, o3dv, o3dv are closed after each write
c CANNOT READ RESTART DUMP FILES FROM EARLIER VERSIONS!
c-----version 2.05b
c increased dimensions to allow 7100 particles, decreased
c max yzones to 20, groups to 5, velocity groups to 10
c changed orientation edit to quaternions in o3dv file
c
c-----version 2.05b
c include '3dsdcm'
c
c data pi/3.141592653589798/,ccpck/0.7404804/
c data halt/5./,thrd/.333333333333/,fourth/.25/,fifth/.2/
c data sixth/.166666666667/
c data one/1./,two/2./,three/3./,four/4./,ten/10./
c data trifle/1.e-50/,huge/1.e+50/
c data ntl/1/,rebr/rep/0/
c
c ieee = ieee_handler('set','invalid',sample_handler)
c ieee = ieee_handler('set','division',sample_handler)
c
c version = '2.05b '
c one = 1.
c two = 2.
c three = 3.
c four = 4.

```

```

ten = 10.
half = 0.5
twoSths = four/ten
threeSth = three/two
third = one/three
fourth = 0.25
fifth = 0.2
sixth = one/6.
ccpack = 0.7464804
pi = four*atan(one)
trifle = 1.e-50
huge = 1.e+50
nt1 = 1
do 1 1=-1,mp
1 nbor(i) = 0
c
c-----define machine dependent variables
if(lvers.eq.2) then
c----- use Integer*4 in link-list (sum)
i2or1 = 2
i1or0 = 1
c----- 8 (byte) locations per floating pt. variable (sum)
i8or1 = 8
else
c----- integers and reals same length (cray)
i2or1 = 1
i1or0 = 0
c----- 1 cray word per floating pt. variable
i8or1 = 1
endif
c
c-----open input and output files
open(2,file='13ds',status='old')
c
c-----set maximum index for linked list storage
maxwd = 1 + nwd*mp*nave
imaxwd = i2or1*maxwd - i1or0
lastll = mac + mcd*mp*nave
ilastll = i2or1*lastll - i1or0
llused = nwd
illused = i2or1*llused - i1or0
c
c-----determine length of data to write to restart dump file.
lenfp = 1 + ((loc(lastsc) - loc(firstsc))/i8or1)
lenchr = 1 + ((loc(lastchr) - loc(olddl(1)))/i8or1)
c
c-----read input data
call datain
c
if(istart .ne. 0) then
c-----restart from dump of run lstart
call dmpread
c-----resume run
goto 10
endif
c
c-----initialize general parameters
call init
c
c-----increase particle radii rad(i) until they reach radz(i)
call findrad

```

```

call update
c
10 continue
c
c-----write header into to output files
call o3dout(0)
if(iquat.eq.0) then
call o3dxout(0)
else
call o3dqout(0)
endif
call o3dout(0)
c
c-----start integration
20 continue
c
c-----update linked list of near neighbors if displacement to large
delrup = delrup + dmax
if(delrup.gt. half*search) call update
c
c-----initialize for integration step
call initstep
c
c-----calculate interparticle forces
call forces
c
c-----iterative integration of velocity equations to solve for vx, vy, and vz
c-----at start of current time step
call integ1
c
c-----calculate diagnostics before completing the integration
if(nout.gt.0) then
call diagnost
c-----test for writing file o3ds (diagnostics)
if(t.gt.tout+dtout-half*dt) call o3dsout(1)
endif
c
c-----test for writing file o3dx (x,y,z,rotations) or o3dq (x,y,z,quaternions)
if(noutx.gt.0) then
if(t.gt.toutx+dtoutx-half*dt) then
if(iquat.eq.0) then
call o3dxout(1)
else
call o3dqout(1)
endif
endif
endif
c
c-----test for writing file o3dv (velocities)
if(noutv.gt.0) then
if(t.gt.toutv+dtoutv-half*dt) call o3dvout(1)
endif
c
c-----now finish this cycle of integration to obtain coordinates at time t + dt
c-----and estimation of velocities at time t + dt
call integ2
c
c
c-----test for dumping
if(t-dt .gt. tdump-half*dt) then
c-----increment dump time

```

```

        tdump = tdump + dtdump
c
c-----create/open dump file.
        open(4,file='d3ds',status='unknown',form='unformatted')
c
c-----write length of each data block in dump file (for consistency chk)
        write(4,iostat=iCHECK,err=998) lenchr,ilastill,lenfp,illused
        >, illused
c-----write characters to dumpfile
        write(4,iostat=iCHECK,err=998) (oldtiti(i),i=1,lenchr)
c-----write linklist variables to dump file
        write(4,iostat=iCHECK,err=998) (ndx(i),i=1,illused)
        if(iCHECK.ne.0) goto 998
c-----write blank common to dump file
        write(4,iostat=iCHECK,err=998) (firstsc(i),i=1,lenfp)
        if(iCHECK.ne.0) goto 998
c
c-----close dumpfile after each time written
        close(4)
        endif
c
c
        if(itty.eq.1) then
c-----test for continue integration when in tty-interactive mode
        if(listop.ge.0) goto 20
        else
c-----test for continue integration when not in tty-interactive mode
        if(t.le.tmax*half*dt) goto 20
        endif
c
c
c-----mean collision frequency for entire run
        if((masst+mass).gt.0.) then
            colfrq = three*pack*sqrt((vsqopt+vsqpl)/(masst+mass))/rave
        else
            colfrq = 0.
        endif
c
c-----mean estimated collisions per particle
        nmax = tmax*colfrq
c
c-----mean counted collisions per particle
        nctot = two*totcol/rp
c
        open(3,file='o3ds',status='old', access='append')
        write(3,301) tmax,colfrq,nmax,nctot
        call o3dsout(2)
c
999 if(iivers.eq.1) then
        call exit(1)
    else
        stop
    endif
c
998 open(3,file='o3ds',status='old', access='append')
        write(3,398) lCHECK
        goto 999
c
c
301 format(1p,///,

```

```

        & " tmax = ",e11.4," Smax time for run",/,
        & " colfrq = ",e11.4," Smean collision frequency",/,
        & " nmax = ",15,5x," Sestimated collisions per particle",/,
        & " nctot = ",15,5x," Scounted collisions per particle",/,
        & " ****"
c
398 format(/,' error writing dump file, iCHECK = ',19)
        end
c
c *****
c . . . . .
c . . . . .
c . . . . .
c *****
c . . . . .
c . . . . .
c . . . . .
c *****
c
        subroutine bound
            include 's3dscmn'
c
c-----this subroutine is called only if ireal.ne.0
c-----it assigns coord., vel., and other parameters for boundary particles
c
c-----index of y zone below zone 1
        nminy = 1
c-----index of y zone above zone nyzne
        nplus = nyzne
c-----multiplier for calculating shear rate in boundary y zones,
        yfact = 1.
c
        packy0 = 0.
        if(nby0.eq.1) then
c-----plane
            ip = indly0
            rad(ip) = radz(ip)
            xi(ip) = 0.
            yi(ip) = -rad(ip)
            zi(ip) = 0.
            vx(ip) = vxyb0
            vy(ip) = vzyb0
            vz(ip) = vzyb0
c
        elseif(nby0.gt.1) then
c-----expanded, hexagonal-close-packed coord. for xz boundary at y = zero
            ip = indly0 - 1
            do 10 j=1,nby0
                zz = (j-1)*zcell/nby0
                xx = (1 - mod(j,2))*half*xcell/nby0
            do 10 i=1,nby0
                ip = ip + 1
                xi(ip) = xx + (i-1)*xcell/nby0
                zi(ip) = zz
                yi(ip) = 0.
                vx(ip) = vxyb0
                vy(ip) = vzyb0
                vz(ip) = nzyb0
                wx(ip) = 0.
                wy(ip) = 0.
                wz(ip) = 0.
                rad(ip) = radz(ip)
                npos(ip) = 1.
            enddo
        enddo
        enddo
        end

```



```

nneg(ip) = 0.
rpos(ip) = 1.
rneg(ip) = 0.
C-----packing contribution from half-particles at y = zero
packy0 = packy0 + half*vol(ip)
10 continue
C-----correct for overlap of boundary half-particles at y = zero
C-----no overlap is assumed with particles on the xy boundary, if any.
do 10 i=indly0,indzly-1
do 10 j=i+1,indzly0
dxij = min(abs(x(j)-x(i))
1 ,abs(x(j)-x(i)-xcell)
1 ,abs(x(j)-x(i)+xcell))
dzij = min(abs(z(j)-z(i))
1 ,abs(z(j)-z(i)-zcell))
1 ,abs(z(j)-z(i)+zcell))
dijsg = dxij*dxij + dzij*dzij
if(dijsg.ge.(radz(i) + radz(j))**2) goto 110
di = sqrt(dijsg)
hi = (radz(i))**2 - (di - radz(i))**2/(2.*di)
hj = (radz(i))**2 - (di - radz(j))**2/(2.*di)
packy0 = packy0 - sixth*pi
1 ,hi*hi*(3.*radz(i) - hi)
2 ,hj*hj*(3.*radz(j) - hj))
110 continue
endif
c
c
packyi = 0.
if(nbyl.eq.1) then
C-----plane
lp = indlyl
rad(ip) = radz(ip)
x(ip) = 0.
y(ip) = ycell + rad(ip)
z(ip) = 0.
vx(ip) = vxlyl
vy(ip) = vylyl
vz(ip) = vzlyl
c
elseif(nbyl.gt.1) then
C-----expanded, hexagonal-close-packed coord. for xz boundary at y = ycell
lp = indlyl - 1
do 20 j=1,nbyl
xx = (j-1)*xcell/nbyl
xz = (1 - mod(j,2))*half*xcell/nbyl
do 20 i=1,nbyl
lp = ip + 1
x(ip) = xx + (i-1)*xcell/nbyl
z(ip) = xz
y(ip) = ycell
vx(ip) = vxlyl
vy(ip) = vylyl
vz(ip) = vzlyl
wx(ip) = 0.
wy(ip) = 0.
wz(ip) = 0.
rad(ip) = radz(ip)
npos(ip) = 0
nneg(ip) = nyzone
rpos(ip) = 0.

```

```

rneg(ip) = 1.
packyl = packyl + half*vol(ip)
20 continue
C-----correct for overlap of boundary half-particles at y = ycell
C-----no overlap is assumed with particles on the xy boundary, if any.
do 120 i=indly1,indzyl-1
do 120 j=i+1,indzyl
dxij = min(abs(x(j)-x(i))
1 ,abs(x(j)-x(i)-xcell)
1 ,abs(x(j)-x(i)+xcell))
dzij = min(abs(z(j)-z(i))
1 ,abs(z(j)-z(i)-zcell)
1 ,abs(z(j)-z(i)+zcell))
dijsg = dxij*dxij + dzij*dzij
if(dijsg.ge.(radz(i) + radz(j))**2) goto 120
di = sqrt(dijsg)
hi = (radz(i))**2 - (di - radz(i))**2/(2.*di)
hj = (radz(i))**2 - (di - radz(j))**2/(2.*di)
packyl = packyl - sixth*pi
1 ,hi*hi*(3.*radz(i) - hi)
2 ,hj*hj*(3.*radz(j) - hj))
120 continue
c
endif
c
c
packz0 = 0.
if(nbz0.eq.1) then
C-----plane
lp = indz0
rad(ip) = radz(ip)
x(ip) = 0.
y(ip) = 0.
z(ip) = -rad(ip)
c
elseif(nbz0.gt.1) then
C-----xy-boundary at z = zero
c*****
C-----generate coordinates, similar to xz boundary
c*****
C-----correct for overlap of boundary half-particles at z = zero
C-----no overlap is assumed with particles on the xz boundary, if any.
do 130 i=indz0,indz0-1
do 130 j=i+1,indz0
dxij = min(abs(x(j)-x(i))
1 ,abs(x(j)-x(i)-xcell)
1 ,abs(x(j)-x(i)+xcell))
dyij = min(abs(y(j)-y(i))
1 ,abs(y(j)-y(i)-ycell)
1 ,abs(y(j)-y(i)+ycell))
dijsg = dxij*dxij + dyij*dyij
if(dijsg.ge.(radz(i) + radz(j))**2) goto 130
di = sqrt(dijsg)
hi = (radz(i))**2 - (di - radz(i))**2/(2.*di)
hj = (radz(i))**2 - (di - radz(j))**2/(2.*di)
packz0 = packz0 - sixth*pi
1 ,hi*hi*(3.*radz(i) - hi)
2 ,hj*hj*(3.*radz(j) - hj))
130 continue

```

```

endif
c
c
c packl = 0.
  if (nbnl.eq.1) then
c-----plane
    lp = lndzl
    rad(lp) = radz(lp)
    x(lp) = 0.
    y(lp) = 0.
    z(lp) = xcell + rad(lp)
c
  elseif (nbnl.gt.1) then
c-----xy-boundary at z = zcell
c-----
c-----generate coordinates, similar to xz boundary
c-----
c-----correct for overlap of boundary half-particles at z = zcell
c-----no overlap is assumed with particles on the xz boundary, if any.
  do 140 j=1,lrdz1
    do 140 j=1,lrdz1
      dxij = min(abs(x(j)-x(i)))
      1      ,abs(x(j)-x(i)-xcell)
      1      ,abs(x(j)-x(i)+xcell)
      dyij = min(abs(y(j)-y(i)))
      1      ,abs(y(j)-y(i)-ycell)
      1      ,abs(y(j)-y(i)+ycell)
      dijsq = dxij**2 + dyij**2
      if (dijsq.ge.(radz(i) + radz(j))**2) goto 140
      dij = sqrt(dijsq)
      hl = (radz(j)**2 - (dij - radz(i))**2)/(2.*dij)
      hj = (radz(i)**2 - (dij - radz(j))**2)/(2.*dij)
      packl = packl + sixth*pi
      1      *(hl*hl*(3.*radz(i) - hl)
      2      + hj*hj*(3.*radz(j) - hj))
  140 continue
endif
c
c return
end
c
c *****
c *
c *
c *
c *
c *
c *****
c *
c *
c *
c *
c *****
c
c subroutine datain
  include 's3dsrnm'
  character*80 chrnm
c
c namelist /var/ np,nbzy0,nbzy0,nbzy1,nbzy1,nbzx0,nbzx0,nbzx0
+ ,nbz1,nbz1,nix,nixpl,nicy1,nmax,nout,noutv
+ ,ncz0,nctool,nvel,ndump,nysone,ireal,imlr,lterm
  1 ,lreta,lccord,lqsut,ltyv,lzeta,istart,lalk
  2 ,cmax,dt,dteat,dteout,dteout,dtendp,ltrero,edot,epsv,pack
  2 ,wave,vazero,vyzero,vzzero,vseed,vxzero,vyzero,vzzero,wvcyl

```

```

  3 ,sknl,elast,slope,ratk,fmw,power,tstart,cmassz
  4 ,xcell,ycell,zcell,xyrat,zyrat,gravx,gravz,gyvz
  5 ,vzb0,vbz1,vyb0,vyb1,vzb0,vzb1
  6 ,vzbx0,vzbx1,vyb0,vyb1,vzbx0,vzbx1,qold,qold,qold,qold
  7 ,search,maxk,dradit,ystart,ystop
  8 ,radz,number,radius,pmass,planez
  8 ,xy,z,sknlb,elast,slope
  9 ,dteag,lx,z,fmwb,vx,vy,vz,wx,wy,wz,dash1,dash2,dashb,dashzb
  $ ,finis
c
c-----input title
  read (2,201) (title(i),i=1,10)
c
c-----find run number given on title line (the 3 digits after "13ds")
  write(chrnm,'10a3') (title(i),i=1,10)
  read(chrnm,'80a1') (nchar(i),i=1,80)
  i = 1
  nrun = 0
  1 continue
  if (nchar(i).eq."1".and.nchar(i+1).eq."3".and.nchar(i+2).eq."d"
    .and.nchar(i+3).eq."s") then
    write(chrnm,'(f3a1)') (nchar(i+3),j=4,6)
    read(chrnm,'(i3)') nrun
    else
      i = i + 1
      if (i.lt.70) goto 1
    endif
c
c-----
c-----initialize control parameters
c-----np = total number of boundary and non-boundary particles
  np = 125
c
c-----nbzy0 = number of boundary particles in x direction at y = zero
  nbzy0 = 0
c
c-----nbzy0 = number of boundary particles in z direction at y = zero
  nbzy0 = 0
  (nbzy0 must be an even number)
c
c-----nbzy1 = number of boundary particles in x direction at y = ycell
  nbzy1 = 0
c
c-----nbzy1 = number of boundary particles in z direction at y = ycell
  (nbzy1 must be an even number)
  nbzy1 = 0
c
c-----nbzx0 = number of boundary particles in x direction at z = zero
  nbzx0 = 0
c
c-----nbzy0 = number of boundary particles in z direction at z = zero
  (nbzy0 must be an even number)
  nbzy0 = 0
c
c-----nbzx1 = number of boundary particles in x direction at z = zcell
  nbzx1 = 0
c
c-----nbzy1 = number of boundary particles in z direction at z = zcell

```

```

c      (nybz1 must be an even number)
c      nybz1 = 0
c
c-----nfix = other fixed particles
c      nfix = 0
c
c-----nfixp = number of fixed planes
c      the orientation determined by the quaternions
c      the extents determined by xc11 and zc11
c      nfixp = 0
c
c-----ncyl = number of cylinders parallel to z axis
c      if ncyl is (1) and rad(indc1z) is negative then assume
c      the z-cylinder is the outer boundary for problem
c      ncyl = 0
c
c-----nmax = number of collisions per particle during entire run (est.).
c      note: this is used only if input tmax.eq.0.
c      nmax = 50
c
c-----nout = number of times to write file o3ds (usual 3dshear output)
c      note: this is used only if dtout.eq.0.
c      nout = 25
c
c-----noutx = number of times to write file o3dq (x,y,z,quaternions)
c      note: this is used only if dtoutx.eq.0.
c      noutx = 100
c
c-----noutv = number of times to write file o3dv (velocities)
c      note: this is used only if dtoutv.eq.0.
c      noutv = 100
c
c-----nctero = number of collisions per particle before restart run. ave.
c      note: this is used only if input tctero.eq.0.
c      nctero = 5
c
c-----ntcol = number of time steps during a collision
c      note: ncol and elast are used for calculating the
c      time step, dt, only if the input dt.eq.0.
c      ntcol = 50
c
c-----nvel = number of intervals for saving velocity distribution
c      nvel = nvelmx
c
c-----ndump = number of times to write restart dump.
c      note: this is used only if dtdump .eq. 0.
c      ndump = 10
c
c-----nyzone = number of zones in y direction for diagnostics
c      note: maximum nyzone allowed is myzone
c      nyzone = 5
c
c-----ireal = if ireal.eq.0 the all boundaries are periodic
c      if ireal.eq.1 then planes normal to y axis are real
c      if ireal.eq.2 then planes normal to y axis are real and
c      planes normal to z axis are also real
c      note: if ireal.ne.0 then edot must be zero.
c      ireal = 0
c
c-----imirr = if imirr.eq.1 & ireal.gt.0 then plane y=yc11 is a mirror
c      imirr = 0

```

```

c-----lterm = maximum number of iterations for velocity integration
c      (lterm must be .ge. 1)
c      lterm = 3
c
c-----lzeat = if lzeat.eq.0, do not keep trans. kinetic energy constant
c      if lzeat.eq.1, use boover rota method to keep constant t
c      if lzeat.eq.2, rescale dev. vel. to keep constant t
c      lzeat = 0
c
c-----lccord = if lccord.eq.0, write out coordinates in primary cell
c      if lccord.ne.0, write out coordinates in present cell
c      lccord = 0
c
c-----lquat = if lquat.eq.0, write out rotations as successive angles (o3dq)
c      if lquat.ne.0, write out rotations as quaternions (o3dq)
c      lquat = 0
c
c-----lity = if lity.eq.1 program can be terminated from tty
c      lity = 0
c
c-----lhertz = if lhertz.eq.1 use hertz 3/2 power law force
c      if lhertz.eq.0 use latching spring force law
c      lhertz = 0
c
c-----lstart = flag to determine whether to restart run.
c      if lstart is nonzero, then restart run using values
c      from dump file.
c      lstart = 0
c
c-----laltk = flag to specify whether to use skn1b, skn2b, slopeb
c      and elastb for (0) collisions between an active particle
c      and boundary, or (1) collisions between two active
c      particles when both are outside of first size group.
c      (-1) use alternate values only for z-boundaries, fixed
c      particles and cylinders (i.e., let x- and y-boundary
c      particles have same values as active particles).
c      laltk = 0
c
c-----lxyz = flag to read in coordinates and velocities for particles
c      = 0 only use coords and velocities of fixed particles
c      = 1 use x,y,z,wx,wy,zz,wx,wy,wz for boundary and fixed particles
c      = 2 use coords & velocities for all particles
c      = 3 use for all particles but do not scale by cell size
c      lxyz = 0
c
c-----tmax = maximum time for entire run
c      note: if tmax.eq.0, then tmax is determined by nmax
c      tmax = 1.
c
c-----dt = time step
c      note: if dt.eq.0, then dt is determined by ntcol
c      dt = 0.
c
c-----dtout = time interval for writing file o3ds (diagnostics)
c      note: if dtout.eq.0, then dtout is determined by nout
c      dtout = 0.
c
c-----dtoutx = time interval for writing file o3dq (x,y,z,quaternions)
c      note: if dtoutx.eq.0, then dtoutx is determined by noutx

```

```

dtoutx = 0.
c
c-----dtoutv = time interval for writing file o3dv (velocities)
c note: if dtoutv.eq.0. then dtoutv is determined by noutv
c dtoutv = 0.
c
c-----dtdump = time interval for writing to dump file.
c note: if dtdump .eq. 0. then dtdump is determined by ndump
c dtdump = 0.
c
c-----tzero = time at which cumulative averaging is restarted
c note: if tzero.eq.0. then tzero is determined by nczero
c tzero = 0.
c
c-----edot = strain rate
c edot = 0.
c
c-----epsv = relative error tolerance for determining packing fraction
c when real boundary particles are used.
c epsv = 0.00001
c
c-----xcell = cell length in x dir.
c xcell = 0.
c
c-----ycell = cell length in y dir.
c ycell = 0.
c
c-----zcell = cell length in z dir.
c zcell = 0.
c
c-----xyrat = ratio of x cell length to y cell length
c xyrat = 1.
c
c-----zyrat = ratio of z cell length to y cell length
c zyrat = 1.
c
c-----pack = packing fraction (must be greater than zero)
c note: if code adds more boundary particles,
c then pack will be modified from input value
c pack = 0.7
c
c-----vave = average initial velocity relative to shear field
c (if vave.eq.0., do not normalize initial velocities).
c vave = 1.
c
c-----vxzero = initial non-deviatoric transl. vel. in x-dir.
c vxzero = 0.
c
c-----vyzero = initial non-deviatoric transl. vel. in y-dir.
c vyzero = 0.
c
c-----vzzero = initial non-deviatoric transl. vel. in z-dir.
c vzzero = 0.
c
c-----initialize angular velocities for active particles (ixyz < 2)
c-----wxzero = initial angular vel. about x-axis
c wxzero = 0.
c
c-----wyzero = initial angular vel. about y-axis
c wyzero = 0.
c

```

```

c-----wzzero = initial angular vel. about z-axis
c wzzero = 0.
c
c-----wzcyl = angular velocity of 1st cylinder (boundary)
c if non-zero, initial or on restart, will override
c wz(1) value
c wzcyl = 0.
c
c-----vseed = seed (between 0. and 1.) for generating a new
c sequence of random initial particle velocities
c vseed = 0.
c
c-----skn1 = normal force coefficient for loading
c skn1 = 1.e+06
c
c-----elast = coefficient of restitution
c if slope is nonzero, elast is not used for
c determining normal force coefficient for unloading;
c but an approximate value of elast must still be input
c for use in calculating the time step, when the input
c value of dt is zero.
c elast = 0.6
c
c-----slope = if slope is nonzero, use alternative method for
c determining normal force coefficient for unloading
c slope = 0.
c
c-----loading and unloading coefficients for collisions between
c active particles and boundary or other fixed particles.
c assign default values of -1.; then after namelist input if they are
c still -1. let sknb = skn1, elastb = elast, and slopeb = slope :
c same for fmb, if = -1. set fmb = fmu
c
c-----sknb = normal force coefficient for loading
c sknb = -1.
c
c-----elastb = coefficient of restitution
c elastb = -1.
c
c-----slopeb = alternative parameter for unloading
c slopeb = -1.
c
c-----dash1 = linear viscous damping coefficient
c dash1 = 0.
c
c-----dash2 = overlap (i.e., 'a') weighted damping coefficient
c dash2 = 0.
c
c-----dash1b = alternative linear damping coef.
c dash1b = -1.
c
c-----dash2b = alternative overlap-weighted damping coef.
c dash2b = -1.
c
c-----ratk = ratio skt0/skn for tangential force calculation
c ratk = 1.
c
c-----fmu = friction coefficient
c fmu = 0.
c
c-----fmb = alternative friction coefficient

```

```

fmb = -1.
c
c-----power = exponent for tangential force calculation
power = 0.
c
c-----rmasz = mass of particle having unit radius
rmasz = 1.
c
c-----tstart = time at which to restart run.
c             if tstart is zero, use final dump when restarting.
c tstart = 0.
c
c-----gravx = acceleration of gravity in the x direction
gravx = 0.
c
c-----gravy = acceleration of gravity in the y direction
gravy = 0.
c
c-----gravz = acceleration of gravity in the z direction
gravz = 0.
c
c-----vxbz0 = velocity in x direction of real boundary at y = zero
c             note: vxbz0 is used only if ireal.gt.0 & nbz0.gt.0 & ixzr.lt.1
vxbz0 = 0.
c
c-----vxbz1 = velocity in x direction of real boundary at y = ycell
c             note: vxbz1 is used only if ireal.gt.0 & nbz1.gt.0 & ixzr.lt.1
vxbz1 = 0.
c
c-----vybz0 = velocity in y direction of real boundary at y = zero
c             note: vybz0 is used only if ireal.gt.0 & nbz0.gt.0 & ixzr.lt.1
vybz0 = 0.
c
c-----vybz1 = velocity in y direction of real boundary at y = ycell
c             note: vybz1 is used only if ireal.gt.0 & nbz1.gt.0 & ixzr.lt.1
vybz1 = 0.
c
c-----vzbz0 = velocity in z direction of real boundary at y = zero
c             note: vzbz0 is used only if ireal.gt.0 & nbz0.gt.0 & ixzr.lt.1
vzbz0 = 0.
c
c-----vzbz1 = velocity in z direction of real boundary at y = ycell
c             note: vzbz1 is used only if ireal.gt.0 & nbz1.gt.0 & ixzr.lt.1
vzbz1 = 0.
c
c-----vxbz0 = velocity in x direction of real boundary at z = zero
c             note: vxbz0 is used only if ireal.gt.0 & nbz0.gt.0 & ixzr.lt.1
vxbz0 = 0.
c
c-----vxbz1 = velocity in x direction of real boundary at z = zcell
c             note: vxbz1 is used only if ireal.gt.0 & nbz1.gt.0 & ixzr.lt.1
vxbz1 = 0.
c
c-----vybz0 = velocity in y direction of real boundary at z = zero
c             note: vybz0 is used only if ireal.gt.0 & nbz0.gt.0 & ixzr.lt.1
vybz0 = 0.
c
c-----vybz1 = velocity in y direction of real boundary at z = zcell
c             note: vybz1 is used only if ireal.gt.0 & nbz1.gt.0 & ixzr.lt.1
vybz1 = 0.

```

```

c
c-----vzbz0 = velocity in z direction of real boundary at z = zero
c             note: vzbz0 is used only if ireal.gt.0 & nbz0.gt.0 & ixzr.lt.1
vzbz0 = 0.
c
c-----vzbz1 = velocity in z direction of real boundary at z = zcell
c             note: vzbz1 is used only if ireal.gt.0 & nbz1.gt.0 & ixzr.lt.1
vzbz1 = 0.
c
c-----search = distance for near-neighbor search
search = 0.
c
c-----xmax = maximum allowable relative x-coordinate
c             if abs(x).gt.xmax*xcell,
c             then move all particles back to primary cell
c             xmax = 5.
c
c-----drradt = rate of increase of particle radii from rad(i) to radz(i)
c             after rad(i) have been set to their maximum values at t = 0.
drradt = 1.
c
c-----ystart = y-coordinate of bottom of first y zone
ystart = 0.
c
c-----ystop = y-coordinate of top of last y zone
c             note: if ystop = -1., then ystop will be set to ycell
c             as soon as the value of ycell has been determined.
ystop = -1.
c
c-----radz(i) = radius of ith particle
do 5 i=1,np
  radz(i) = 1.
5 continue
c
c-----alternate method of inputting particle size and mass data
do 10 i=1,nsgroup
c-----number of particles having radius=radius(i) and mass=mass(i)
c-----added support for dimensioning arbitrary fixed planes
  number(i) = 0
  radius(i) = 0.
  mass(i) = 0.
  planez(i) = 0.
  planez2(i) = 0.
10 continue
c
c-----finis = if finis is nonzero, then namelist input is terminated
finis = 0.
c
c-----input control parameters to over-ride above values
20 continue
read (unit=2,mf=war,err=997,end=25)
  if(finis.eq.0.1) goto 20
c-----error checks
25 if((nrun.gt.0).and.(nrun.ne.nrun)) goto 998
  if(epsv.le.0.) epsv = 1.e-06
  if(nyzone.gt.(nyzone-1))nyzone = nyzone - 1

```

```

c
  return
c
c-----error exits
999 call exit(1)
c
998 write(3,398)
   goto 999
997 write(3,397)
   go to 999
c
201 format(10a9)
397 format(/, " error reading namelist input file, unit 2")
398 format(/, " run number inconsistency")
601 format(10a9)
602 format(60a1)
603 format(3a1)
604 format(13)
c
  end
c
c *****
c * * * * *
c * * * * *
c * * * * *
c * * * * *
c * * * * *
c * * * * *
c * * * * *
c *****
c
  subroutine deleten
  include 's3dscm'
  real*8 rot(3,3)
c
c-----this subroutine loops through all near neighbors in the linked-
c list and deletes contacts that are beyond the maximum distance.
c It is only used when the maximum distance has been reduced to
c save total memory used for near-neighbor storage.
c jdx is pointer for real nos., idx for integers
c
c-----examine all near-neighbor pairs in linked list
do 100 i=1,n1n,lnx
  jdx1 = nbor(i)
  if(jdx1.eq.0) goto 100
  idx1 = i2ori*jdx1 - fiocr0
  jdx = jdx1
  idx = idx1
c
c----- loop thru the i-th particle's linked list
  100 j = ndx(idx)
  if(j.eq.0) goto 100
c
  rsum = rad(i) + rad(j)
c
c-----delta x and delta y
  rx = x(j) - x(i)
  ry = y(j) - y(i)
  rz = z(j) - z(i)
c
c-----cylinders
  if(j.ge. indlcr) rz = 0.
c-----boundary planes

```

```

  if(((j.eq.indly0).and.(nby0.eq.1)).or.
  ((j.eq.indly1).and.(nby1.eq.1))) then
  1 rx = 0.
    rz = 0.
    elseif(((j.eq.indlz0).and.(nbz0.eq.1)).or.
  1 ((j.eq.indlz1).and.(nbz1.eq.1))) then
    rx = 0.
    ry = 0.
    endif
c
  if(ioreal.eq.0) then
c-----find nearest image delta-y
  inty = (ry + ycellh)*ycell1 + 10.
  yshift = inty - 10
  ry = ry - yshift*ycell
c-----shear correction to delta x
  rx = rx - yshift*(edot*tshift - int(edot*tshift))
  endif
c
c-----find nearest image delta x
  intx = (rx + xcellh)*xcell1 + 10.
  intz = intx - 10
  rx = rx - intx*xcell
c
  if(ioreal.lt.2) then
c-----find nearest image delta z
  intz = (rz + zcellh)*zcell1 + 10.
  intz = intz - 10
  rz = rz - intz*zcell
  endif
c
c-----fixed planes
  if((j.ge.indlfxp).and.(j.le.ind2fxp)) then
    xplanh = xplnh(j)
    zplanh = zplnh(j)
c-----rotate coordinate system to make plane horizontal
  call matrot(qold(j),q2old(j),q3old(j),q4old(j),-qold(j),rot)
  rrx = rrx*rot(1,1) + ry*rot(1,2) + rz*rot(1,3)
  rry = rrx*rot(2,1) + ry*rot(2,2) + rz*rot(2,3)
  rrz = rrx*rot(3,1) + ry*rot(3,2) + rz*rot(3,3)
c-----detect borders of plane
  if(abs(rrx).gt.xplanh) then
    rrx = rrx - sign(xplanh,rrx)
  else
    rrx = 0
  endif
  if(abs(rrz).gt.zplanh) then
    rrz = rrz - sign(zplanh,rrz)
  else
    rrz = 0
  endif
c-----rotate back the coordinate system
  call matrot(qold(j),q2old(j),q3old(j),q4old(j),rot)
  rx = rrx*rot(1,1) + rry*rot(1,2) + rrz*rot(1,3)
  ry = rrx*rot(2,1) + rry*rot(2,2) + rrz*rot(2,3)
  rz = rrx*rot(3,1) + rry*rot(3,2) + rrz*rot(3,3)
  endif
c
  rijsq = rx*rx + ry*ry + rz*rz
  rnear2 = (rsum + search)**2
c

```

```

c****      if (rijsq.lt.rnear2) go to 20
            if ((tradj).gt.0.) .and. (rijsq.lt.rnear2) .or.
            > ((tradj).lt.0.) .and. (rijsq.gt.rnear2)) go to 20
c-----delete entry in linked list of i
            if (nebor(i).ne.jdx) goto 15
c
c      this is first entry in i's linked list
            nebor(i) = next(idx)
            next(idx) = mt1
            ndx(idx) = 0
            mt1 = jdx
            jdx1 = nebor(i)
            idx1 = i2or1*jdx1 - ilor0
            jdx = jdx1
            idx = idx1
            if (jdx.eq.0) goto 100
            goto 10
c
c      this is not first entry in i's linked list
15      next1 = next(idx)
            next(idx1) = next1
            ndx(idx) = 0
            mt1 = jdx
            jdx = next1
            idx = i2or1*jdx - ilor0
            next(idx1) = next1
            if (jdx.eq.0) goto 100
            goto 10
c-----
20      continue
            jdx1 = jdx
            idx1 = idx
            jdx = next(idx)
            idx = i2or1*jdx - ilor0
            if (jdx.ne.0) goto 10
100      continue
            return
            end
c
c      ***** * * * * * * * * * * * * * * * * * * * * * * * * * * * * * * * * * * *
c      * * * * * * * * * * * * * * * * * * * * * * * * * * * * * * * * * * *
c      * * * * * * * * * * * * * * * * * * * * * * * * * * * * * * * * * * *
c      * * * * * * * * * * * * * * * * * * * * * * * * * * * * * * * * * * *
c      * * * * * * * * * * * * * * * * * * * * * * * * * * * * * * * * * * *
c      * * * * * * * * * * * * * * * * * * * * * * * * * * * * * * * * * * *
c      * * * * * * * * * * * * * * * * * * * * * * * * * * * * * * * * * * *
c      ***** * * * * * * * * * * * * * * * * * * * * * * * * * * * * * * * * * * *
c
c      subroutine diagmst
c      include 's3dscm'
c-----calculate diagnostics
c
c-----mass average z-rotational velocity and x-, y-, and z-translational
c-----velocities relative to shear for non-boundary particles in cell
            wsum = 0.
            vxsum = 0.
            vyzsum = 0.
            vsum = 0.
            do 3 i=ind1,ind2
                wsum = wsum + mass(i)*wz(i)
                vxsum = vxsum + mass(i)*vx(i) - edot*y(i)
                vyzsum = vyzsum + mass(i)*vy(i)
                vsum = vsum + mass(i)*vz(i)
            3      continue
            wave = wsum/dmass
            vxave = vxsum/dmass
            vyave = vyzsum/dmass
            vzave = vsum/dmass
c
c-----mass average z-rotational velocity and x-, y-, and z-translational
c-----velocities relative to shear for non-boundary particles in cell
c-----in each size group
            ip = 0
            do 7 j=1,ngroup
                gwsum = 0.
                gwmass = 0.
                gwvxsum = 0.
                gwyzsum = 0.
                gwzsum = 0.
                do 5 i=1,number(j)
                    ip = ip + 1
                    gwmass = gwmass + rmass(ip)
                    if (ip.gt.ind2) goto 5
                    gwvxsum = gwvxsum + rmass(ip)*vx(ip)
                    gwvxsum = gwvxsum + rmass(ip)*vx(ip) - edot*y(ip)
                    gwyzsum = gwyzsum + rmass(ip)*vy(ip)
                    gwzsum = gwzsum + rmass(ip)*vz(ip)
                5      continue
                gwave(j) = gwsum/gwmass
                gwvxave(j) = gwvxsum/gwmass
                gwvyave(j) = gwyzsum/gwmass
                gwzave(j) = gwzsum/gwmass
            7      continue
c
            ip = 0
            do 9 j=1,ngroup
                do 8 i=1,number(j)
                    ip = ip + 1
                    if (ip.gt.ind2) goto 8
c-----x-velocity distribution for free particles in particle size group j
                    vdevrx = vx(ip) - edot*y(ip) - gwvxave(j)
                    if (vdevrx.lt.0.) then
                        n = nvelhalf + int(vdevrx*dvixil)
                        if (n.lt.0) n = 1
                    else
                        n = nvelhalf + int(vdevrx*dvixil) + 1
                        if (n.gt.nvel) n = nvel
                    endif
                    gbinvx(n,j) = gbinvx(n,j) + 1.
c-----y-velocity distribution for free particles in particle size group j
                    vdevy = vy(ip) - gwvyave(j)
                    if (vdevy.lt.0.) then
                        n = nvelhalf + int(vdevy*dvilyl)
                        if (n.lt.0) n = 1
                    else
                        n = nvelhalf + int(vdevy*dvilyl) + 1
                        if (n.gt.nvel) n = nvel
                    endif
                    gbivry(n,j) = gbivry(n,j) + 1.
c-----z-velocity distribution for free particles in particle size group j
                    vdevrz = vz(ip) - gwzave(j)

```

```

if(vdevz.lt.0.) then
  n = nvelhalf + int(vdevz*delvzi)
  if(n.lt.0) n = 1
else
  n = nvelhalf + int(vdevz*delvzi) + 1
  if(n.gt.nvel) n = nvel
endif
gbinvz(n,j) = gbinvz(n,j) + 1
c-----special cell diagnostics for multi-size distributions
dgekin(j) = dgekin(j) + rmass(ip)*vdevx**2
  1 + vdevy**2 + vdevz**2
dgerot(j) = dgerot(j) + rmt(ip)*(wx(ip)**2 + wy(ip)**2
  1 + (wz(ip) - gpcase(j))**2)
dgflox(j) = dgflox(j) + rrx(ip) - edot'y(ip)*rmass(ip)
dgfloy(j) = dgfloy(j) + ryl(ip)*rmass(ip)
dgfloc(j) = dgfloc(j) + vz(ip)*rmass(ip)
8 continue
gekin(i) = gekin(i) + half*dgekin(j)*vcelli
gerot(i) = gerot(i) + half*dgerot(j)*vcelli
gflox(i) = gflox(i) + dgflox(j)*vcelli
gfloy(i) = gfloy(i) + dgfloy(j)*vcelli
gfloc(i) = gfloc(i) + dgfloc(j)*vcelli
9 continue
c
isove = 0
do 10 l=ind1,ind2
c-----deviatoric x-, y-, and z-translational velocities in cell
vdevx = vx(i) - edot*y(l) - vsave
vdevy = vy(i) - vsave
vdevz = vz(i) - vsave
c
c-----particle-mass-weighted velocity square
vsq = vdevx**2 + vdevy**2 + vdevz**2
vsq = rmass(i)*vsq
c
c-----sum of particle-mass-weighted velocity squares
dvsqm = dvsqm + vsq
c
c-----deviatoric translational kinetic energy
dekin = dekin + half*vsq
c
c-----kinetic contribution to stress tensor
dpxk = dpxk + rmass(i)*vdevx*vdevx
dpyk = dpyk + rmass(i)*vdevx*vdevy
dpxzk = dpxzk + rmass(i)*vdevx*vdevz
dpyk = dpyk + rmass(i)*vdevy*vdevy
dpyzk = dpyzk + rmass(i)*vdevy*vdevz
dpxzk = dpxzk + rmass(i)*vdevz*vdevz
c
c-----rotational kinetic energy (using wz relative to mean shear rate)
derot = derot + half*rmt(i)*(wx(i)**2
  1 + wy(i)**2 + (wz(i) - wzave)**2)
c
c-----sum of mass-weighted spin angular momenta (using full wz)
dspinx = dspinx + rmass(i)*rmt(i)*wx(i)
dspny = dspny + rmass(i)*rmt(i)*wy(i)
dspinz = dspinz + rmass(i)*rmt(i)*wz(i)
c
c-----save x-velocity distribution information
if(vdevx.lt.0.) then
  n = nvelhalf + int(vdevx*delvxi)
  if(n.lt.0) n = 1
else
  n = nvelhalf + int(vdevx*delvxi) + 1
  if(n.gt.nvel) n = nvel
endif
binvx(n) = binvx(n) + 1
c
c-----save y-velocity distribution information
if(vdevy.lt.0.) then
  n = nvelhalf + int(vdevy*delvyi)
  if(n.lt.0) n = 1
else
  n = nvelhalf + int(vdevy*delvyi) + 1
  if(n.gt.nvel) n = nvel
endif
binvy(n) = binvy(n) + 1
c
c-----save z-velocity distribution information
if(vdevz.lt.0.) then
  n = nvelhalf + int(vdevz*delvzi)
  if(n.lt.0) n = 1
else
  n = nvelhalf + int(vdevz*delvzi) + 1
  if(n.gt.nvel) n = nvel
endif
binvz(n) = binvz(n) + 1
c
c-----save x-angular-velocity distribution information
if(wx(i).lt.0.) then
  n = nvelhalf + int(wx(i)*delwxi)
  if(n.lt.0) n = 1
else
  n = nvelhalf + int(wx(i)*delwxi) + 1
  if(n.gt.nvel) n = nvel
endif
binwx(n) = binwx(n) + 1
c
c-----save y-angular-velocity distribution information
if(wy(i).lt.0.) then
  n = nvelhalf + int(wy(i)*delwyi)
  if(n.lt.0) n = 1
else
  n = nvelhalf + int(wy(i)*delwyi) + 1
  if(n.gt.nvel) n = nvel
endif
binwy(n) = binwy(n) + 1
c
c-----save i-angular-velocity distribution (using full wz)
if(wz(i).lt.0.) then
  n = nvelhalf + int(wz(i)*delwzi)
  if(n.lt.0) n = 1
else
  n = nvelhalf + int(wz(i)*delwzi) + 1
  if(n.gt.nvel) n = nvel
endif
binwz(n) = binwz(n) + 1
c
c
c-----x-translational velocities for pos and neg parts of particle
vpx(i) = vx(i) - edot*yshft(i)
vnx(i) = vx(i) - edot*yshft(i)

```



```

c
c-----sum of mass-weighted x-translational velocities in y zone
yxv(npos(i)) = yvx(npos(i)) + rpos(i)*rmas(i)*vx(i)
yxv(nneg(i)) = yvx(nneg(i)) + rneg(i)*rmas(i)*vx(i)
c
c-----sum of mass-weighted z-rotational velocities in y zone
yzv(npos(i)) = yzv(npos(i)) + rpos(i)*rmas(i)*wz(i)
yzv(nneg(i)) = yzv(nneg(i)) + rneg(i)*rmas(i)*wz(i)
c
c-----total mass in y zone
dymass(npos(i)) = dymass(npos(i)) + rpos(i)*rmas(i)
dymass(nneg(i)) = dymass(nneg(i)) + rneg(i)*rmas(i)
10 continue
c
c-----equivalent stress tensor components (kinetic)
dpyrk = dpyrk
dpxrk = dpxrk
dpyrk = dpyrk
c
c-----cumulative compressibility factor: (3p)/(2e)
comp = comp + (dpxrk*dpxrk + dpyrk*dpyrk
1 + dpxzk*dpxzk)/(two*dekin + trifle)
c
c-----cumulative viscosity
visc = visc - half*(dpyrk*dpyrk + dpxrk*dpxrk)*vcelli*edot1
c
c
do 20 i=1,nyzone
c-----total x momentum in cell
dxcen = dxcen + yvx(i)
c-----total x momentum in y zone
dycen(i) = yvx(i)
c-----mass-averaged x-translational velocity in y zone
yxv(i) = yvx(i)/(dymass(i) + trifle)
c-----mass-averaged z-rotational velocity in y zone
yzv(i) = yzv(i)/(dymass(i) + trifle)
20 continue
c
c-----increment other cumulative diagnostics
mass = mass + dmass
vsqr = vsqr + dvsqr
xcen = xcen + dxcen
spnx = spnx + dspnx
spzy = spzy + dspzy
spnz = spnz + dspnz
ekin = ekin + dekin*vcelli
epot = epot + depot*vcelli
erot = erot + derot*vcelli
do 25 i=1,9
pnrk(i) = pnrk(i) + dpnrk(i)*vcelli
pnrp(i) = pnrp(i) + dpnrp(i)*vcelli
25 continue
pnrwall = pnrwall + dpnrwall
pnywall = pnywall + dpnywall
pnzwall = pnzwall + dpnzwall
c
c
c
c-----
c-----

```

```

c***** zone diagnostics may be in error if fixed particles in cell
c-----
c-----
c-----
c----- if (.infix.gt.0).or.(infzpl.gt.0).or.(nrcyl.gt.0) return
c-----
c-----calculate diagnostics for y zones only if nfix & nfxpl & nrcyl are zero
c
c-----check for zones having no particles
if(!real.eq.0) then
c-----for periodic boundaries
do 50 i=1,nyzone
if(dymass(i).gt.0.) goto 50
c-----zone i has no particles
yabove = 0.
ybelow = 0.
c-----find first zone below zone i that has particles
do 30 j=1,nyzone-1
ybelow = ybelow - dyzone
jbelow = j - j
c-----determine yshift
if (ybelow.lt.-1) then
jbelow = jbelow + nyzone
yshift = ycell
else
yshift = 0.
endif
c-----are there particles in zone jbelow
if(dymass(jbelow).gt.0.) then
ybelow = yvx(jbelow) - edot*yshift
go to 31
endif
30 continue
c
c-----find first zone above zone i that has particles
31 do 40 j=1,nyzone-1
yabove = yabove + dyzone
jabove = i + j
c-----determine yshift
if(jabove.gt.nyzone) then
jabove = jabove - nyzone
yshift = ycell
else
yshift = 0.
endif
c-----are there particles in zone jabove
if(dymass(jabove).gt.0.) then
yabove = yvx(jabove) + edot*yshift
go to 41
endif
40 continue
41 continue
c-----now interpolate to find velocity in zone i
yxv(i) = ybelow - ybelow*(yabove - ybelow)/(yabove - ybelow)
50 continue
else
c-----for real boundaries
do 120 i=1,nyzone
if(dymass(i).gt.0.) goto 120
c-----zone i has no particles
yabove = 0.
ybelow = 0.

```

```

      jabove = 0
      jbelow = 0
c-----find first zone with particles below zone i
      do 70 j=1,1,1
        jbelow = jbelow - dzzone
        if(dymass(j).gt.0.) then
          jbelow = j
          vbelow = yrx(j)
          go to 71
        endif
      70 continue
c-----find first zone with particles above zone i
      71 do 80 j=i+1,nyzone
        jabove = jabove + dzzone
        if(dymass(j).gt.0.) then
          jabove = j
          vabove = yrx(j)
          go to 81
        endif
      80 continue
      81 if((jbelow.ne.0).and.(jabove.ne.0)) then
c-----interpolate to find average velocity at zone i
        yrx(i) = vbelow - ybelow*(vabove - vbelow)/(jabove - jbelow)
        elseif(jbelow.eq.0) then
          vbelow = jabove
c-----find another zone with particles above jabove
          do 90 j=jabove+1,nyzone
            jbelow = jbelow + dzzone
            if(dymass(j).gt.0.) then
              jbelow = j
              vbelow = yrx(j)
              go to 91
            endif
          90 continue
          91 if(jabove.lt.jbelow) then
c-----extrapolate from above to find average velocity at zone i
            yrx(i) = vbelow - ybelow*(vabove - vbelow)/(jabove - jbelow)
            else
c-----no zones with particles found above or below jabove
            yrx(i) = yrx(jabove)
          endif
        else
c-----jabove.eq.0
          jabove = jbelow
c-----find another zone with particles below jbelow
          do 100 j=jbelow-1,1,-1
            jabove = jabove - dzzone
            if(dymass(j).gt.0.) then
              jabove = j
              vabove = yrx(j)
              go to 101
            endif
          100 continue
          101 if(jbelow.gt.jabove) then
c-----extrapolate from below to find average velocity at zone i
            yrx(i) = vbelow - ybelow*(vabove - vbelow)/(jabove - jbelow)
            else
c-----no zones with particles found above or below jbelow
            yrx(i) = yrx(jbelow)
          endif
        endif
      endif

```

```

120 continue
c
      endif
c
c
c
c-----calculate strain rate in y zone
c-----note: the strain rate is based on extrapolated or interpolated
c      x velocities for those zones that do not contain particles.
c      the diagnostic x velocities, on the other hand, are based only
c      on the actual mass present in the zone, with no contributions
c      when no particles are present.
      if(nyzone.eq.1) then
        dyedot(1) = edot
      else
        dyedot(1) = yfact*(yrx(2) - yrx(nminus)
          + ycell*edot)*dyzoni
        dyedot(nyzone) = yfact*(yrx(nplus) - yrx(nyzone-1)
          + ycell*edot)*dyzoni
        do 130 i=2,nyzone-1
          dyedot(i) = half*(yrx(i+1) - yrx(i-1))*dyzoni
        130 continue
      endif
c
c-----calculate other y-zone diagnostics
      do 140 i=ind1,ind2
c
c-----for rpos(i):
c-----x velocity relative to average velocity in y zone
        vdevx = vpx(i) - yrx(npos(i))
c
c-----particle-mass-weighted velocity square
        vsq = rpos(i)*rmass(i)*vdevx**2 + vy(i)**2 + vz(i)**2
c
c-----sum of particle-mass-weighted velocity squares
        dyvsn(npos(i)) = dyvsn(npos(i)) + vsq
c
c-----deviatoric translational kinetic energy in y zone
        dyekin(npos(i)) = dyekin(npos(i)) + half*vsq
c
c-----kinetic contribution to stress tensor in y zone
        dypxk(npos(i)) = dypxk(npos(i)) + rpos(i)*rmass(i)*vdevx*vdevx
        dyypyk(npos(i)) = dyypyk(npos(i)) + rpos(i)*rmass(i)*vdevx*vy(i)
        dyyzk(npos(i)) = dyyzk(npos(i)) + rpos(i)*rmass(i)*vdevx*vz(i)
        dyyyk(npos(i)) = dyyyk(npos(i)) + rpos(i)*rmass(i)*vy(i)*vy(i)
        dyyyz(npos(i)) = dyyyz(npos(i)) + rpos(i)*rmass(i)*vy(i)*vz(i)
        dyyzzk(npos(i)) = dyyzzk(npos(i)) + rpos(i)*rmass(i)*vz(i)*vz(i)
c
c-----rotational kinetic energy for y zone
c      (using wz relative to mean wz in y zone)
        dyerot(npos(i)) = dyerot(npos(i)) + rpos(i)*half*rmnt(i)
          *(wx(i)**2 + wy(i)**2 + (wz(i) - yzmi(npos(i)))**2)
c
c-----mass-weighted spin angular momentum for y zone (using full wz)
        dyspin(npos(i)) = dyspin(npos(i))
          + rpos(i)*rmass(i)*rmnt(i)*wx(i)
        dyspny(npos(i)) = dyspny(npos(i))
          + rpos(i)*rmass(i)*rmnt(i)*wy(i)
        dyspnz(npos(i)) = dyspnz(npos(i))
          + rpos(i)*rmass(i)*rmnt(i)*wz(i)
c

```



```

c-----read the block lengths for data in the file.
  read(4,iostat=iCHECK,err=997) lenC,last1,lenf,illu,llu
  if(iCHECK.ne.0) goto 997
  if((lenC.ne.LENCHR).or.(last1.ne.iLAST1)).or.(lenf.ne.LENFP))
  >                               goto 995
c
c
c-----read characters from dumpfile
  illused = illu
  llused = llu
  read(4,iostat=iCHECK,err=997) (oldtbl(1),1-1),lenchr
  if(iCHECK.ne.0) goto 997
c-----read linklist variables from dumpfile
  read(4,iostat=iCHECK,err=997) (ndx(1),1-1),illused
  if(iCHECK.ne.0) goto 997
c-----read scm common variables from the final dump
  read(4,iostat=iCHECK,err=997) (firstsc(1),1-1),lenfp
  if(iCHECK.ne.0) goto 997
c
c-----close the current dump file.
  close(4)
c
c-----dump interval
  if(dtDumpl.le.0.) then
    if(ndumpl.gt.0) then
      dtDumpl = tmax1/ndumpl
    else
      dtDumpl = tmax1/ndump
      ndumpl = ndump
    endif
  else
    ndumpl = int((tmax1 - t + dt)/dtDumpl + trifile)
    endif
c
c-----Print-out intervals
  if(dtout1.le.0.) then
    if(nout1.gt.0) then
      dtout1 = (tmax1 - t + dt)/nout1
    else
      dtout1 = 0.0
      nout1 = 0
    endif
  else
    nout1 = int((tmax1 - t + dt)/dtout1 + trifile)
    endif
c-----time interval for writing file c3dx (x,y,z,quaternions)
  if(dtoutx1.le.0.) then
    if(noutx1.gt.0) then
      dtoutx1 = (tmax1 - t + dt)/noutx1
      noutx1 = int((tmax1 - t + dt)/dtoutx1 + trifile)
    else
      dtoutx1 = 0.
      noutx1 = 0
    endif
  else
    noutx1 = int((tmax1 - t + dt)/dtoutx1 + trifile)
    endif
c
c-----time interval for writing file c3dv (velocities)
  if(dtoutv1.le.0.) then

```

```

  if(noutv1.gt.0) then
    dtoutv1 = (tmax1 - t + dt)/noutv1
    noutv1 = int((tmax1 - t + dt)/dtoutv1 + trifile)
  else
    dtoutv1 = 0.
    noutv1 = 0
  endif
else
  noutv1 = int((tmax1 - t + dt)/dtoutv1 + trifile)
endif
c
c-----replace old values of tmax, istart, dtout, tstart, dtDumpl with current ones.
  tmax = tmax1
  istart = istart1
  tstart = tstart1
  nout = nout1
  dtout = dtout1
  ndump = ndumpl
  dtDumpl = dtDumpl
  nrun = nrun1
  tzero = tzero1
  nczero = nczero1
  dtoutx = dtoutx1
  noutx = noutx1
  dtoutv = dtoutv1
  noutv = noutv1
  fmu = fmu1
  fmuB = fmuB1
  wzcyl = wzcyl1
  if((nacy1.ge.1).and.(wzcyl.ne.0.)) then
    wz(indicZ) = wzcyl
    whr(indicZ) = wzcyl
  endif
c
c-----reinitializations
  nmax = 0
  istep = 0
c
c return
c
600 format("d3ds",i3)
601 format(a7)
999 if(lvers.eq.1) then
  call exit(1)
else
  stop
endif
c-----error message if dump file does not exist
997 write(3,397) filed
goto 999
c
c-----error message if at end of dump file.
996 write(3,396) filed
goto 999
995 write(3,395) lenC,lenchr,last1,iLAST1,lenf,lenfp
goto 999
c
395 format(" incompatible dump file, check code version",/,
> " length chars, file=",i9," code="",i9,,/

```

```

> = length linklist, file=","i9," code=","i9,/,
> = length common, file=","i9," code=","i9)
396 format("end of dump file",a10)
397 format(a10,"file does not exist")
c
end
c
c *****
c *
c *
c *
c *
c *****
c
subroutine euler(qq1,qq2,qq3,qq4,theta,phi,psi)
c-----this subroutine converts the four quaternions, q1, q2, q3, q4
c
c to Eulers angles, with 0 < theta < pi
c 0 < phi, psi < 2*pi
c
c references for definitions of quaternions:
c (Whittaker, Analytical Dynamics, 1937, Cambridge U.Press) also:
c (Evans & Murad, Mol. Phys., 34,p.327 (1977); also:
c Evans, Mol.Phys., 34, p317 (1977))
c q1 = xi, q2 = eta, q3 = zeta, q4 = chi
c (These quaternions differ from those in Allen & Tildesley, 1987)
c
c Euler angles are those of:
c (Goldstein, Classical Mechanics, 1980, Addison-Wesley),
c
c The rotation matrix from lab to principal body frame is given by:
c (-q1*q1+q2*q2-q3*q3+q4*q4, 2*(q3*q1-q1*q2), 2*(q2*q3+q1*q4) |
c A (-2*(q1*q2+q3*q4), q1*q1-q2*q2-q3*q3+q4*q4, 2*(q2*q4-q1*q3) |
c ( 2*(q2*q3-q1*q4), -2*(q1*q3+q2*q4), -q1*q1-q2*q2+q3*q3+q4*q4) |
c
c
implicit real*8 (a-h,o-z)
data initial/0/
if(initial.eq.0)then
initial = 1
one = 1.
two = 2.
four = 4.
half = 0.5
small = 1.e-10
trifle = 1.e-15
pi = four*atan(one)
twopi = two*pi
halfpi = half*pi
endif
c-----use local variables
q1 = qq1
q2 = qq2
q3 = qq3
q4 = qq4
c-----check input quaternions
if(abs(q1).lt.trifle) q1 = 0.
if(abs(q2).lt.trifle) q2 = 0.

```

```

if(abs(q3).lt.trifle) q3 = 0.
if(abs(q4).lt.trifle) q4 = 0.
if((q1.eq.0.).and.(q2.eq.0.).and.(q3.eq.0.).and.(q4.eq.0.))goto 99
c-----normalize quaternions
qnorm = one/sqrt(q1*q1 + q2*q2 + q3*q3 + q4*q4)
q1 = q1*qnorm
q2 = q2*qnorm
q3 = q3*qnorm
q4 = q4*qnorm

c-----
c-----
costheta = q4*q4 - q2*q2 - q1*q1 + q3*q3
sintheta = two*sqrt((q1*q1 + q2*q2)*(q3*q3 + q4*q4))
if(abs(costheta).gt.0.9) then
theta = asin(sintheta)
if(costheta.lt.0.) theta = pi - theta
if(theta.lt.0.) theta = 0.
if(theta.gt.pi) theta = pi
else
theta = acos(costheta)
endif
if(sintheta.lt.small) then
c-----phi and psi for theta near zero or pi
phi = 0.
if(theta.lt.halfpi) then
c-----theta near zero
halfpsi = angle(q3,q4)
psi = two*halfpsi
if(psi.gt.twopi) psi = psi - twopi
else
c-----theta near pi
halfpsi = angle(q1,q2)
psi = two*halfpsi
if(psi.gt.twopi) psi = psi - twopi
c-----
for some obscure reason the following line is needed
if(q1.lt.0.) psi = twopi - psi
endif
else
c-----psi for theta not near zero or pi
sinphi = two*(q2*q3 - q1*q4)/sintheta
cosphi = two*(q4*q2 + q1*q3)/sintheta
phi = angle(sinphi,cosphi)
c-----psi for theta not near zero or pi
sinpsi = two*(q1*q1 + q2*q3)/sintheta
cospsi = two*(q1*q2 - q1*q3)/sintheta
psi = angle(sinpsi,cospsi)
endif
return
99 write(*,*)' error subroutine quatern, all values zero, exit'
call exit(0)
end

```



```

      irad = 0
      iextra = 0
      dmax = 0

c
c-----save parameters needed for actual run
      xskn1 = skn1
      xskn1b = skn1b
      xskn2 = skn2
      xskn2b = skn2b
      xslope = slope
      xslopeb = slopeb
      xfm = fma
      xfmub = fmb
      xedot = edot
      xedoti = edoti
      libertz = lbertz

c
c-----parameters needed for radii expansion
      skn1 = 0.1*rcassy/(dt*dt)
      skn1b = skn1
      skn2 = skn1
      skn2b = skn1
      slope = 0.
      slopeb = 0.
      frw = 0.
      fmb = 0.
      edot = 0.
      edoti = 0.
      lbertz = 0

c
      do 10 i=1,np
c-----save initial translational velocities
      tvx(i) = vx(i)
      tvy(i) = vy(i)
      tvz(i) = vz(i)
c-----set translational velocities to zero for radii expansion
      vx(i) = 0.
      vy(i) = 0.
      vz(i) = 0.
c-----maximum allowable radii at time zero
      radmax(i) = huge
10  continue
c
c-----find maximum allowable particle radii at time zero
c
      do 20 i=ind1,ind2-1
      do 20 j=i+1,ind2
          rsum = rad(i) + rad(j)
c
c-----delta x and delta y
      rx = x(j) - x(i)
      ry = y(j) - y(i)
      rz = z(j) - z(i)
c
      if(ireal.eq.0) then
c-----find nearest image delta-y
          yshift = ycell*int(ry*yccell1)
          ry = ry - yshift
          if(abs(ry).gt.ycell1h) then
              ydel = sign(yccell,ry)
              ry = ry - ydel
          yshift = yshift + ydel
          endif
c-----shear correction to delta x
          rx = rx - yshift*edot*tshift - int(edot*tshift)
          endif
c
c-----find nearest image delta x
          rx = rx - xcell*int(rx*xcell1)
          if(abs(rx).gt.xcell1h) rx = rx - sign(xcell,rx)
c
          if(ireal.lt.2) then
c-----find nearest image delta z
              rz = rz - xcell*int(rz*xcell1)
              if(abs(rz).gt.xcell1h) rz = rz - sign(xcell,rz)
              endif
c
c-----square of distance between centers
              rijsq = rx*rx + ry*ry + rz*rz
c
c-----distance between centers
              rij = sqrt(rijsq)
c
c-----maximum allowable radii
              radmax(i) = min(radmax(i),rij*radz(i)/(radz(i) + radz(j)))
              radmax(j) = min(radmax(j),rij*radz(j)/(radz(i) + radz(j)))
20  continue
c
      do 30 i=ind1,ind2
          if(irad(i).eq.radz(i)) goto 30
          rad(i) = max(rad(i), radmax(i))
          rad(i) = min(rad(i), radz(i))
30  continue
c
c      call update
c
40  continue
c-----increase rad(i) until it equals radz(i)
      do 50 i=ind1,ind2
          if(rad(i).eq.radz(i)) goto 50
          rad(i) = rad(i) + dradzt*dt
          rad(i) = min(rad(i), radz(i))
          irad = 1
50  continue
c
c-----update linked list of near neighbors
      delrup = delrup + dmax + dradzt*dt
      if(delrup.gt.half*search) call update
c
      if((irad.eq.1).or.(iextra.lt.100)) then
c-----continue adjusting particle coordinates
c
c-----do a few extra cycles of integration, even after rad(i) reach radz(i)
          if(irad.eq.0) iextra = iextra + 1
c
c-----initialize for another integration step
          call in1step
c
c-----calculate interparticle forces
          call forces
c
c-----integration of velocity equations to solve for vx, vy, and vz

```



```

10  j = ndx(idz)
    if(j.eq.0) goto 100
    nat = next(idz)
c
c      rsum = rad(l) + rad(j)
      rsum2 = rsum*rsum
      signrj = rad(j)/abs(rad(j))
c
c-----coordinate and velocity differences
      rx = x(j) - x(l)
      ry = y(j) - y(l)
      rz = z(j) - z(l)
c
c-----cylinders
      if(j.ge.indlcrz) rz = 0.
c-----boundary planes
      if(((j.eq.indly0).and.(nby0.eq.1)).or.
1      ((j.eq.indly1).and.(nby1.eq.1))) then
          if(((j.eq.indly1).and.(lmirr.eq.1)) then
c-----mirror on yzcell
              rsum = rad(l) + rad(l)
              rsum2 = rsum*rsum
              ry = 2.*ry - rad(j)*brown(i)
              dx(j) = dx(i)
              dy(j) = -dy(l)
              dz(j) = dz(l)
              vx(j) = vx(l)
              vy(j) = -vy(l)
              vz(j) = vz(l)
              whx(j) = -whx(i)
              why(j) = why(i)
              whz(j) = -whz(i)
              endif
              rx = 0.
              rz = 0.
          elseif(((j.eq.indiz0).and.(nbz0.eq.1)).or.
1          ((j.eq.indiz1).and.(nbz1.eq.1))) then
              rx = 0.
              ry = 0.
              endif
c
c      if(lreal.eq.0) then
c-----find nearest image delta-y
          inty = (ry + ycellh)*ycell1 + 10.
          yshift = inty - 10
          ry = ry - yshift*ycell
c
c-----shear correction to delta x and delta vx
          rx = rx - yshift*(edot*tshift - int(edot*tshift))
          else
          yshift = 0.
          endif
c
c-----find nearest image delta x
          intx = (rx + xcellh)*xcell1 + 10.
          intx = intx - 10
          rx = rx - intx*xcell
c
c      if(lreal.lt.2) then
c-----find nearest image delta z
          intz = (rz + xcellh)*zcell1 + 10.

```

```

          intz = intz - 10
          rz = rz - intz*zcell
          endif
c
c-----fixed planes
          if((j.ge.indlfxp).and.(j.le.ind2fxp)) then
              xplanh = xplanh(j)
              zplanh = zplanh(j)
c-----rotate coordinate system to make plane horizontal
              call matrot(qold(j),q2old(j),q3old(j),q4old(j),rot)
              rrx = rx*rot(1,1) + ry*rot(1,2) + rz*rot(1,3)
              rry = rx*rot(2,1) + ry*rot(2,2) + rz*rot(2,3)
              rrz = rx*rot(3,1) + ry*rot(3,2) + rz*rot(3,3)
c-----detect borders of plane
              if(abs(rrx).gt.xplanh) then
                  rrx = rrx - sign(xplanh,rrx)
              else
                  rrx = 0
              endif
              if(abs(rrz).gt.zplanh) then
                  rrz = rrz - sign(zplanh,rrz)
              else
                  rrz = 0
              endif
c-----rotate back the coordinate system
              call matrot(qold(j),q2old(j),q3old(j),q4old(j),rot)
              rx = rrx*rot(1,1) + rry*rot(1,2) + rrz*rot(1,3)
              ry = rrx*rot(2,1) + rry*rot(2,2) + rrz*rot(2,3)
              rz = rrx*rot(3,1) + rry*rot(3,2) + rrz*rot(3,3)
              endif
c
          rijsq = rx*rx + ry*ry + rz*rz
          rnear2 = (rsum + search)**2
c
c
c-----hertz model or partially latching spring model (orw)
          if(signrj*rijsq.gt.signrj*rsum2) then
c-----no contact
              if(signrj*rijsq.gt.signrj*rnear2) then
c----- delete entry in linked list of i
                  if(nbor(i).ne.jxk) goto 15
c
c      this is first entry in i's linked list
              nbor(i) = next(idz)
              next(idz) = ntl
              ndx(idz) = 0
              ntl = jdx
              jdx1 = nbor(i)
              idx1 = i2ori*jdx1 - ilor0
              jdx = jdx1
              idz = idz1
              if(jdx.eq.0) goto 100
              goto 10
c
c      this is not first entry in i's linked list
              nxt1 = next(idz)
              next(idz) = ntl
              ndx(idz) = 0
              ntl = jdx
              jdx = nxt1

```

```

idx = l2or1*jdx - ilor0
next(idxl) = next1
if(jdx.eq.0) goto 100
goto 10

```

```

-----
endif
  if(a(jdx).eq.0.) go to 90
  a(jdx) = 0.
  a0(jdx) = 0.
  fn(jdx) = 0.
  tfx(jdx) = 0.
  tfy(jdx) = 0.
  tfz(jdx) = 0.
  tm(jdx) = 0.
  goto 90
endif

```

```

c
c-----contact
  rij = sigmrj*sqrt(rijsq)
  dxr = dx(j) - dx(l) - yshift*edot*dt
  dry = dy(j) - dy(l)
  dzr = dz(j) - dz(l)
  aa = rsum - rij
  aold = a(jdx)
  haave = fourth*(aa + aold)
  a(jdx) = aa
  rijl = 1./rij
  xk = rx*rijl
  yk = ry*rijl
  zk = rz*rijl

```

```

c
  vx = vx(j) - vx(l) - yshift*edot
  vy = vy(j) - vy(l)
  vz = vz(j) - vz(l)

```

```

c
  adot = -(vxr*xk + vry*yk + vrz*zk)
  fnold = fn(jdx)

```

```

c
c-----increment total collision count
  if(aold.eq.0.) totcol = totcol + 1.

```

```

c
c-----normal force
c  select appropriate force parameters (primary or alternate values)
c

```

```

  if(ialt.le.0) then
c-----apply alternative k values to active/boundary collision
    if(j.gt.nds2) then
c-----collision between active particle and other fixed particle

```

```

      skln = skn1b
      skn2n = skn2b
      slopen = slopeb
      fmn = fmb
      dsh1 = dash1b
      dsh2 = dash2b
      rest = elastb
    else

```

```

c-----collision between two active particles
      skln = skn1
      skn2n = skn2
      fmn = fmb
      slopen = slope

```

```

      dsh1 = dash1
      dsh2 = dash2
      rest = elast
    endif
  else

```

```

c-----apply alternative k values to active/active collisions if both
c  particles are outside of size group 1
  if((l.gt.number(1)).and.(j.gt.number(1))) then
c-----both active particles are outside of group 1

```

```

      skln = skn1b
      slopen = slopeb
      skn2n = skn2b
      fmn = fmb
      dsh1 = dash1b
      dsh2 = dash2b
      rest = elastb
    else

```

```

c-----one or both of the active particles are in group 1
      skln = skn1
      slopen = slope
      skn2n = skn2
      fmn = fmb
      dsh1 = dash1
      dsh2 = dash2
      rest = elast
    endif
  endif

```

```

c
c  if(lihertz.eq.1) then

```

```

c
c*****hertz 3/2 power law force *****
  aroot = sqrt(aa)
  fhtz = skln*aa*aroot
  skt0 = threehf*skln*aroot*ratk
  ddepot = twosths*fhtz*aa
  fdash2 = aa*dsh2*adot

```

```

c
c-----modified hysteretic hertz-like model with fixed coefficient
c  of restitution, based on input value of 'elast' (8/15/89).

```

```

c
  if(rest.lt.one) then
    ap = aa - a0(jdx)
    if(ap.le.0.0) then
c-----zero force, define new reloading path
      a0(jdx) = aa
      goto 30
    endif

```

```

    aprot = sqrt(ap)
    fhtzp = skn2n*ap*aprot

```

```

c
  if(fhtz.lt.fhtzp) then
    fhtz = fhtzp
    ddepot = twosths*fhtzp*ap
    skt0 = threehf*skn2n*aprot*ratk
    fdash2 = ap*dsh2*adot/(rest*rest)
  else

```

```

c-----define new unloading path from current location
    a0(jdx) = aa*(one - rest*rest)
  endif

```

```

c

```

```

        endif
        fnlj = fntz
c-----end hertz-----
    else
c-----partially latching spring model-----
        if(slopen.ne.0.) then
            a0s = slopen*a0(jdx)
            skn2n = half*sknln*(2. + a0s + sqrt(a0s*(4. + a0s)))
            endif
c-----new normal force
            fnlj = sknln*as
            ap = aa - a0(jdx)
            fnljp = skn2n*ap
c-----set tangential stiffness to ratk times normal stiffness
            if(fnljp.lt.fnlj) then
                fnlj = fnljp
                skt0 = skn2n*ratk
                fdash2 = ap*dsh2*adot*skn2n/sknln
            else
                skt0 = sknln*ratk
                fdash2 = aa*dsh2*adot
                a0(jdx) = aa - fnlj/skn2n
            endif
c
            if(fnlj.le.0.) then
                a0(jdx) = aa
c----- zero out forces
                goto 30
            endif
c
            ddepot = half*fnlj*(aa - a0(jdx))
c-----end latching spring model-----
            endif
c-----add velocity dependent forces, do not allow tensile forces
            fdashn = dshl*adot + fdash2
            fntot = fnlj + fdashn
            if(fntot.gt.0.) go to 35
c----- zero out forces
            30
                fn(jdx) = 0.
                tfx(jdx) = 0.
                tfy(jdx) = 0.
                tfz(jdx) = 0.
                tn(jdx) = 0.
                goto 80
c
            35
                fn(jdx) = fntot
c
c-----tangential force
c-----check against maximum friction force
                ftnax = fmn*fntot
                if(ftnax.le.0.) then
                    ftlx = 0.
                    ftly = 0.
                    ftlz = 0.
                endif

```

```

                tfx(jdx) = 0.
                tfy(jdx) = 0.
                tfz(jdx) = 0.
                tn(jdx) = 0.
                goto 40
            endif
c-----project old tangential force onto current tangent plane
            dotck = xk*tfz(jdx) + yk*tfy(jdx) + zk*tfx(jdx)
            tpx = tfx(jdx) - xk*dotck
            tpy = tfy(jdx) - yk*dotck
            tzp = tfz(jdx) - zk*dotck
c-----normalize to old magnitude
            tfsq = tfx(jdx)*tfx(jdx) + tfy(jdx)*tfy(jdx) + tfz(jdx)*tfz(jdx)
            tf = sqrt(tfsq)
            tpsq = tpx*tpx + tpy*tpy + tzp*tzp
            if(tpsq.gt.0.) then
                tfp = sqrt(tpsq)
                scf = tf/tp
            else
                scf = 1.0
            endif
            txp = tpx*scf
            tpy = tpy*scf
            tzp = tzp*scf
c-----determine unit vector in tangential force direction
            if(tf.gt.0.) then
                tfi = 1./tf
            else
                tfi = 0.0
            endif
            tx = txp*tfi
            ty = tpy*tfi
            tz = tzp*tfi
c-----determine slip projected onto plane
            dotdkr = xk*dkx + yk*dry + zk*drz
            rlave = radii1 - haave
            rjave = radij1 - haave
            dsx = drx - xk*dotdkr - (rlave*(why(i)*zk - whz(i)*yk) +
            1
                rjave*(why(j)*zk - whz(j)*yk))*dt
            dsy = dry - yk*dotdkr - (rlave*(whz(i)*zk - whx(i)*zk) +
            1
                rjave*(whz(j)*zk - whx(j)*zk))*dt
            dsz = drz - zk*dotdkr - (rlave*(whx(i)*yk - why(i)*xk) +
            1
                rjave*(whx(j)*yk - why(j)*xk))*dt
c-----determine component parallel to tf
            dotdstf = tx*dsx + ty*dsy + tz*dsz
c-----detect change in direction of sliding (magnitude of tf)
            tmx = tn(jdx)
            deltf = tf - tmx
            if((dotdstf.gt.0.)and.(delft.lt.0.)) tmx = tf
            if((dotdstf.lt.0.)and.(delft.gt.0.)) tmx = tf
c-----scale max or min tangential force by change in normal force
            if(fnold.gt.0.) then
                fratio = fntot/fnold
            else
                fratio = 1.
            endif

```

```

endif
tax = tnx*fratio

c-----check against max friction limit
tf = min(tf,ftmax)
tax = sign(min(abs( tnx ),ftmax), tnx)

c-----determine current stiffness for tangential force
scalek = 1.
if(power.ne.0.) then
  denom = sign(ftmax,dotdssf) - tnx
  if(denom.ne.0.) then
    scalek = 1. - (tf-tnx)/denom
  if((power.ne.1.) .and. (scalek.gt.trifle)) scalek = scalek**power
endif
endif
sktc = skt0*scalek

c
c-----determine if shear strain went through zero
if(sktc*dotdssf.lt. -cf) tnx = -tnx
tax(jdx) = tnx

c
c-----scale components of old force if magnitude changed by friction limit
scf = 1.
if(ftsq.gt.0.) scf = sqrt(tf*tf/ftsq)
txp = scf*txp
txy = scf*txy
txz = scf*txz

c
c-----determine displacement perpendicular to old force (in plane)
dsxp = dsx - tx*dotdssf
dsyp = dsy - ty*dotdssf
dszp = dsz - tz*dotdssf

c
c-----determine new tangential friction force
ftijx = txp + tx*sktc*dotdssf + skt0*dsxp
ftijy = txy + ty*sktc*dotdssf + skt0*dsyp
ftijz = txz + tz*sktc*dotdssf + skt0*dszp

c-----normalize to friction limit ...
ftsq = ftijx*ftijx + ftijy*ftijy + ftijz*ftijz
if(ftsq.ne.0.) then
  ftij = sqrt(ftsq)
  ftij = min(ftij,ftmax)
  scf = sqrt(ftij*ftij/ftsq)
  ftijx = scf*ftijx
  ftijy = scf*ftijy
  ftijz = scf*ftijz
endif
tx(jdx) = ftijx
ty(jdy) = ftijy
tz(jdz) = ftijz

c
c#####
c
c-----total force
c
40 continue
ftotx = fntot*xk - ftijx
fx(i) = fx(i) - ftotx
fx(j) = fx(j) + ftotx

ftoty = fntot*yk - ftijy
fy(i) = fy(i) - ftoty
fy(j) = fy(j) + ftoty

ftotz = fntot*zk - ftijz
fz(i) = fz(i) - ftotz
fz(j) = fz(j) + ftotz

c
c-----calculate torque on each particle (r x f)
qx = yk*ftijz - zk*ftijy
qy = zk*ftijx - xk*ftijz
qz = xk*ftijy - yk*ftijx
ri = rad(i) - half*aa
rj = rad(j) - half*aa
ftx(i) = ftx(i) + ri*qx
ftx(j) = ftx(j) + rj*qx
fyy(i) = fyy(i) + ri*qy
fyy(j) = fyy(j) + rj*qy
fyz(i) = fyz(i) + ri*qz
fyz(j) = fyz(j) + rj*qz

c
c-----stress tensor increments (potential)
rxfx = rx*ftotx
ryfy = ry*ftoty
rzfz = rz*ftotz
rxfy = rx*ftoty
ryfy = ry*ftoty
rxfz = rx*ftotz
ryfz = ry*ftotz
rzfx = rz*ftotz
rzfy = rz*ftoty

c
c-----increment stress tensor components (potential) for cell
if(nout.gt.0) then
  do 50 k=1,9
c-----increment stress tensor components (potential) for y zones
  dypnp(npos(i),k) = dypnp(npos(i),k) + half*rpos(i)*rnf(n,k)
  dypnp(nneg(i),k) = dypnp(nneg(i),k) + half*rneg(i)*rnf(n,k)
  dypnp(npos(j),k) = dypnp(npos(j),k) + half*rpos(j)*rnf(n,k)
  dypnp(nneg(j),k) = dypnp(nneg(j),k) + half*rneg(j)*rnf(n,k)
50 continue

c
c-----increment wall forces on lower y-boundary particles
if((j.ge.indy0) .and. (j.le.indy0)) then
  dpwal = dpwal + ftotx
  dpwal = dpwal + ftoty
  dpwal = dpwal + ftotz
endif

c
c-----increment potential energy for cell
dspot = dspot + dspot

c
c-----increment potential energy for y zones
dypot(npos(i)) = dypot(npos(i)) + half*rpos(i)*dspot
dypot(nneg(i)) = dypot(nneg(i)) + half*rneg(i)*dspot
dypot(npos(j)) = dypot(npos(j)) + half*rpos(j)*dspot
dypot(nneg(j)) = dypot(nneg(j)) + half*rneg(j)*dspot
endif

```

```

c
c-----get next entry in linked list of neighbors for particle i
90  jdx1 = jdx
   jdx1 = idx
   jdx = nax
   idx = i2ori*jdx - ilor9
   if(jdx.ne.0) goto 10
c
c 100 continue
c
c return
c end
c
c *** * * * *
c * * * * *
c * * * * *
c * * * * *
c * * * * *
c * * * * *
c * * * * *
c * * * * *
c
c subroutine init
c include 's3dscmm'
c real*4 randf1,vseed4
c real*8 rot(3,3)
c character*90 chrdum
c
c-----total elapsed time
c t = 0.
c
c-----total number of collisions
c totcol = 0.
c
c-----total number of time steps taken in this run
c nstep = 0
c
c-----flag for restart of cumulative averages
c izero = 0
c
c-----flag to continue (1) or not to continue (-1) integration
c-----when in rty-interactive mode
c istop = 1
c
c-----thermostat term in velocity equations
c zeta = 0.
c
c-----nvel must not be greater than nvelmx
c if(nvel.gt.nvelmx) nvel = nvelmx
c
c-----nvel must be even
c if(mod(nvel,2).ne.0) nvel = nvel + 1
c
c-----if tmax.eq.0. the nmax must be nonzero
c if((tmax.eq.0.).and.(nmax.eq.0)) nmax = 50
c
c-----if dt.eq.0. then ntccl must be nonzero
c if((dt.eq.0.).and.(ntccl.eq.0)) ntccl = 40
c
c-----if dtdump .eq. 0. then ndump must be nonzero
c if((dtdump.eq.0.) .and. (ndump.eq.0)) ndump = 1

```

```

c
c-----if tzero.eq.0. then nczero must be nonzero
c if((tzero.eq.0.).and.(nczero.eq.0)) nczero = 5
c
c-----xyrat must be greater than zero
c if(xyrat.lt.0.) xyrat = 1.
c
c-----zyrat must be greater than zero
c if(zyrat.lt.0.) zyrat = 1.
c
c-----initial packing fraction
c packf = max(pack,trifile)
c
c-----set flag if ycell is already nonzero
c if(ycell.gt.0) icell = 1
c
c-----default index of y zone below zone 1
c nminus = nyzone
c
c-----default index of y zone above zone nyzone
c nplus = 1
c
c-----default multiplier for calculating shear rate in y zone
c yfact = 0.5
c
c-----edot must be zero if real boundaries are used
c if(lreal.ne.0) edot = 0.
c
c-----itermv must be greater than zero
c if(itermv.le.0) itermv = 1
c
c-----check default values of sknib, elastb, slope and fmb
c if(sknib.lt.0) sknib = sknl
c if(elastb.lt.0) elastb = elast
c if(slope.lt.0) slope = slope
c if(fmb.lt.0) fmb = fmu
c if(dash1b.lt.0) dash1b = dash1
c if(dash2b.lt.0) dash2b = dash2
c
c-----no mirrors should exist for periodic boundaries
c if(lreal.eq.0) lmirr = 0
c
c-----check for plane at y= zero
c nby0 = nby0*nby0
c if((ixyz.lt.1).and.(nby0.ne.1)) then
c----- nby0 must be even
c if(mod(nby0,2).ne.0) nby0 = nby0 + 1
c nby0 = nby0*nby0
c endif
c
c-----check for plane at y=ycell
c nby1 = nby1*nby1
c if((ixyz.lt.1).and.(nby1.ne.1)) then
c----- nby1 must be even
c if(mod(nby1,2).ne.0) nby1 = nby1 + 1
c nby1 = nby1*nby1
c endif
c
c-----check for plane at z= zero
c nbz0 = nbz0*nbz0
c if((ixyz.lt.1).and.(nbz0.ne.1)) then

```

```

c----- nyzb0 must be even
      if(mod(nyzb0,2).ne.0) nyzb0 = nyzb0 + 1
      nzb0 = nzb0*nyzb0
      endif
c
c-----check for plane at z=zc2ll
      nbz1 = nbz1*nybz1
      if((ixyz.lt.1).and.(nbz1.ne.1)) then
c----- nyzb1 must be even
      if(mod(nyzb1,2).ne.0) nyzb1 = nyzb1 + 1
      nbz1 = nbz1*nybz1
      endif
c
c-----non-boundary particle indices
      ind1 = 1
      ind2 = np - nby0 - nby1 - nbz0 - nbz1 - nfix - nfxpl - ncyll
      imin = 1
      imax = ind2
      if(imax.ge.np) imax = np - 1
c
c-----boundary particle indices
      ind1y0 = ind2 + 1
      ind2y0 = ind2 + nby0
      ind1y1 = ind2y0 + 1
      ind2y1 = ind2y0 + nby1
      ind1z0 = ind2y1 + 1
      ind2z0 = ind2y1 + nbz0
      ind1z1 = ind2z0 + 1
      ind2z1 = ind2z0 + nbz1
c
c-----other fixed particles indices
      ind1fx = ind2z1 + 1
      ind2fx = ind2z1 + nfix
c
c-----fixed planes particle indices
      ind1fxp = ind2fx + 1
      ind2fxp = ind2fx + nfxpl
c
c-----indices for cyinders parallel to z axis
      ind1cr = ind2fxp + 1
      ind2cr = ind2fxp + ncyll
c
c----- set index where friction coefficient etc changes to "b" values
      ndx2 = ind2
      if(al1tk.lt.0) ndx2 = ind2y1
c
c
c-----number of random locations to check for boundary or fixed particles
      ltot = 100000
c
c-----start sequence of random numbers (note: function is real*4)
      vseed4 = vseed
      dum = randf1(vseed4)
c
c-----initialization for alternate method of inputing particle size and mass
      nptot = 0
      ngroup = 0
      do 1 j=1,ngroup
      if(number(j).gt.0) ngroup = ngroup + 1
      do 1 i=1,number(j)
      npctot = npctot + 1

```

```

      radz(npctot) = radius(j)
      rmass(npctot) = rmass(j)
      xplnh(npctot) = half*planex(j)
      zplnh(npctot) = half*planex(j)
1      continue
c-----have all np particles been assigned a size and mass
      if((npctot.gt.0).and.(npctot.ne.np)) goto 998
c-----initialize particle mass, moment of inertia, volume, and orientation
      rmassx = 0.
      rmassy = huge
      zcell = zyrat*ycell
      do 3 l=1,np
c-----mass
      if(rmass(l).le.0.) rmass(l) = rmass*radz(l)**3
      rmassx = max(rmassx,rmass(l))
      rmassy = min(rmassy,rmass(l))
c-----moment of inertia for sphere
      rrcot(l) = (2./5.)*rmass(l)*radz(l)*radz(l)
c-----volume
      vol(l) = (4./3.)*pi*radz(l)**3
      if(i.ge.ind1cr) vol(l) = pi*radz(l)*radz(l)*zcell
c-----orientation and mirror positions
      brow=(l) = 1.
      qlnew(l) = 0.
      q2new(l) = 0.
      q3new(l) = 0.
      qlold(l) = 1.
      if((i.ge.ind1fxp).and.(i.le.ind2fxp)) goto 3
      qlold(l) = 0.
      q2old(l) = 0.
      q3old(l) = 0.
      qlold(l) = 1.
3      continue
c
c-----assign group properties if none were input
      if(npctot.le.0) then
      j = 1
      number(j) = 1
      radius(j) = radz(l)
      rmass(j) = rmass(l)
      do 5 i=2,np
      if((rmass(i).eq.rmass(j)).and.(radz(i).eq.radius(j)))then
      number(i) = number(j) + 1
      else
      j = j + 1
      if(j.gt.ngroup) goto 997
      number(j) = 1
      radius(j) = radz(l)
      rmass(j) = rmass(l)
      endif
5      continue
      ngroup = j
      endif
c
c-----volume of free particles
      vfree = 0.
      do 7 i=ind1,ind2
      vfree = vfree + vol(i)
7      continue
      vtotal = vfree

```

```

      rxcell = 1.
      rycell = 1.
      rzcyl = 1.
C-----value of boundary particles (half)
      vbound = 0.
      if((lreal.gt.0) then
        do 9 i=indly0,ind2zl
          vbound = vbound + half*vol(i)
9      continue
      endif
C-----value of other fixed particles and fixed planes (full)
      vfixed = 0.
      if((nfix.gt.0).or.(nexpl.gt.0) then
        do 11 i=indlfx,ind2fpx
          vfixed = vfixed + vol(i)
11     continue
      endif
C-----value of cylinders in z direction and rotational velocities
      override wz(i) value if wzcyl is non-zero (for 1st cylinder)
      wzcyl = 0.
      if((nczyl.gt.0) then
        do 12 i=indlcz,ind2cz
          wzcyl = wzcyl + vol(i)
          whz(i) = wz(i)
12     continue
          if(wzcyl.ne.0.) then
            wz(indlcz) = wzcyl
            whz(indlcz) = wzcyl
          endif
      endif
C
      iloop = 0
13     continue
      iloop = iloop + 1
      if((iloop.gt.1000) goto 995
C-----cell dimensions
      if((lcell.eq.0) ycell = (vtotal/(nyrat*zyrat*packf))**third
      xcell = xyrat*ycell
      zcell = zyrat*ycell
      vcell = xcell*ycell*zcell
      vcell1 = 1./vcell
      xcell1 = 1./xcell
      ycell1 = 1./ycell
      zcell1 = 1./zcell
      xcellh = xcell*half
      ycellh = ycell*half
      zcellh = zcell*half
C
      if((ixyz.lt.3) then
C----- convert input fractional coordinates to absolute values
        do 15 i=1,np
          x(i) = x(i)*xcell1*rxcell
          y(i) = y(i)*ycell1*rycell
          z(i) = z(i)*zcell1*rzcyl
          xplnh(i) = xplnh(i)*xcell1*rxcell
          zplnh(i) = zplnh(i)*zcell1*rzcyl
15     continue
      endif

```

```

C
C-----assign boundary particles
      if((lreal.gt.0).and.(ixyz.lt.1)) then
        call bound
      elseif((lreal.gt.0).and.(ixyz.ge.1)) then
        do 16 i=indly0,ind2zl
          rad(i) = radz(i)
16     continue
      endif
C
C*****
C* note: should check to see that free particles can not
C* go through any of the boundaries
C*****
C-----determine packing fraction from boundary and other fixed particles
      if((lreal.gt.0).or.(nfix.gt.0).or.(nexpl.gt.0).or.(nczyl.gt.0))
        1 call packing(indly0,ind2cz,packbf)
C
C-----new volume of solids in cell
      vttotal = vfree + packbf*vcell
C
C-----new packing fraction
      pack = vttotal/vcell
C
C-----test for convergence on desired packing fraction
      if((abs(pack-packf)/packf.gt.epsv).and.(lcell.eq.0) then
        rxcell = 1./xcell
        rycell = 1./ycell
        rzcyl = 1./zcell
        goto 13
      endif
C
      if(ystop.eq.-1.) ystop = ycell
C-----maximum allowable x-coordinate must be greater than xcell
      if((xmax.lt.xcell) xmax = xcell*1.5
C
      ymxpr = 0.
      ymxp = ycell
      zmxpr = 0.
      zmxp = zcell
C
      dmass = 0.
      if((nczyl.eq.1).and.(radz(indlcz).lt.0.1)
        > rcy1 = abs(radz(indlcz))
        do 23 i=indl,ind2
C-----total mass of non-boundary particles in cell
          dmass = dmass + mass(i)
C
C----- skip if coords and velocities read in
          if((ixyz.ge.2) go to 23
C
C-----initialize velocities
          vx(i) = 0.
          vy(i) = 0.
          vz(i) = 0.
          wx(i) = wxzero
          wy(i) = wyzero
          wz(i) = wzzero

```

```

c-----random coordinates for non-boundary particles
loop = 0
19 continue
loop = loop + 1
if(loop.gt.1000) goto 996

if(ioreal.eq.2) then
  zminp = radz(i)
  zmaxp = zcell - radz(i)
endif
z(i) = zminp + randf(0.)*(zmaxp - zminp)
c
c-----if cylinder boundary, place particles inside inscribed square
if(ncycl.eq.1) and.(radz(indlcz).lt.0.) then
  delr = rcyi - radz(i)
  xminp = x(indlcz) - delr
  xmaxp = x(indlcz) + delr
  yminp = y(indlcz) - delr
  ymaxp = y(indlcz) + delr
  x(i) = xminp + randf(0.)*(xmaxp - xminp)
  y(i) = yminp + randf(0.)*(ymaxp - yminp)
  delx = x(i) - x(indlcz)
  dely = y(i) - y(indlcz)
  if ((delx*delx + dely*dely).gt.(delr*delr)) go to 19
else
  x(i) = randf(0.)*xcell
  if(ioreal.ge.1) then
    yminp = radz(i)
    ymaxp = ycell - radz(i)
  endif
  y(i) = yminp + randf(0.)*(ymaxp - yminp)
endif
c
if(np.eq.ind2) goto 23
c-----does this particle overlap any boundary particles or other fixed particles
do 21 j=ind2+1,eq
  rx = x(j) - x(i)
  ry = y(j) - y(i)
  rz = z(j) - z(i)
c
c-----cylinders
if(j.ge.indlcz) rz = 0.
c-----boundary planes
if(((j.eq.ind1z0).and.(nbz0.eq.1)).or.
1 ((j.eq.ind1z1).and.(nbz1.eq.1))) then
  rx = 0.
  rz = 0.
elseif(((j.eq.ind2z0).and.(nbz0.eq.1)).or.
1 ((j.eq.ind2z1).and.(nbz1.eq.1))) then
  rx = 0.
  ry = 0.
endif
c
c-----find nearest image delta x
rx = rx - xcell*int(rx/xcell)
if(abs(rx).gt.xcellh) rx = rx - sign(xcell,rx)
c
if(ioreal.lt.1) then
c-----find nearest image delta-y
ry = ry - ycell*int(ry/ycell)
if(abs(ry).gt.ycellh) ry = ry - sign(ycell,ry)

```

```

endif
c
if(ioreal.lt.2) then
c-----find nearest image delta z
rz = rz - zcell*int(rz/zcell)
if(abs(rz).gt.zcellh) rz = rz - sign(zcell,rz)
endif
c
c-----fixed planes
if((j.ge.ind1xpl).and.(j.le.ind2xsp)) then
  xplanh = xplnh(j)
  zplanh = zplnh(j)
c-----rotate coordinate system to make plane horizontal
call matrot(qold(j),qold(j),qold(j),qold(j),-qold(j),rot)
  rxr = rx*rot(1,1) + ry*rot(1,2) + rz*rot(1,3)
  ryr = rx*rot(2,1) + ry*rot(2,2) + rz*rot(2,3)
  r zr = rx*rot(3,1) + ry*rot(3,2) + rz*rot(3,3)
c-----detect borders of plane
if(abs(rxr).gt.xplanh) then
  rxr = rxr - sign(xplanh,rxr)
else
  rxr = 0
endif
if(abs(rzr).gt.zplanh) then
  rzr = rzr - sign(zplanh,rzr)
else
  rzr = 0
endif
c-----rotate back the coordinate system
call matrot(qold(j),qold(j),qold(j),qold(j),rot)
  rx = rxr*rot(1,1) + ryr*rot(1,2) + rzr*rot(1,3)
  ry = rxr*rot(2,1) + ryr*rot(2,2) + rzr*rot(2,3)
  rz = rxr*rot(3,1) + ryr*rot(3,2) + rzr*rot(3,3)
endif
c
  r1sq = rx*rx + ry*ry + rz*rz
c**** if(r1sq.le.(radz(i)+radz(j))**2) goto 19
if(sign(r1sq,radz(j)).le.
1 sign((radz(i)+radz(j))**2,radz(j))) goto 19
21 continue
23 continue
c----- only set velocities if not read in
if(ixyz.lt.2) then
c
c-----random velocities relative to shear field for non-boundary particles
c-----so that net momentum is zero
vzpx = 0.
ind2h = (ind2 - ind1 + 1)/2
do 25 i=ind1,ind2h
  vx(i) = half - randf(0.)
  vy(i) = half - randf(0.)
  vz(i) = half - randf(0.)
c
  vx(ind2h+i) = -vx(i)*rmass(i)/rmass(ind2h+i)
  vy(ind2h+i) = -vy(i)*rmass(i)/rmass(ind2h+i)
  vz(ind2h+i) = -vz(i)*rmass(i)/rmass(ind2h+i)
c
c-----velocity square summation for non-boundary particles (mass-weighted)

```



```

      vsqz = vsqz + rmass(i)*(vx(i)**2+vy(i)**2+vz(i)**2)
1 + rmass(ind2h+1)*(vx(ind2h+1)**2+vy(ind2h+1)**2+vz(ind2h+1)**2)
25 continue
c
  else
    vsqz = 0.
    do 26 l=ind1,ind2
      vsqz = vsqz + rmass(i)*(vx(i)**2+vy(i)**2+vz(i)**2)
26 continue
c
  endif
c
c-----initialize particle sizes
  irad = 1
  rmin = huge
  rmax = 0.
  rave = 0.
  prvol = 0.
  do 27 l=ind1,ind2
    xp(l) = xil
    yp(l) = yil
    zp(l) = zil
c-----particle radius
    radz(l) = 0.
c-----minimum particle diameter
    rmin = min(rmin,radz(l))
c-----maximum particle radius
    rmax = max(rmax,radz(l))
c-----particle volume
    prvol = prvol + radz(l)**3
c-----function for calculating average particle radius
    rave = rave + radz(l)**4
27 continue
c-----mean particle radius (savage and sayed: arithmetic volume-weighted mean)
    rave = rave/(prvol + trifile)
c
c-----particle diameter for use in calculating savage's velocity ratio
  sigma = two*rave
c
  if(np.eq.1) rad(l) = radz(l)
c
c-----initialize rad for fixed particles, planes and z-cylinders
  if((nfix.gt.0).or.(nfixp.gt.0).or.(nczyl.gt.0)) then
    do 29 l=ind1fx,ind2cz
      radz(l) = radz(l)
29 continue
  endif
c
c----- if negative radius for first cylinder set vcell & vcelli
  if((np.ge.indic1).and.(rad(indic1).lt.0.)) then
    vcell = vel(indic2)
    vcelli = 1./vcell
  endif
c
c-----the number of y zones must not be greater than int(ycell/(2*rmax))
c-----so that the largest particle will not be in more than two zones.
c-----the number of yzones can not exceed parameter myzone.
  nyzone = min(nyzone,myzone,int(ycell/(two*rmax)))
c
c-----nyzone must be greater than zero
  if(nyzone.le.0) nyzone = 1

```

```

c
c-----initial root-mean-square deviatoric velocity (mass-weighted)
  vavez = sqrt(vsqz/dmass)
c
  if((vave.gt.0.).and.(vavez.gt.0.)) then
c-----normalize average initial velocity to vave for non-boundary particles
    do 31 l=ind1,ind2
      vx(l) = vx(l)*vave/vavez
      vy(l) = vy(l)*vave/vavez
      vz(l) = vz(l)*vave/vavez
31 continue
      vavez = vave
      vsqz = dmass*vavez*vavez
    endif
c
c-----add initial non-deviatoric transl. vel. component
  do 32 l=ind1,ind2
    vx(l) = vx(l) + vxzero
    vy(l) = vy(l) + vyzero
    vz(l) = vz(l) + vzzero
32 continue
c
  if(dt.eq.0.) then
c-----compute time step
c-----use the mass of the smallest particle (rmassy)
c-----and use ntime time steps per collision.
    dt = pi*elast*sqrt(half*rmassy/sinl/ntcol)
  endif
c
c-----edot inverse
  if(edot.eq.0.) then
    edoti = 0.
  else
    edoti = 1./edot
  endif
c
c-----parameters for improving accuracy of shear shift
  tshfft = 0.
  nshfft = 0
  zshfft = 2**32 - 1
  if(edot.gt.0.) then
    nshfft = int(xyrat/(edot*dt))
    dt = xyrat/(edot*nshfft)
  endif
c
  do 33 l=1,np
c-----initialize incremental changes in coordinates
    dx(l) = vx(l)*dt
    dy(l) = vy(l)*dt
    dz(l) = vz(l)*dt
33 continue
c
c-----y zone spacing
  dyzone = (ystop - ystart)/nyzone
  dyzoni = 1./dyzone
c
c-----y zone volume
  vyzone = xcell*zcell*dyzone
  vyzoni = 1./vyzone
c

```

```

c----label of y zone
labcell = " "
do 35 1=1,nyzone
  write(chrdrum,'('' zone ''',12)') i
  read(chrdrum,'(a8)') labz(i)
35 continue
c
c----label of particle-size groups
do 40 1=1,nrgroup
  write(chrdrum,'('' group ''',12)') i
  read(chrdrum,'(a8)') labg(i)
40 continue
c
c----initialize short-term averages
call initcm1
c
c----initialize long-term averages
call initcm2
c
c----velocity distribution intervals
nvelhalf = nvel/2
delvx = 6.*vavez/nvel
delvy = 6.*vavez/nvel
delvz = 6.*vavez/nvel
delvx = 6.*vavez/(nvel*rave)
delvy = 6.*vavez/(nvel*rave)
delvz = 6.*vavez/(nvel*rave)
delvxi = 1./delvx
delvyi = 1./delvy
delvzi = 1./delvz
delvxi = 1./delvx
delvxi = 1./delvx
delvxi = 1./delvx
delvxi = 1./delvx
delvxi = 1./delvx
c
c----estimated collision frequency
colfrq = three*pack*vavez/rave
c
c----elapsed time to be allowed before cumulative averages are restarted
iff((tzero.le.0.)and.(colfrq.gt.0.)) tzero = nczero/colfrq
c
c----check tmax
iff(tmax.le.0.) then
c----determine tmax from ncmx and from the estimated collision frequency
  if(colfrq.gt.0.) tmax = ncmx/colfrq
  else
c----initialize ncmx
    ncmx = 0
  endif
c
c----time interval for writing file o3ds (diagnostics)
iff(dtout.le.0.) then
  if(nout.gt.0) then
    dtout = tmax/nout
    nout = int(tmax/dtout + trifile)
  else
    dtout = 0.
    nout = 0
  endif
else
  nout = int(tmax/dtout + trifile)
endif

```

```

tout = -dtout
c
c----time interval for writing file o3dq (x,y,z,quaternions)
iff(dtoutx.le.0.) then
  if(noutx.gt.0) then
    dtoutx = tmax/noutx
    noutx = int(tmax/dtoutx + trifile)
  else
    dtoutx = 0.
    noutx = 0
  endif
else
  noutx = int(tmax/dtoutx + trifile)
endif
toutx = -dtoutx
c
c----time interval for writing file o3dv (velocities)
iff(dtoutv.le.0.) then
  if(noutv.gt.0) then
    dtoutv = tmax/noutv
    noutv = int(tmax/dtoutv + trifile)
  else
    dtoutv = 0.
    noutv = 0
  endif
else
  noutv = int(tmax/dtoutv + trifile)
endif
toutv = -dtoutv
c
c----time interval for writing dump.
iff(dtcdump.eq.0.) dtcdump = tmax/ndump
ndump = int(tmax/dtcdump + trifile)
c
c skip dump at t=0.
tdump = dtcdump
c
c---- save title in array o3dtit for dump file
do 50 1=1,10
  o3dtit(i) = title(i)
50 continue
c
c----make tzero a multiple of dtout
c tzero = dtout*int(tzero/dtout + 1. - half*dt)
c
c----recalculate nczero
nczero = tzero*colfrq
c
c----normal force coefficient for unloading
iff(elast.gt.0.) then
  skn2 = skn1/(elast*elast)
  iff(lhertz.eq.1) then
    skn2 = skn1/(elast*elast*elast)
  endif
endif
iff(elastb.gt.0.) then
  skn2b = skn1b/(elastb*elastb)
  iff(lhertz.eq.1) then
    skn2b = skn1b/(elastb*elastb*elastb)
  endif
endif
endif
c

```

```

return
c
999 call exit(1)
c
998 write(3,398) np,nptot
goto 999
c
997 write(3,397)
goto 999
c
996 write(3,396) i
goto 999
c
995 write(3,395) epsv
goto 999
c
395 format(//," unable to converge on cell dimensions"
1 //," for epsv = ",1p,e12.4)
396 format(//," unable to position active particle ",i5
1 //," outside of fixed particles in subroutine init")
397 format(//," too many groups of particles sizes")
398 format(//," i5," particles are in cell, but only ",i5,
1 " have been assigned a size and mass.",//," check input data",
2 " for np and (number(i), i=1,ngroup).")
c
602 format(" zone ",i2)
603 format(a8)
604 format("group ",i2)
c
end
c
c
c *** * * ***
c * * * * * * * * * * * * * *
c * * * * * * * * * * * * * *
c * * * * * * * * * * * * * *
c * * * * * * * * * * * * * *
c * * * * * * * * * * * * * *
c * * * * * * * * * * * * * *
c * * * * * * * * * * * * * *
c * * * * * * * * * * * * * *
c *** * * ***
c
subroutine initcom1
include 'sldscom1'
c-----initialize cumulative averages for short term
c-----for total cell
itervs = 0
save = 0.
mass = 0.
vsqm = 0.
xmax = 0.
ekin = 0.
epot = 0.
erect = 0.
sprx = 0.
spry = 0.
sprz = 0.
comp = 0.
visc = 0.
do l j=1,ngroup
gekin(j) = 0.
gerot(j) = 0.
gflox(j) = 0.

```

```

gfloy(j) = 0.
gflox(j) = 0.
1 continue
do 5 j=1,9
punc(k) = 0.
ppnc(j) = 0.
5 continue
c
c-----for lower y-boundary stress
pxwall = 0.
pywall = 0.
pzwall = 0.
c
c-----for y zones
do 10 i=1,nyzone
ymass(i) = 0.
yvsp(i) = 0.
yzcm(i) = 0.
ypack(i) = 0.
yestat(i) = 0.
yekin(i) = 0.
yepot(i) = 0.
yerot(i) = 0.
ysprx(i) = 0.
yspri(i) = 0.
ysprz(i) = 0.
ycomp(i) = 0.
yvisc(i) = 0.
10 continue
c
do 15 j=1,9
do 15 i=1,nyzone
ypunc(i,j) = 0.
ypncp(i,j) = 0.
15 continue
c
c-----initialize velocity distribution short-term cum. ave. for total cell
do 20 i=1,nvel
binvx(i) = 0.
binvy(i) = 0.
binvz(i) = 0.
binvx(i) = 0.
binvy(i) = 0.
binvz(i) = 0.
do 20 j=1,ngroup
gbinvx(i,j) = 0.
gbinvy(i,j) = 0.
gbinvz(i,j) = 0.
20 continue
c
return
end
c
c
c *** * * ***
c * * * * * * * * * * * * * *
c * * * * * * * * * * * * * *
c * * * * * * * * * * * * * *
c * * * * * * * * * * * * * *
c * * * * * * * * * * * * * *
c * * * * * * * * * * * * * *
c * * * * * * * * * * * * * *
c *** * * ***
c

```

```

subroutine initcum2
include 's3dscm'
c-----initialize cumulative averages for long term
c
c-----for total cell
savet = 0.
masst = 0.
vsqst = 0.
xmont = 0.
ekint = 0.
epott = 0.
erott = 0.
sprxt = 0.
spnyt = 0.
spzxt = 0.
spxzt = 0.
spxzt = 0.
spxzt = 0.
visct = 0.
do 1 j=1,ngroup
  gekin(j) = 0.
  gzerot(j) = 0.
  gflotx(j) = 0.
  gfloty(j) = 0.
  gflotz(j) = 0.
1 continue
do 5 j=1,9
  pmxkt(j) = 0.
  pmnpt(j) = 0.
5 continue
c
c-----for y zones
do 10 i=1,nyzone
  ymasst(i) = 0.
  yvsqst(i) = 0.
  ypackt(i) = 0.
  yedott(i) = 0.
  ymasst(i) = 0.
  yekint(i) = 0.
  yepott(i) = 0.
  yerott(i) = 0.
  ysprxt(i) = 0.
  yspnyt(i) = 0.
  yspzxt(i) = 0.
  ycompt(i) = 0.
  yvisact(i) = 0.
10 continue
c
do 15 j=1,9
do 15 i=1,nyzone
  yprnkt(i,j) = 0.
  yprnpt(i,j) = 0.
15 continue
c
c-----for lower y-boundary
pwalt = 0.
pywalt = 0.
pzwalt = 0.
c
c-----initialize velocity distribution long-term cum. ave. for total cell
do 20 i=1,nvel
  binvxt(i) = 0.
  binvyt(i) = 0.

```

```

  binvzt(i) = 0.
  binvxt(i) = 0.
  binvyt(i) = 0.
  binvzt(i) = 0.
do 20 j=1,ngroup
  gbinvxt(i,j) = 0.
  gbinvyt(i,j) = 0.
  gbinvzt(i,j) = 0.
20 continue
c
return
end
c
c *** * * * *
c * * * * *
c * * * * *
c * * * * *
c * * * * *
c * * * * *
c * * * * *
c * * * * *
c * * * * *
c * * * * *
c
subroutine initstep
include 's3dscm'
c-----initialize for integration step
c
c-----for total cell
dscm = 0.
dvsqm = 0.
dekin = 0.
depot = 0.
derot = 0.
dsprx = 0.
dspny = 0.
dsprz = 0.
do 1 j=1,ngroup
  dgekin(j) = 0.
  dgerot(j) = 0.
  dgflotx(j) = 0.
  dgfloty(j) = 0.
  dgflotz(j) = 0.
1 continue
do 5 j=1,9
  dpmxk(j) = 0.
  dpmnpt(j) = 0.
5 continue
c
c-----for y zones
do 10 i=1,nyzone
  yrxt(i) = 0.
  yrzt(i) = 0.
  dymass(i) = 0.
  dymzcm(i) = 0.
  dyvsqm(i) = 0.
  dyekin(i) = 0.
  dyzerot(i) = 0.
  dyerott(i) = 0.
  dysprxt(i) = 0.
  dyspnyt(i) = 0.
  dyspznz(i) = 0.
  dypackt(i) = 0.
  dyedott(i) = 0.

```

```

10 continue
c
do 15 j=1,9
do 15 i=1,nyzzone
dypnck(i,j) = 0.
dypnrg(i,j) = 0.
15 continue
c
c-----for lower y-boundary
dpxwal = 0.
dpywal = 0.
dprwal = 0.
c
c-----special packing initialization for lowest zone
dypack(l) = packy0
c
c-----special packing initialization for upper-most zone
dypack(nyzzone) = packy0
c
c-----calculate parameters for non-boundary particles
do 20 i=ind1,ind2
c
c-----y-coordinates in primary-cell
yshift = ycell*int(y(i)*ycell)
if(y(i).lt.0.) yshift = yshift - ycell
if(ioreal.gt.0) yshift = 0.
yp(i) = y(i) - yshift
c
c-----y-zone index for yp(i) + rad(i)
nps(i) = int((yp(i) - ystart + rad(i))*dyzoni) + 1
c
c-----y-zone index for yp(i) - rad(i)
nng(i) = 0
dum = yp(i) - ystart - rad(i)
if(dum.ge.0.) nng(i) = int(dum*dyzoni) + 1
c
c-----weighting factors
rpos(i) = 0.5
if(npos(i).ne.nneg(i)) rpos(i) =
1  (yp(i) + rad(i) - ystart - npos(i)-1)*dyzzone/(two*rad(i))
nng(i) = 1. - rpos(i)
c
c-----ypshft and ynsht are needed for determining vpx and vnx
c-----after convergence on vx in the velocity integration
ypshft(i) = yshift
ynsht(i) = yshift
c
c-----apply corrections if npos or nneg are outside of cell
if((ioreal.eq.0).and.(ystart.eq.0.).and.(ystop.eq.ycell)) then
if(npos(i).gt.nyzzone) then
rpos(i) = 1
ypshft(i) = ypshft(i) + ycell
endif
if(nneg(i).lt.1) then
nng(i) = nyzzone
ynsht(i) = ynsht(i) - ycell
endif
c
else
c----- put particles in dummy zone outside ystart-ystop region

```

```

if((npos(i).gt.nyzzone).or.(rpos(i).lt.1)) rpos(i)=1-nyzzone
if((nneg(i).gt.nyzzone).or.(nng(i).lt.1)) nng(i)=1-nyzzone
c
endif
c
20 continue
return
end
c
c *** * * * * * * * * * * * * * * * *
c * ** * * * * * * * * * * * * *
c * * * * * * * * * * * * * * * *
c * * * * * * * * * * * * * * * *
c * * * * * * * * * * * * * * * *
c * * * * * * * * * * * * * * * *
c * * * * * * * * * * * * * * * *
c * * * * * * * * * * * * * * * *
c * * * * * * * * * * * * * * * *
c * * * * * * * * * * * * * * * *
c
c subroutine integ
include 'sldacm'
c-----iterative integration of velocity equations to solve for vx and vy
c-----at start of current time step only
c
c-----increment number of time steps for current short-term averages
save = save + 1.
c
c-----begin integration of angular velocity equations
do 5 i=ind1,ind2
dwx(i) = ftx(i)*dt/rmt(i)
dwy(i) = fty(i)*dt/rmt(i)
dww(i) = ftz(i)*dt/rmt(i)
5 continue
if(it.le.0.) then
c-----first time step
do 6 i=ind1,ind2
c-----angular velocities at half time step before time zero
whx(i) = wx(i) - half*dwx(i)
why(i) = wy(i) - half*dwy(i)
whz(i) = wz(i) - half*dwz(i)
6 continue
else
c-----other than first time step
do 7 i=ind1,ind2
c-----angular velocities at start of current time step
wx(i) = whx(i) + half*dwx(i)
wy(i) = why(i) + half*dwy(i)
wz(i) = whz(i) + half*dwz(i)
7 continue
endif
c
c-----begin iterative integration of translational velocity equations
iterv = 0
10 continue
if(iterv.ge.iterm) goto 60
iterv = iterv + 1
itervs = itervs + 1
c
if(iizeta.eq.1) then
c-----keep translational kinetic energy constant by Hoover zeta method
c-----calculate zeta parameter for velocity normalization
zetan = 0.

```

```

zeta = 0.
do 20 i=ind1,ind2
  vdevx = vx(i) - edot*y(i)
  zetan = zetan + mmass(i)**((fx(i) + gravx*mmass(i)
1      = edot*y(i)*mmass(i))*vdevx
2      + (fy(i) + gravity*mmass(i))*vy(i)
3      + (fz(i) + gravz*mmass(i))*vz(i))
20  zetan = zetan + mmass(i)*mmass(i)*vdevx**2+vy(i)**2+vz(i)**2
  continue
  zeta = zetan/(zetan + 1.e-20)
endif
c
vdrag = 0.
c
do 30 i=ind1,ind2
c-----quaternions at start of time step
q1old(i) = q1new(i)
q2old(i) = q2new(i)
q3old(i) = q3new(i)
q4old(i) = q4new(i)
c
vdevx = vx(i) - edot*y(i)
rmasi = 1./mmass(i)
c-----set velocity squared dependent drag force
if (drag.ne.0.)
  + vdrag*rmasi*drag*sqrt(vdevx*vdevx+vy(i)*vy(i)+vz(i)*vz(i))
c
c-----velocity increments
dwx(i) = (fx(i)*rmasi + gravx - (zeta + vdrag)*vdevx)*dt
dvy(i) = (fy(i)*rmasi + gravity - (zeta + vdrag)*vy(i))*dt
dvw(i) = (fz(i)*rmasi + gravz - (zeta + vdrag)*vz(i))*dt
30  continue
c
  if (t.le.0.) then
c-----first time step
  do 40 i=ind1,ind2
c-----trans. velocities at half time step before time zero
  vxh(i) = vx(i) - half*dwx(i)
  vyh(i) = vy(i) - half*dvy(i)
  vzh(i) = vz(i) - half*dvw(i)
40  continue
  else
c-----other than first time step
  do 50 i=ind1,ind2
c-----trans. velocities at start of current time step
  vx(i) = vxh(i) + half*dwx(i)
  vy(i) = vyh(i) + half*dvy(i)
  vz(i) = vzh(i) + half*dvw(i)
50  continue
  goto 10
endif
c
c-----maximum allowed number of iterations reached
60  continue
c
  if (zeta.eq.2) then
c-----rescale trans. dev. velocities to constant t
  fvsgm = 0.
  f = 0.
  do 70 i=ind1,ind2
    vdevx = vx(i) - edot*y(i)
    fvsgm = fvsgm + mmass(i)*vdevx**2 + vy(i)**2 + vz(i)**2
70  continue
  if (fvsgm.gt.0.) f = sqrt(fvsgm/fvsgm)
  do 80 i=ind1,ind2
    vx(i) = f*(vx(i) - edot*y(i)) + edot*y(i)
    vy(i) = f*vy(i)
    vz(i) = f*vz(i)
80  continue
  endif
c
  return
  end
c
c
c *** * * ***** * * * * * * * * * *
c * * * * * * * * * * * * * * * *
c * * * * * * * * * * * * * * * *
c * * * * * * * * * * * * * * * *
c * * * * * * * * * * * * * * * *
c * * * * * * * * * * * * * * * *
c *** * * * * ***** * * * * * * * * * *
c
  subroutine integ2
  include 's3dscm'
c-----finish this integration step to obtain coordinates at end of
c-----current time step and estimation of velocities there
c
  do 30 i=ind1,ind2
c-----velocities at midpoint of time step
  vxh(i) = vx(i) + half*dwx(i)
  vyh(i) = vy(i) + half*dvy(i)
  vzh(i) = vz(i) + half*dvw(i)
  whx(i) = wx(i) + half*dwz(i)
  why(i) = wy(i) + half*dwy(i)
  whz(i) = wz(i) + half*dwz(i)
c
c-----change in coordinates
  dx(i) = vxh(i)*dt
  dy(i) = vyh(i)*dt
  dz(i) = vzh(i)*dt
c
c-----coordinates at end of time step
  x(i) = x(i) + dx(i)
  y(i) = y(i) + dy(i)
  z(i) = z(i) + dz(i)
c
c-----estimated velocities at end of time step
  vx(i) = vxh(i) + half*dwx(i)
  vy(i) = vyh(i) + half*dvy(i)
  vz(i) = vzh(i) + half*dvw(i)
  wx(i) = whx(i) + half*dwz(i)
  wy(i) = why(i) + half*dwy(i)
  wz(i) = whz(i) + half*dwz(i)
c
c-----rotation coefficients
  bx = fourth*dt*whx(i)
  by = fourth*dt*why(i)
  bz = fourth*dt*whz(i)
  bxsq = bx*bx
  bysq = by*by
  bzsq = bz*bz

```

```

C
C-----determinant of coefficients of quaternion equations
detc = 1. + tw*(bxsq + bysq + bzsq
1
+ bxsq*bysq + bysq*bzsq + bzsq*bxsq)
2
+ bxsq*bxsq + bysq*bysq + bzsq*bzsq
C
C-----constant factor for solution of quaternion equations
con = (1. + bxsq + bysq + bzsq)/detc
C
C-----right-hand side
bb1 = q1old(i) + bz*q2old(i) - bx*q3old(i) - by*q4old(i)
bb2 = -bz*q1old(i) + q2old(i) - by*q3old(i) + bx*q4old(i)
bb3 = bx*q1old(i) + by*q2old(i) + q3old(i) + bz*q4old(i)
bb4 = by*q1old(i) - bx*q2old(i) - bz*q3old(i) + q4old(i)
C
C-----new quaternions
q1new(i) = con*( bb1 + bb2*bz - bb3*bx - bb4*by)
q2new(i) = con*(-bb1*bz + bb2 - bb3*by + bb4*bx)
q3new(i) = con*( bb1*bx + bb2*by + bb3 + bb4*bz)
q4new(i) = con*( bb1*by - bb2*bx - bb3*bz + bb4 )
C
C-----scale factor
factor = sqrt(1./(q1new(i)*q1new(i) + q2new(i)*q2new(i)
1
+ q3new(i)*q3new(i) + q4new(i)*q4new(i)))
C
C-----rescale quaternions
q1new(i) = factor*q1new(i)
q2new(i) = factor*q2new(i)
q3new(i) = factor*q3new(i)
q4new(i) = factor*q4new(i)
30 continue
C
C-----calculate new x coordinates of xz-boundary particles at y = zero
do 40 i=1,nd2*4,ind2*nb20
dx(i) = vx(i)*dt
x(i) = x(i) + dx(i)
40 continue
C
C-----calculate new x coordinates of xz-boundary particles at y = ycell
do 50 i=1,nd2*nb20-1,ind2*nb20+nb1
dx(i) = vx(i)*dt
x(i) = x(i) + dx(i)
50 continue
C
C-----increment time
nstep = nstep + 1
t = nstep*dt
C
C-----increment shear shift parameters
nshift = nshift + 1
tshift = nshift*dt
if(nshift.ge.zshift) then
tshift = 0.
nshift = 0
endif
C
C-----test for move of particles back to primary cell
imove = 0
do 60 i=1,np
if(abs(x(i)).gt.xxax*xcell) imove = 1
60 continue

```

```

C
if(imove.gt.0) then
C-----move particles back to primary cell and adjust x velocity
if(lireal.eq.0) then
C-----y-coordinate in primary cell
do 70 i=1,np
yshift = ycell*int(y(i)*ycell(i)
if(y(i).lt.0.) yshift = yshift - ycell
y = y(i) - yshift
C-----shear correction to x-coordinate
x(i) = x(i) - yshift*(edot*tshift - int(edot*tshift))
C-----shear correction to x-velocity
vix(i) = vx(i) - yshift*edot
vx(i) = vx(i) + half*drx(i)
C-----shear correction to dx(i)
dx(i) = vx(i)*dt
70 continue
endif
C
C-----shift x-coordinate into primary cell
do 80 i=1,np
x(i) = x(i) - xcell*int(x(i)*xcell(i)
if(x(i).lt.0.) x(i) = x(i) + xcell
80 continue
C
if(lireal.lt.2) then
C-----shift z-coordinate into primary cell
do 85 i=1,np
z(i) = z(i) - zcell*int(z(i)*zcell(i)
if(z(i).lt.0.) z(i) = z(i) + zcell
85 continue
endif
C
C-----find max displacement in this timestep (for update check)
dmax2 = 0.
do 90 i=1,np
dsqrd = dx(i)*dx(i) + dy(i)*dy(i) + dz(i)*dz(i)
if(dsqrd.gt.dmax2) dmax2 = dsqrd
90 continue
dmax = sqrt(dmax2)
C
return
end
C
C *****
C * * * * *
C * * * * *
C * * * * *
C * * * * *
C * * * * *
C * * * * *
C * * * * *
C * * * * *
C * * * * *
C * * * * *
C *****
C
subroutine o3dsout(ifirst)
include 's3dscom'
real etime, tarray(2)
character*8 labw
C-----computer time used
c call timeused(icpu_lo,isys)
c ttot = (icpu_lo+isys)/1000000.

```

```

ttot = etime(tarray)
ttot = tarray(1) + tarray(2)

c
  if (ifirst.eq.0) then
c----write run information to file c3ds
    open(3,file='c3ds',status='unknown')
c
    write(3,351) (title(i),i=1,10)
    write(3,352) version
    if (lstart.ne.0) write(3,351) (oldtt(i),i=1,10)
    write(3,353) np,nxby0,nzby0,nxby1,nzby1,nxbz0,nzbz1,nybz1
    write(3,354) nclx,nxpl,nzcy1,nout,noutx,noutv,nzzero,namax,ncool,nvel
    write(3,355) itxy,libertt,iscart,ialtk,ixyz
    write(3,355) tmax,dt,dtout,dtoutx,dtoutv,dtdmp,tzero,edot,epsr
    write(3,355) rcell,ycell,xyrat,zyrat,pack
    write(3,355) raver,vseed
    write(3,370) wxzero,myzero,wzzero,wzcy1
    write(3,356) vxzero,vyzero,vzzero,skml,sknlb,elast,elastb
    write(3,357) power,rmass,*start
    write(3,357) gravx,gravy,gravz,vxby0,vzby1,vyby0,vyby1,vzby0
    write(3,358) search,ymax,dradtt,ystart,ystop
    write(3,358) , (number(i),i=1,mgroup), (radius(i),i=1,mgroup)
    write(3,359) finis
    write(3,360) (i,radi(i),i=1,np)
    write(3,361) (i,rmass(i),i=1,np)
    write(3,362) (i,rmtz(i),i=1,np)
c----close file between writes (to empty buffer & facilitate restarts)
    close(3)

    return
  elseif (ifirst.eq.2) then
    write(3,363) ttot/60.
    close(3)
    return
  endif

c
c----increment time for c3dsout
ttout = ttot + dtout

c
c----check for restart of cumulative averages
  if ((ttout.gt.tzero).and.(lzero.eq.0)) then
c----reset flag for restart of cumulative average
  lzero = 1
c----estimated collision frequency
  colfrq = three*pack*sqrt((vsgmt+vsgm)/(mass*mass))/rave
  if (ncmax.gt.0).and.(colfrq.gt.0.) tmax = ncmax/colfrq
c----initialize cumulative averages
  call initcum2
  endif

c
  save1 = 1./save
  mass1 = 1./mass

c
  riterv = itersv*save1

c
c----long-term cumulative averages
c
c----for cell:
  save1 = save1 + save
  mass1 = mass1 + mass
  vsgmt = vsgmt + vsgm
  xcmxt = xcmxt + xcmx
  sprxt = sprxt + spmx
  spnyt = spnyt + spny
  spnxt = spnxt + spnx
  ekint = ekint + ekin
  spott = spott + spot
  erott = erott + erot
  cump = cump + comp
  visct = visct + visc
  do 1 j=1,nqroup
    gekint(j) = gekint(j) + gekin(j)
    gerott(j) = gerott(j) + gerot(j)
    gfloxt(j) = gfloxt(j) + gflox(j)
    gfloyt(j) = gfloyt(j) + gfloy(j)
    gflozt(j) = gflozt(j) + gfloz(j)
  1 continue
  do 5 j=1,9
    pnkkt(j) = pnkkt(j) + pnkk(j)
    pnpkt(j) = pnpkt(j) + pnpk(j)
  5 continue
c
  save1 = 1./save1
  mass1 = 1./mass1
  binfi = 1./(save1*(np-nby0-nby1))
  axi = 1./(xcell*ycell)
  labw = "y=0 wall"

c
  do 10 i=1,nvel
    binvxt(i) = binvxt(i) + binvx(i)
    binvry(i) = binvry(i) + binvy(i)
    binvzt(i) = binvzt(i) + binvz(i)
    binvxt(i) = binvxt(i) + binvx(i)
    binvry(i) = binvry(i) + binvy(i)
    binvzt(i) = binvzt(i) + binvz(i)
    binvxt(i) = binvxt(i) + binvx(i)
    binvry(i) = binvry(i) + binvy(i)
    binvzt(i) = binvzt(i) + binvz(i)
  10 continue
c
c----for lower y-wall particles
  pxwall = pxwall + pxwall
  pywall = pywall + pywall
  pzwall = pzwall + pzwall

c
c----for y zones:
  do 20 i=1,nyzone
    ymass(i) = ymass(i) + ymass(i)
    yvsgmt(i) = yvsgmt(i) + yvsgmt(i)
    yvcmxt(i) = yvcmxt(i) + yvcmxt(i)
    yvsnxt(i) = yvsnxt(i) + yvsnxt(i)
    yvspnxt(i) = yvspnxt(i) + yvspnxt(i)
    yvspnry(i) = yvspnry(i) + yvspnry(i)
    yvspnzt(i) = yvspnzt(i) + yvspnzt(i)
    yekin(i) = yekin(i) + yekin(i)
    yepott(i) = yepott(i) + yepott(i)
  20 continue

```



```

        yerott(i) = yerott(i) + yerot(i)
        ypacct(i) = ypacct(i) + ypack(i)
        ycomp(i) = ycomp(i) + ycomp(i)
        yvisct(i) = yvisct(i) + yvisc(i)
        yedott(i) = yedott(i) + yedot(i)
20 continue
    do 25 j=1,9
        do 25 i=1,nyzone
            ypnknt(i,j) = ypnknt(i,j) + ypnk(i,j)
            ypnrpt(i,j) = ypnrpt(i,j) + ypnrp(i,j)
25 continue
c
c-----move x,y,z to primary cell if specified by icoord
    call coord
c
c-----rms deviatoric velocity for cell
c-----short-term average
    vave = sqrt(vsqp*massi)
    vavei = 0.
    if(vave.gt.0.) vavei = 1./vave
c-----long-term average
    vavet = sqrt(vsqpt*massi)
    vaveti = 0.
    if(vavet.gt.0.) vaveti = 1./vavet
c
c-----rms deviatoric velocity for y zones
    do 70 i=1,nyzone
        if(ymass(i).gt.0.) then
            ymassi(i) = 1./ymass(i)
            yvave(i) = sqrt(yvsqp(i)*ymassi(i))
            yvavei(i) = 1./yvave(i)
        else
            ymassi(i) = 0.
            yvavei(i) = 0.
            yvavei(i) = 0.
        endif
c
        if(ymasst(i).gt.0.) then
            ymassti(i) = 1./ymasst(i)
            yvavet(i) = sqrt(yvsqpt(i)*ymassti(i))
            yvaveti(i) = 1./yvavet(i)
        else
            ymassti(i) = 0.
            yvaveti(i) = 0.
            yvaveti(i) = 0.
        endif
70 continue
c
c-----print diagnostics
    open(3,file='olds', status='old', access='append')
    write(3,304) t,tlot

    write(3,313) riterv
c
    write(3,328) search,tupdt1
c
    write(3,318) (labz(i),yvave(i),yvavet(i))
    1 ,i=1,nyzone)
    write(3,318) labcell,vave,vavet
c
    write(3,334) (labz(i),ymxon(i)*massi(i),ymxon(i)*massti(i)

```

```

    ,i=1,nyzone)
    write(3,334) labcell,xmox*massi,xmox*massti
c
    write(3,317) (labz(i),yspnx(i)*ymassi(i),yspnx(i)*ymassti(i))
    1 ,i=1,nyzone)
    write(3,317) labcell,spnx*massi,spnx*massti
c
    write(3,319) (labz(i),yspny(i)*ymassi(i),yspny(i)*ymassti(i))
    1 ,i=1,nyzone)
    write(3,319) labcell,spny*massi,spny*massti
c
    write(3,321) (labz(i),yspnz(i)*ymassi(i),yspnt(i)*ymassti(i))
    1 ,i=1,nyzone)
    write(3,321) labcell,spnz*massi,spnt*massti
c
    write(3,333) (labz(i),yedot(i)*savei,yedott(i)*saveti)
    1 ,i=1,nyzone)
c
    write(3,332) (labz(i),yepack(i)*savei,ypackct(i)*saveti)
    1 ,i=1,nyzone)
c
    write(3,305) (labz(i),yekin(i)*savei,yekin(i)*saveti)
    1 ,i=1,nyzone)
    write(3,305) labcell,ekin*savei,ekint*saveti
    if(ngrcup.gt.1) write(3,305) (labg(i),gekint(i)*savei)
    1 ,gekint(i)*saveti,i=1,ngroup)
c
    write(3,306) (labz(i),yepot(i)*savei,yepott(i)*saveti)
    1 ,i=1,nyzone)
    write(3,306) labcell,epot*savei,epott*saveti
c
    write(3,307) (labz(i),yerot(i)*savei,yerott(i)*saveti)
    1 ,i=1,nyzone)
    write(3,307) labcell,erot*savei,erott*saveti
    if(ngrcup.gt.1) write(3,307) (labg(i),gerot(i)*savei)
    1 ,gerot(i)*saveti,i=1,ngroup)
c
    write(3,308) (labz(i),yekin(i)*yepot(i)+yerot(i)*savei)
    1 ,yekint(i)*yepott(i)+yerott(i)*saveti)
    2 ,i=1,nyzone)
    write(3,308) labcell,(ekin*epot+erott)*savei)
    1 ,(ekint*epott+erott)*saveti
c
    write(3,314) (labz(i),ycomp(i)*savei,ycompct(i)*saveti)
    1 ,i=1,nyzone)
    write(3,314) labcell,comp*savei,compct*saveti
c
    write(3,315) (labz(i),yvisc(i)*savei,yvisct(i)*saveti)
    1 ,i=1,nyzone)
    write(3,315) labcell,visc*savei,visct*saveti
c
    write(3,316) (labz(i),sigma*yedot(i)*savei,yvavei(i))
    1 ,sigma*yedott(i)*saveti*yvaveti(i))
    2 ,i=1,nyzone)
    write(3,316) labcell,sigma*edot*vavei)
    1 ,sigma*edot*vaveti)
c
c
    do 80 j=1,9
    write(3,309) (j,labz(i),ypnknt(i,j)*savei,ypnknt(i,j)*saveti)
    1 ,i=1,nyzone)

```

```

write(3,309) j,labcell,prnck(j)*savei,prnct(j)*saveii
continue
c
c
do 85 j=1,9
write(3,320) (j,labz(i),ypnnp(i,j))*savei,ypnnpct(i,j)*saveii
1 ,i=1,nzzone)
write(3,320) j,labcell,prnck(j)*savei,prnct(j)*saveii
85 continue
c
c
do 90 j=1,9
write(3,324) (j,labz(i),ypnnp(i,j)*ypnnpct(i,j))*savei
1 ,ypnnpct(i,j)*ypnnpct(i,j))*saveii
1 ,i=1,nzzone)
write(3,324) j,labcell,(prnck(j)*ypnnpct(j))*savei
1 ,prnckct(j)*ypnnpctct(j))*saveii
90 continue
c
c
c----- print stresses on lower y-wall particles
if(nby0.ne.0)
1 write(3,341) labw,pwall*axzi*savei,pwall*axzi*saveii,
1 labw,pywall*axzi*savei,pywall*axzi*saveii,
2 labw,pwall*axzi*savei,pwall*axzi*saveii
c
c
c-----print mass flow rates in x, y, and z directions
write(3,325) (labq(i),qflow(i))*savei
1 ,qflowct(i))*saveii,i=1,ngrpout)
write(3,326) (labq(i),qflow(ii))*savei
1 ,qflowct(ii))*saveii,i=1,ngrpout)
write(3,327) (labq(ii),qflowct(ii))*savei
1 ,qflowct(ii))*saveii,i=1,ngrpout)
c
c
c-----print coordinates
write(3,312) (i,xp(i),yp(i),zp(i),
1 qold(i),qold(ii),qold(iii),qold(iii),i=1,np)
c
c-----print deviatoric translational and rotational velocities
write(3,322) (i,vx(i)-edot*yp(ii)-vxave,vy(ii)-vyave,vz(ii)-vzave
1 vx(ii),vy(ii),vz(ii)-vxave,i=1,np)
c
c-----print translational velocity distributions
write(3,329) nvelhalf*delvx,nvelhalf*delvy
1 ,nvel,delvx,(binvxt(i)*binfi,i=1,nvel)
write(3,330) nvelhalf*delvy,nvelhalf*delvz
1 ,nvel,delvy,(binvzt(i)*binfi,i=1,nvel)
write(3,331) nvelhalf*delvx,nvelhalf*delvz
1 ,nvel,delvx,(binvxt(i)*binfi,i=1,nvel)
c
c-----print rotational velocity distributions
write(3,335) nvelhalf*delw,nvelhalf*delwx
1 ,nvel,delw,(binwxt(i)*binfi,i=1,nvel)
write(3,336) nvelhalf*delwy,nvelhalf*delvz
1 ,nvel,delwy,(binwzt(i)*binfi,i=1,nvel)
write(3,337) nvelhalf*delw,nvelhalf*delwx
1 ,nvel,delw,(binwxt(i)*binfi,i=1,nvel)
c
do 100 j=1,ngrpout

```

```

c-----print translational velocity distributions for size groups
write(3,338) labq(j),nvelhalf*delvx,nvelhalf*delvy
1 ,nvel,delvx,(qbinvxt(i,j)*binfi,i=1,nvel)
write(3,339) labq(j),nvelhalf*delvy,nvelhalf*delvz
1 ,nvel,delvy,(qbinvzt(i,j)*binfi,i=1,nvel)
write(3,340) labq(j),nvelhalf*delvx,nvelhalf*delvz
1 ,nvel,delvx,(qbinvxt(i,j)*binfi,i=1,nvel)
100 continue
c
if(itty.eq.1) then
write(59,501) t,ekin*savei,ekin*saveii
1 ,epot*savei,epot*saveii,erot*savei,erot*saveii
2 ,ekin*epot*erot*savei,(ekin*epot*erotct)*saveii
3 ,comp*savei,comp*saveii,visc*savei,visc*saveii
read(59,502) lstopt
endif
c
close(3)
c-----initialise short-term averages
call initcuml
c
return
c
351 format(1x,10a8)
352 format(1x,'e3dshear version ',a8)
353 format(
4 ' np = ',15.5x,' Stotal particles',/,
4 ' nxyzp0 = ',15.5x,' Sbnrd. particles in x-dir. at y = zero',/,
4 ' nxyzq0 = ',15.5x,' Sbnrd. particles in x-dir. at y = ycell',/,
4 ' nxyzp1 = ',15.5x,' Sbnrd. particles in x-dir. at y = ycell',/,
4 ' nxyzq1 = ',15.5x,' Sbnrd. particles in x-dir. at z = zero',/,
4 ' nxyzr0 = ',15.5x,' Sbnrd. particles in x-dir. at z = zero',/,
4 ' nxyzr1 = ',15.5x,' Sbnrd. particles in x-dir. at z = zcell',/,
4 ' nxyzl = ',15.5x,' Sbnrd. particles in y-dir. at z = zcell',/,
4 ' nfix = ',15.5x,' Sother fixed planes',/,
4 ' nfxpl = ',15.5x,' Snumber of fixed planes',/,
4 ' nzcyl = ',15.5x,' Snumber of cylinders parallel to z axis',/,
4 ' nout = ',15.5x,' Snumber of times to write file olds',/,
4 ' noutx = ',15.5x,' Snumber of times to write file oldx',/,
4 ' noutv = ',15.5x,' Snumber of times to write file oldv',/,
4 ' nczero = ',15.5x,' Sest. collisions to restart of cum ave',/,
4 ' nczex = ',15.5x,' Sest. collisions for entire run',/,
4 ' nvel = ',15.5x,' Stime steps during collision',/,
4 ' nvel = ',15.5x,' Snumber of intervals for vel. distrib.}')
354 format(
4 ' ndump = ',15.5x,' Snumber of times to write dump file',/,
4 ' nyzone = ',15.5x,' Snumber of y zones for diagnostics',/,
4 ' iterm = ',15.5x,' Smax iterations per time step',/,
4 ' ireal = ',15.5x,' Sflag for type of boundaries',/,
4 ' imirr = ',15.5x,' Sflag for mirror boundaries',/,
4 ' lzeta = ',15.5x,' Sflag for holding kin energy constant',/,
4 ' lccord = ',15.5x,' Sflag for coordinates print out',/,
4 ' lquat = ',15.5x,' Sflag for rotations print out',/,
4 ' lity = ',15.5x,' Sflag for tty interaction',/,
4 ' lbertz = ',15.5x,' Sflag for bertz power law',/,
4 ' lstart = ',15.5x,' Sflag for restart dump',/,
4 ' lskk = ',15.5x,' Sflag for alt. usage of skib et al.',/,
4 ' lxyz = ',15.5x,' Sflag to read coords, 0=fixed, 1=fixbound,
4 2=all*)

```

```

355 format(lp,
  & " tmax = ",e11.4," Smax time for run",/
  & " dt = ",e11.4," Stime step",/
  & " dtout = ",e11.4," Stime interval for writing file o3ds",/
  & " dtoutx = ",e11.4," Stime interval for writing file o3dxx",/
  & " dtoutv = ",e11.4," Stime interval for writing file o3dv",/
  & " dtidump = ",e11.4," Stime interval for dumping",/
  & " tzero = ",e11.4," Sstart cumulative averaging",/
  & " edot = ",e11.4," Sstrain rate",/
  & " epsv = ",e11.4," Srel. error tol. for packing fraction",/
  & " xcell = ",e11.4," Sx cell length",/
  & " ycell = ",e11.4," Sy cell length",/
  & " zcell = ",e11.4," Sz cell length",/
  & " xyrat = ",e11.4," Sx/y cell length ratio",/
  & " zyrat = ",e11.4," Sz/y cell length ratio",/
  & " pack = ",e11.4," Ssolid packing fraction",/
  & " vave = ",e11.4," Saverage deviatoric transl. velocity",/
  & " vseed = ",e11.4," Sseed for random velocities")
370 format(lp,
  & " wxzero = ",e11.4," Sinitial x- rot. vel. active particles",/
  & " wyzero = ",e11.4," Sinitial y- rot. vel. active particles",/
  & " wzzero = ",e11.4," Sinitial z- rot. vel. active particles",/
  & " wzy1 = ",e11.4," Srotational vel. 1st z-cylinder (ndry)")
384 format(lp,
  & " wxzero = ",e11.4," Sinitial non-dev. transl. vel. in x-dir.",/
  & " wyzero = ",e11.4," Sinitial non-dev. transl. vel. in y-dir.",/
  & " wzzero = ",e11.4," Sinitial non-dev. transl. vel. in z-dir.",/
  & " sml = ",e11.4," Snormal force coefficient",/
  & " smlb = ",e11.4," Sditto for boundary/fixed particles",/
  & " elast = ",e11.4," SCoefficient of restitution",/
  & " elastb = ",e11.4," Sditto for boundary/fixed particles",/
  & " slope = ",e11.4," Salternative parameter for unloading",/
  & " slopeb = ",e11.4," Sditto for boundary/fixed particles",/
  & " dash1 = ",e11.4," Slinear viscous damping coefficient",/
  & " dash2 = ",e11.4," Soverlap weighted damping coefficient",/
  & " tau = ",e11.4," SRatio of tangential/normal stiffness",/
  & " fuk = ",e11.4," SCoefficient of friction",/
  & " fukb = ",e11.4," Sfriction for bndry or fixed particles",/
  & " drag = ",e11.4," Svelocity squared drag force coefficient")
397 format(lp,
  & " power = ",e11.4," Stangential force exponent",/
  & " massz = ",e11.4," Smass of particle having unit radius",/
  & " tstart = ",e11.4," Stime to restart run",/
  & " gravx = ",e11.4," Sacceleration of gravity in x direction",/
  & " gravy = ",e11.4," Sacceleration of gravity in y direction",/
  & " gravz = ",e11.4," Sacceleration of gravity in z direction",/
  & " vbx0 = ",e11.4," Sx-vel. of xz-boundary particle (y=zero)",/
  & " vby1 = ",e11.4," Sy-vel. of xz-boundary particle (y=ycell)",/
  & " vby0 = ",e11.4," Sy-vel. of xz-boundary particle (y=zero)",/
  & " vbx1 = ",e11.4," Sx-vel. of xz-boundary particle (y=ycell)",/
  & " vby1 = ",e11.4," Sy-vel. of xz-boundary particle (y=ycell)",/
  & " vbx0 = ",e11.4," Sx-vel. of xz-boundary particle (y=zero)",/
  & " vby1 = ",e11.4," Sy-vel. of xz-boundary particle (y=ycell)")
398 format(lp,
  & " search = ",e11.4," Sdistance for near-neighbor search",/
  & " mxz = ",e11.4," SMaximum allowable abs(x-coordiante)",/
  & " draddt = ",e11.4," Srate of increase of particle radii",/
  & " ystart = ",e11.4," Sy-coordinate of bottom of first yzone",/
  & " ystop = ",e11.4," Sy-coordinate of top of last yzone",/
  & " number = ",10(i5,5x),/2lx," Sparticles in each size group",/
  & " radius = ",10(e10.3),/2lx," Sparticle radius for group",/
  & " mass = ",10(e10.3),/2lx," Sparticle mass for group")

```

```

c
359 format(lp,
  & " tfinis = ",e11.4," Ssend")
c
360 format(lp,/, " particle radii",/
  & (1x,5(i5,e11.4),/))
c
361 format(lp,/, " particle masses",/
  & (1x,5(i5,e11.4),/))
c
362 format(lp,/, " mcrents of inertia",/
  & (1x,5(i5,e11.4),/))
d
363 format(/,/, " Computer time used (min) = ",1p(13.7))
c
304 format(/,1x,***time = ",1p,e12.4,/
  1 1x,"Cumulative computer time (s) = ",e12.4)
313 format(1x,"average number of iterations = ",1p,e12.4)
328 format(1x,"search radius-near neighbors = ",e12.4,/
  1 1x,"last update time = ",1p,e12.4)
318 format(1x,"rms deviatoric vel ",a8," = ",1p,e12.4)
334 format(1x,"mean total x vel ",a8," = ",1p,e12.4)
333 format(1x,"strain rate ",a8," = ",1p,e12.4)
332 format(1x,"packing fraction ",a8," = ",1p,e12.4)
335 format(1x,"trans. kin. energy ",a8," = ",1p,e12.4)
336 format(1x,"trans. pot. energy ",a8," = ",1p,e12.4)
327 format(1x,"rot. kin. energy ",a8," = ",1p,e12.4)
303 format(1x,"total energy ",a8," = ",1p,e12.4)
317 format(1x,"spin ang. mom. (x) ",a8," = ",1p,e12.4)
319 format(1x,"spin ang. mom. (y) ",a8," = ",1p,e12.4)
321 format(1x,"spin ang. mom. (z) ",a8," = ",1p,e12.4)
314 format(1x,"compressibility ",a8," = ",1p,e12.4)
315 format(1x,"viscosity ",a8," = ",1p,e12.4)
316 format(1x,"savege vel. ratio ",a8," = ",1p,e12.4)
309 format(1x,"stress : kin. (",11,") ",a8," = ",1p,e12.4)
320 format(1x,"stress : pot. (",11,") ",a8," = ",1p,e12.4)
324 format(1x,"stress : tot. (",11,") ",a8," = ",1p,e12.4)
325 format(1x,"mass flux (x) ",a8," = ",1p,e12.4)
326 format(1x,"mass flux (y) ",a8," = ",1p,e12.4)
327 format(1x,"mass flux (z) ",a8," = ",1p,e12.4)
312 format(/,3x,"1",2x,"x(i)",6x,"(i)",8x,"z(i)",6x,"zi(i)"
  1 1x,"eta(i)",6x,"zeta(i)",5x,"chi(i)"
  2 1p,/(1x,14,7e12.4))
322 format(/,3x,"1",2x,"x(i)",7x,"y(i)",7x,"vz(i)",7x
  1 1x,"wz(i)",7x,"vy(i)",7x,"vz(i)"
  2 1p,/(1x,14,6e12.4))
323 format(1x,"distribution of vx ("",1p,e11.4," to ",e11.4,
  1 " in ",i3," steps of ",e11.4,"",/,(1x,10e11.4))
330 format(1x,"distribution of vy ("",1p,e11.4," to ",e11.4,
  1 " in ",i3," steps of ",e11.4,"",/,(1x,10e11.4))
331 format(1x,"distribution of vz ("",1p,e11.4," to ",e11.4,
  1 " in ",i3," steps of ",e11.4,"",/,(1x,10e11.4))
335 format(1x,"distribution of wx ("",1p,e11.4," to ",e11.4,
  1 " in ",i3," steps of ",e11.4,"",/,(1x,10e11.4))
336 format(1x,"distribution of wy ("",1p,e11.4," to ",e11.4,
  1 " in ",i3," steps of ",e11.4,"",/,(1x,10e11.4))
337 format(1x,"distribution of wz ("",1p,e11.4," to ",e11.4,
  1 " in ",i3," steps of ",e11.4,"",/,(1x,10e11.4))
c
338 format(1x,"distrib",a8," vx ("",1p,e11.4," to ",e11.4,
  1 " in ",i3," steps of ",e11.4,"",/,(1x,10e11.4))

```

```

339 format(1x,"distrib ",a8," vy (" ,lp,ell.4," to ",ell.4,
1 " in ",i3," steps of ",ell.4,")"/,(1x,10ell.4))
340 format(1x,"distrib ",a8," vz (" ,lp,ell.4," to ",ell.4,
1 " in ",i3," steps of ",ell.4,")"/,(1x,10ell.4))
341 format(1x,"boundary x-stress ", a8, " = ",lp,2el2.4/,
1 lx,"boundary y-stress ", a8, " = ",2el2.4/,
2 lx,"boundary z-stress ", a8, " = ",2el2.4)
c
501 format(" time = ",lp,el2.4," ekin = ",2el2.4/,
1 20x," epot = ",2el2.4/,
2 20x," erot = ",2el2.4/,
3 20x," etot = ",2el2.4/,
5 20x," cusp = ",2el2.4/,
6 20x," visc = ",2el2.4/,
8 " to stop calculation, type -1, otherwise return")
502 format(i2)
end

subroutine coord
include 's3dscomm'
if(iicord.eq.0) then
c-----move coordinates back to primary cell for printout
if(iireal.eq.0) then
c-----y-coordinate in primary cell
do 35 i=ind1,ind2
yshift = ycell*int(y(i)*ycell1)
if(y(i).lt.0.) yshift = yshift - ycell
yp(i) = y(i) - yshift
c-----shear correction to x-coordinate
xp(i) = x(i) - yshift*(edot*tshift - int(edot*tshift))
c-----shear correction to z-coordinate
zp(i) = z(i)
35 continue
c-----no shear corrections for fixed particles
if(infix.gt.0).or.(infxpl.gt.0)) then
do 35 i=ind1fx,ind2fp
xp(i) = x(i)
yp(i) = y(i)
zp(i) = z(i)
35 continue
endif
else
c-----no y shift or shear correction for any particles when ireal.ne.0
do 40 i=1,np
xp(i) = x(i)
yp(i) = y(i)
zp(i) = z(i)
40 continue
endif
c-----shift x-coordinate into primary cell
do 50 i=1,np
xp(i) = xp(i) - xcell*int(xp(i)*xcell1)
if(xp(i).lt.0.) xp(i) = xp(i) + xcell
50 continue

if(iireal.lt.2) then
c-----shift z-coordinate into primary cell
do 55 i=1,np
zp(i) = zp(i) - zcell*int(zp(i)*zcell1)
if(zp(i).lt.0.) zp(i) = zp(i) + zcell
55 continue
endif
return
end

c
c *****
c *
c *
c *
c *
c *
c *
c *****

subroutine o3dprout(iffirst)
include 's3dscomm'

if(iffirst.eq.0) then
open(8,file='o3dv',status='unknown')
write(8,301) (title(i),i=1,10)
write(8,300) version
write(8,302) (number(i),i=1,nrgroup)
write(8,303) (radius(i),i=1,nrgroup)
else
open(8,file='o3dv',status='old',access='append')
write(8,304) t
c-----write linear velocities and angular velocities of all particles
write(8,305) (vx(i),vy(i),vz(i),wx(i),wy(i),wz(i),i=1,np)
c-----increment time for writing file o3dv
toutv = toutv + dtoutv
endif
close(8)

return

300 format(1x,'s3dshear version ',a8)
301 format(1x,10a8)
302 format(1x,'number ',10(1x,15,5x))
303 format(1x,'radius ',10(1p11.3))
304 format(1x,' time ',1p1e2.4)
305 format(6(1p1e13.5))
end

c
c *****
c *
c *
c *
c *
c *
c *
c *****

```

```

c + * **** * * * * * * *
c + * * * * * * * * * * *
c + * * * * * * * * * * *
c ***** ***** * * * * *
c

      subroutine o3dxrot (ifirst)
      include 's3dscm'
c -----variables for successive rotation angles about *x, *y, and *z
      real*8 rot(3,3),angx,angy,angz
      if(ifirst.eq.0) then
          open(7,file='o3dx',status='unknown')
          write(7,301) (title(i),i=1,10)
          write(7,300) version
          write(7,302) (number(i),i=1,ngroup)
          write(7,303) (radius(i),i=1,ngroup)
          write(7,306) xcell, ycell, zcell
      else
c -----write out rotations to file o3dx
          open(7,file='o3dx',status='old', access='append')
          write(7,304) t
          fact = 180./pi
          halphi = 0.5*pi
          twopi = 2.*pi
          do 10 i=1,np

c -----calculate rotation matrix from quaternions
          call matrot(qold(i),qoldid(i),qoldid(i),rot)
c -----calculate successive rotation angles about *x, *y, and *z
          call angles(tot,angx,angy,angz,halphi,twopi)
c -----move x,y,z to primary cell, if specified by lcoord
          call coord

c -----write position and rotation angles
          write(7,305) xp(i),yp(i),zp(i),angx,angy,angz
10         continue
c -----increment time for writing file o3dx
          toutx = toutx + dtoutx
          endif
          close(7)
          return

300 format(ix,'s3dshear version ',a8)
301 format(ix,10a8)
302 format(ix,'number ',10(ix,15,5x))
303 format(ix,'radius ',10(1p11.3))
304 format(ix,' time ',1p12.4)
305 format(6(1p13.5))
306 format(ix,'xcell_ycell_zcell ',1p3e13.5)
      end

      subroutine o3dxqput (ifirst)
      include 's3dscm'
      if (ifirst.eq.0) then
          open(9,file='o3dxq',status='unknown')
          write(9,301) (title(i),i=1,10)
          write(9,300) version
          write(9,302) (number(i),i=1,ngroup)
          write(9,303) (radius(i),i=1,ngroup)
          write(9,306) xcell, ycell, zcell
      else
c -----write out quaternions to file o3dxq
          open(9,file='o3dxq',status='old', access='append')
          write(9,304) t
          do 10 i=1,np

```

```

c -----move x,y,z to primary cell, if specified by lcoord
      call coord
c -----write position and quaternions
      write(9,305) xp(i),yp(i),zp(i),qold(i),qoldid(i),qoldid(i),
10         qoldid(i)
c -----increment time for writing files o3dxq
          toutx = toutx + dtoutx
          endif
          close(9)
          return
300 format(ix,'s3dshear version ',a8)
301 format(ix,10a8)
302 format(ix,'number ',10(ix,15,5x))
303 format(ix,'radius ',10(1p11.3))
304 format(ix,' time ',1p12.4)
305 format(7(1p13.5))
306 format(ix,'xcell_ycell_zcell ',1p3e13.5)
      end

      subroutine matrot(q1,q2,q3,q4,r)
c -----rotation matrix (r) from quaternions (q1)
      real*8 q1,q2,q3,q4,r(3,3)

      r(1,1) = -q1*q1 + q2*q2 - q3*q3 + q4*q4
      r(2,2) = q1*q1 - q2*q2 - q3*q3 + q4*q4
      r(3,3) = -q1*q1 - q2*q2 + q3*q3 + q4*q4

      r(2,1) = -2*(q2*q3 + q1*q2)
      r(1,2) = 2*(q3*q4 - q1*q2)

      r(3,1) = 2*(q2*q3 - q1*q4)
      r(1,3) = 2*(q2*q3 + q1*q4)

      r(3,2) = -2*(q2*q4 + q1*q3)
      r(2,3) = 2*(q2*q4 - q1*q3)

      return
      end

```

```

      subroutine angles(r,x,y,z,ctx,sv,fx,halphi,twopi)
c -----calculate successive rotation about *x, *y, *z from rotation matrix
      real*8 r(3,3),x,y,z,ctx,sv,fx,halphi,twopi

      if(1.-abs(r(3,1)).lt.1.e-12) then
          x = atan2(r(1,2),r(2,2))
          y = sign(halphi,r(3,1))
          z = 0.
      else
          x = atan2(-r(3,2),r(3,3))
          z = atan2(-r(2,1),r(1,1))
          cx = cos(x)
          sx = sin(x)
          if(abs(sx).gt.abs(cx)) then
              fx = abs(r(3,2)/sx)
              y = atan2(r(3,1),fx)
          else
              fx = abs(r(3,3)/cx)
              y = atan2(r(3,1),fx)
          endif
      end

```

```

endif
x = mod(x+twopl,twopl)
y = mod(y+twopl,twopl)
z = mod(z+twopl,twopl)
return
end

c
c ***** **
c * * * * *
c * * * * *
c * * * * *
c *****
c * * * * *
c * * * * *
c * * * * *
c * * * * *
c *****
c
      subroutine packing(index1,index2,pak)
      include 'Sdscom'
      real*4 randf
      real*8 rot(3,3)
      real pak
c-----this subroutine estimates the packing fraction of
c-----boundary particles and/or other fixed particles in cell
c
c-----pick itot randm locations
      ivol = 0
      do 10 i=1,itot
        xi = randf(0.)*xcell
        yi = randf(0.)*ycell
        zi = randf(0.)*zcell
c
c-----is the random location within a particle in the specified range
        do 5 j=index1,index2
          rx = x(j) - xi
          ry = y(j) - yi
          rz = z(j) - zi
c
c-----cylinders
          if(j.ge.indlctz) rz = 0.
c-----boundary planes
          if(((j.eq.indly0).and.(nby0.eq.1)).or.
1         ((j.eq.indly1).and.(nby1.eq.1))) then
            rx = 0.
            rz = 0.
          elseif(((j.eq.indlz0).and.(nbz0.eq.1)).or.
1         ((j.eq.indlz1).and.(nbz1.eq.1))) then
            rx = 0.
            ry = 0.
            rz = 0.
          endif
c
c-----find nearest image delta x
          rx = rx - xcell*int(rx*xcelli)
          if(abs(rx).gt.xcellh) rx = rx - sign(xcell,rx)
c
          if(ireal.lt.1) then
c-----find nearest image delta-y
            ry = ry - ycell*int(ry*ycelli)
            if(abs(ry).gt.ycellh) ry = ry - sign(ycell,ry)
            endif
c
          if(ireal.lt.2) then
c-----find nearest image delta z

```

```

      rz = rz - zcell*int(rz*zcelli)
      if(abs(rz).gt.zcellh) rz = rz - sign(zcell,rz)
      endif
c
c-----fixed planes
      if(((j.ge.indfxp).and.(j.le.indzfp)) then
        xplanh = xplnh(j)
        zplanh = zplnh(j)
c-----rotate coordinate system to make plane horizontal
        call matrot(qold(j),qold(j),qold(j),-qold(j),rot)
        rxr = rx*rot(1,1) + ry*rot(1,2) + rz*rot(1,3)
        ryr = rx*rot(2,1) + ry*rot(2,2) + rz*rot(2,3)
        zrz = rx*rot(3,1) + ry*rot(3,2) + rz*rot(3,3)
c-----detect borders of plane
        if(abs(xrz).gt.xplanh) then
          rxr = rxr - sign(xplanh,rxr)
        else
          rxr = 0
        endif
        if(abs(rzr).gt.zplanh) then
          rzr = rzr - sign(zplanh,rzr)
        else
          rzr = 0
        endif
c-----rotate back the coordinate system
        call matrot(qold(j),qold(j),qold(j),qold(j),rot)
        rx = rxr*rot(1,1) + ryr*rot(1,2) + zrz*rot(1,3)
        ry = rxr*rot(2,1) + ryr*rot(2,2) + zrz*rot(2,3)
        rz = rxr*rot(3,1) + ryr*rot(3,2) + zrz*rot(3,3)
        endif
c
      r1jsq = rx*rx + ry*ry + rz*rz
c
c**** if(r1jsq.le.radz(j)**2) then
      if(sign(r1jsq,radz(j)).le.sign(radz(j)**2,radz(j))) then
        ivol = ivol + 1
        goto 10
      endif
c
c 5 continue
c
c 10 continue
c
c-----estimated packing fraction of these particles
      pak = float(ivol)/float(itot)
      return
      end
c
c ***** **
c * * * * *
c * * * * *
c * * * * *
c *****
c * * * * *
c * * * * *
c * * * * *
c * * * * *
c *****
c
      function randf (r)
c***begin prologue randf
c***revision date 811015 (jymzdd)
c***category no. gpe
c***keywords random number, uniform, special function

```

```
c***date written april 1977
c***author fullerton w. (lasl)
c***purpose
c generates a uniformly distributed random number.
c***description
c april 1977 version. w. fullerton, c3, los alamos scientific lab.
c
c this pseudo-random number generator is portable among a wide
c variety of computers. randf(i) undoubtedly is not as good as many
c readily available installation dependent versions, and so this
c routine is not recommended for widespread usage. its redesign
c feature is that the exact same random numbers (to within final round-
c off error) can be generated from machine to machine. thus, programs
c that make use of random numbers can be easily transported to and
c checked in a new environment.
c the random numbers are generated by the linear congruential
c method described, e.g., by knuth in seminumerical methods (p.9),
c addison-wesley, 1969. given the i-th number of a pseudo-random
c sequence, the i+1 -st number is generated from
c
c  $x(i+1) = (a*x(i) + c) \text{ mod } m,$ 
c where here  $m = 2**22 = 4194304$ ,  $c = 1731$  and several suitable values
c of the multiplier a are discussed below. both the multiplier a and
c random number x are represented in double precision as two 11-bit
c words. the constants are chosen so that the period is the maximum
c possible, 4194304.
c in order that the same numbers be generated from machine to
c machine, it is necessary that 23-bit integers be reducible modulo
c 2**11 exactly, that 23-bit integers be added exactly, and that 11-bit
c integers be multiplied exactly. furthermore, if the restart option
c is used (where r is between 0 and 1), then the product  $r*2**22 =$ 
c  $r*4194304$  must be correct to the nearest integer.
c the first four random numbers should be .0004127026,
c .6750836372, .1614754200, and .9086198807. the tenth random number
c is .5527787209, and the hundredth is .3600893021. the thousandth
c number should be .1716990509.
c in order to generate several effectively independent sequences
c with the same generator, it is necessary to know the random number
c for several widely spaced calls. the i-th random number times 2**22,
c where  $i \leq p/8$  and p is the period of the sequence ( $p = 2**22$ ), is
c still of the form  $1/p/8$ . in particular we find the i-th random
c number multiplied by 2**22 is given by
c
c  $c1 = 0 \ 1/p/8 \ 2/p/8 \ 3/p/8 \ 4/p/8 \ 5/p/8 \ 6/p/8 \ 7/p/8 \ 8/p/8$ 
c  $randf(i) = 0 \ 5/p/8 \ 2/p/8 \ 7/p/8 \ 4/p/8 \ 1/p/8 \ 6/p/8 \ 3/p/8 \ 0 \ 5$ 
c thus the  $4/p/8 = 2097152$  random number is 2097152/2**22.
c several multipliers have been subjected to the spectral test
c (see knuth, p. 82). four suitable multipliers roughly in order of
c goodness according to the spectral test are
c
c  $3146245 = 1536*2048 - 1029 = 2**21 - 2**20 + 2**10 + 5$ 
c  $2098181 = 1024*2048 + 1029 = 2**21 + 2**20 + 5$ 
c  $3146245 = 1536*2048 + s17 = 2**21 + 2**20 + 2**9 + 5$ 
c  $2776669 = 1355*2048 + 1629 = 5**9 + 7**7 + 1$ 
c
c in the table below  $\log_{10}(nu(i))$  gives roughly the number of
c random decimal digits in the random numbers considered i at a time.
c it is the primary measure of goodness. in both cases bigger is better.
c
c
c
```

```

c 3146245 3.3 2.2 1.5 1.1 3.2 4.2 1.1 0.4
c 2776669 3.3 2.1 1.6 1.3 2.5 2.0 1.9 2.6
c
c best
c possible 3.3 2.3 1.7 1.4 3.6 5.9 9.7 14.9
c
c
c input argument --
c if ne0., the next random number of the sequence is generated.
c if r.lt.0., the last generated number will be returned for
c possible use in a restart procedure.
c if r.gt.0., the sequence of random numbers will start with the
c seed r mod 1. this seed is also returned as the value of
c randf1 provided the arithmetic is done exactly.
c
c
c output value --
c randf1 a pseudo-random number between 0. and 1.
c
c ia1 and ia0 are the hi and lo parts of a. ia1a0 = ia1 - ia0.
c
c***references
c***routines called (none)
c***end protogoe randf1
c data ia1, ia0, ia1a0 /1536, 1029, 507/
c data ic /1731/
c data ixl, ix0 /0, 0/
c***first executable statement randf1
c if (r.lt.0.) goto 10
c if (r.gt.0.) goto 20
c
c a*x = 2**22*ia1*ix1 + 2**11*ia1*ix1 + (ia1-ia0)*(ix0-ix1)
c + ia0*ix0
c
c
c iy0 = ia0*ix0
c iy1 = ia1*ix1 + ia1a0*(ix0-ix1) + iy0
c iy2 = iy0 + ic
c ix0 = mod (iy0, 2048)
c iy1 = iy1 + (iy0-ix0)/2048
c ix1 = mod (iy1, 2048)
c
c
c 10 randf1 = ix1/2048 + ix0
c randf1 = randf1 / 4194304.
c return
c
c 20 ix1 = amod(r,1.)*4194304. + 0.5
c ix0 = mod (ix1, 2048)
c ix1 = (ix1-ix0)/2048
c goto 10
c
c
c
c
c
c
c
c
c
c *****
c * * * * *
c * * * * *
c * * * * *
c * * * * *
c * * * * *
c * * * * *
c * * * * *
c * * * * *
c * * * * *
c * * * * *
c * * * * *
c * * * * *
c * * * * *
c * * * * *
c * * * * *
c *****
c
c
c subroutine update
c include 's3dscm'
c real*4 randf1
c real*8 rot(3,3)
```

CODIGO FUENTE

```

c this subroutine checks all particle pairs and updates the near-
neighbor arrays for all active particles
c
10 do 500 i=imin,imax
do 500 j=i+1,ip
c
    rsum = rad(i) + rad(j)
    rsum2 = rsum*rsum
c
c-----delta x and delta y
    rx = x(j) - x(i)
    ry = y(j) - y(i)
    rz = z(j) - z(i)
c
c-----Cylinders
    if((j.ge.indlcz).and.(nz0.eq.0)).or.
c-----boundary planes
    if(((j.eq.indly0).and.(nby0.eq.1)).or.
1      ((j.eq.indly1).and.(nby1.eq.1))) then
        rx = 0.
        ry = 0.
        if((j.eq.indly1).and.(lmirr.eq.1)) then
c-----mirror on yzcell
            rsum = rad(i) + rad(i)
            rsum2 = rsum*rsum
            ry = 2.*(ry - rad(j)*browm(i))
            endif
        elseif(((j.eq.indlz0).and.(nbz0.eq.1)).or.
1          ((j.eq.indlz1).and.(nbz1.eq.1))) then
            rx = 0.
            ry = 0.
            endif
c
c if(ireal.eq.0) then
c-----find nearest image delta-y
    inty = (ry + xcellh)*ycelli + 10.
    yshift = inty - 10
    ry = ry - yshift*ycell
c-----shear correction to delta x
    rx = rx - yshift*(edot*tshift - int(edot*tshift))
    endif
c
c-----find nearest image delta x
    intx = (rx + xcellh)*xcelli + 10.
    intx = intx - 10
    rx = rx - intx*xcell
c
c if(ireal.lt.2) then
c-----find nearest image delta z
    intz = (rz + xcellh)*zcelli + 10.
    intz = intz - 10
    rz = rz - intz*zcell
    endif
c
c-----fixed planes
    if((j.ge.indfxp).and.(j.le.indfxp)) then
        xplanh = xplnh(j)
        zplanh = zplnh(j)
c-----rotate coordinate system to make plane horizontal
        call matrot(qold(j),q2old(j),q3old(j),-q4old(j),rot)
        rrx = rx*rot(1,1) + ry*rot(1,2) + rz*rot(1,3)
        rry = rx*rot(2,1) + ry*rot(2,2) + rz*rot(2,3)
        rrz = rx*rot(3,1) + ry*rot(3,2) + rz*rot(3,3)
c-----detect borders of plane
        if(abs(xrz).gt.xplanh) then
            rrx = rrx - sign(xplanh,rxz)
        else
            rrx = 0
        endif
        if(abs(xrz).gt.zplanh) then
            rrz = rrz - sign(zplanh,rrz)
        else
            rrz = 0
        endif
c-----rotate back the coordinate system
        call matrot(qold(j),q2old(j),q3old(j),q4old(j),rot)
        rx = rrx*rot(1,1) + rry*rot(1,2) + rrz*rot(1,3)
        ry = rrx*rot(2,1) + rry*rot(2,2) + rrz*rot(2,3)
        rz = rrx*rot(3,1) + rry*rot(3,2) + rrz*rot(3,3)
    endif
c
    rijsq = rx*rx + ry*ry + rrz*rrz
    rnear2 = (rsum + search)**2
c
c**** if(rijsq.gt.rnear2) goto 500
    if(((rad(j).gt.0.).and.(rijsq.gt.rnear2)).or.
> ((rad(j).lt.0.).and.(rijsq.lt.rnear2))) goto 500
c
c-----check to see if j is already in i's list
    jdx = nbor(i)
    if(jdx.eq.0) goto 200
    idx = 12or1*jdx - ilor0
    100 jj=idx(idx)
    if(j.eq.jj) goto 500
    if(not(idx).eq.0) goto 220
    jdx = next(idx)
    idx = 12or1*jdx - ilor0
    goto 100
c
c----- this will be first entry in i's list
c----- if((rijsq.le.rsum2).and.(t.gt.0.).and.(lextra.ge.100))goto 700
200 if(((rad(j).gt.0.).and.(rijsq.lt.rsum2).and.(t.gt.0.).and.
1 (lextra.ge.100)).or.
2 ((rad(j).lt.0.).and.(rijsq.gt.rsum2).and.(t.gt.0.).and.
3 (lextra.ge.100))) goto 700
c
    jdxnew = mt1
    idxnew = 12or1*jdxnew - ilor0
    nbor(i) = jdxnew
    goto 300
c
c----- add this entry to end of i's list
c----- if((rijsq.le.rsum2).and.(t.gt.0.).and.(lextra.ge.100))goto 700
220 if(((rad(j).gt.0.).and.(rijsq.lt.rsum2).and.(t.gt.0.).and.
1 (lextra.ge.100)).or.
2 ((rad(j).lt.0.).and.(rijsq.gt.rsum2).and.(t.gt.0.).and.
3 (lextra.ge.100))) goto 700
c
    jdxnew = mt1
    idxnew = 12or1*jdxnew - ilor0
    next(idx) = jdxnew
    300 int1 = 12or1*mt1 - ilor0

```



```

if(next(intl).eq.0) then
c----- utilize previously unused linked-list storage space
  mt1 = mt1 + nwd
  if(intl.gt.maxd) goto 600
  intl = i2or1*mt1 - ilor0
  next(intl) = 0
c----- set llused to the largest index ever used in linked list
  llused = mt1 + nwd
  illused = i2or1*llused - ilor0
  else
c----- use previously released storage in 'empty' (i.e. 'mt' list)
  mt1 = next(intl)
endif
c
c----- initialize entries in linked list for this neighbor
  ndx(idnew) = j
  next(idnew) = 0
  a(jdnew) = 0
  a0(jdnew) = 0
  fn(jdnew) = 0
  tfr(jdnew) = 0
  tfy(jdnew) = 0
  tfr(jdnew) = 0
  tm(jdnew) = 0
  If((j.eq.indly1).and.(lnirr.eq.1)) brown(i) = 1. + randfl(0.)
500 continue
c
c----- reset parameters for testing when update is needed
  tupdt1 = t
  delrup = 0.
  return
c
c----- storage is full, reduce search and update time by 10%
  600 search = search * .90
c  retrieve last storage location in available memory
  mt1 = mt1 - nwd
  if(jdnew.eq.next(idx)) next(idz) = 0
  if(jdnew.eq.nebor(i)) nebor(i) = 0
  if(dmax.gt.half*search) then
    open (3,file='o3ds',status='unknown', access='append')
    write(3,1000)
    write(*,1000)
    call exit(1)
  endif
  call deletem
  goto 10
c
c----- error near neighbor found after overlap occurred - call exit
  700 open (3,file='o3ds',status='unknown', access='append')
  write (3,1700) i,j,1,rad(i),x(i),y(i),z(i),j,rad(j),x(j),y(j),z(j)
  > ,rx,ry,rz,t,search,tupdt1,dmax,delrup,near2,rijsq,rsum
  write (*,1700) i,j,1,rad(i),x(i),y(i),z(i),j,rad(j),x(j),y(j),z(j)
  > ,rx,ry,rz,t,search,tupdt1,dmax,delrup,near2,rijsq,rsum
  call exit(1)
c----- ran out of particles
  800 open (3,file='o3ds',status='unknown',access='append')
  write (3,fmt='("ran out of particles, time: ',e10.3)')t
  write (*,fmt='("ran out of particles, time: ',e10.3)')t
  call exit(1)

```

```

1000 format(' error - attempting to set search less than max',
  > ' displacement in last timestep')
1700 format(' error exit from subroutine update - ',/,
  1 " near neighbor found after overlap, particles - ",i5," and",i6,
  2 /," no. ",i4," rad",f8," ",i1x,"y",i1x,"z",
  3 /," lx,i5,lp,4el2.4,/, lx,i5,4el2.4,/, rx,ry,rz = ",7x,3el2.4,
  5 /," time=",e12.4," search=",e12.4," tupdt1=",e12.4,
  6 /," dmax=",e12.4," delrup=",e12.4," near2=",e12.4,
  7 /," rijsq=",e12.4," rsum=",e12.4)
c
end

```

Archivos de entrada

Corrida 1. Simetría en el eje vertical

```
i3ds001 35deg silo e=0.85, k=2000, fmu=0.5, fmb=0.65
$var np = 7004 $end total number of particles in cell
$var nfix = 0 $end number of fixed particles (lower boundary on
plane)
$var nout = 0 $end number of times to print out results
$var noutv = 0 $end number of times to print out velocities
$var nczero = 0 $end number of collisions before start cum. ave.
$var ncmx = 0 $end number of collisions during entire run
$var ntccl = 40 $end number of timesteps during a collision.
$var nyzone = 1 $end number of y zones
$var nvel = 1 $end number of velocity intervals
$var itervm = 1 $end max iterations per time step
$var iredal = 1 $end flag for periodic boundaries
$var imirr = 1 $end flag for mirror boundaries
$var nxbz0 = 1 $end no. boundary particles in x-dir. at y = zero
$var nzby0 = 1 $end no. boundary particles in z-dir. at y = zero
$var nxbz1 = 1 $end no. boundary particles in x-dir. at y = ycell
$var nzby1 = 1 $end no. boundary particles in z-dir. at y = ycell
$var nxbz0 = 0 $end no. boundarz particles in x-dir. at z = zero
$var nybz0 = 0 $end no. boundarz particles in y-dir. at z = zero
$var nxbz1 = 0 $end no. boundarz particles in x-dir. at z = zcell
$var nybz1 = 0 $end no. boundarz particles in y-dir. at z = zcell
$var nfix = 0 $end no. of fixed particles
$var nfxpl = 2 $end no. of fixed planes
$var nzcyl = 0 $end no. z-cylinders
$var izeta = 0 $end flag for holding kin energy constant
$var icoord = 0 $end flag for coordinates print out
$var itty = 0 $end flag for tty interaction
$var ihertz = 0 $end flag for hertz power law
$var ixyz = 0 $end flag to read initial coords of fixed &
boundary particles
$var ialtk = 0 $end flag for alternate values for side walls
$var tmax = 1. $end max time for calculation
$var dt = 0. $end time step
$var dtout = 0. $end time interval for printing out results
$var dtoutx = 0.1 $end time interval for printing positions
$var dtoutv = 0.5 $end time interval for printing velocities
$var dtdump = 0.1 $end time interval for dumping
$var tzero = 1. $end restart long-term cum. ave.
$var edot = 0. $end strain rate
$var epsv = 0.0. $end relative error tolerance
$var search = 0.005 $end search distance for near neighbors
$var ycell = 1.16250 $end cell height (m)
```

```

$var xyrat = 1.33333 $end ratio for xcell = 1.55
$var zyrat = 0.02 $end ratio for zcell = .0465/2
$var pack = 0. $end solids packing fraction
$var vave = 0.0 $end average velocity (initial)
$var vseed = 0.5 $end seed for random initial particle velocities
$var vxzero = 0.0 $end initial velocity in the x-direction (ave)
$var vyzero = 0.0 $end initial velocity in y-direction (ave)
$var skn1 = 2000. $end normal force coefficient
$var elast = 0.85 $end coefficient of restitution
$var elastb = 0.85 $end "
$var slope = 0. $end alternative parameter for unloading
$var ratk = 0.7 $end ratio of tangential/normal stiffness
$var fmu = 0.5 $end coefficient of friction
$var fmuB = 0.65 $end friction for boundary and fixed particles
$var drag = 0.0 $end v-squared drag force coefficient
$var power = 1.0 $end tangential force exponent
$var rmassz = 5032.3019 $end mass of unit sphere (makes rmass=5.92045e-4)
$var gravx = 9.80665 $end acceleration of gravity in y direction
$var draddt = 10. $end rate of increase of particle radii
$var number(1) = 7000, 4 $end number of particles in each
group
$var radius(1) = 0.0049, 0.0049 $end particle radii each group
$var pmas(1) = 5.92045e-4, 5.92045e-4 $end particle mass in group
$var x(7003) = .2132117818, .7132117818 $end x location of fixed planes
$var y(7003) = .3463731207, .3463731207 $end y location of fixed planes
$var z(7003) = .5, .5 $end z location of fixed planes
$var q1old(7003) = .0, .0 $end fixed plane director
$var q2old(7003) = .0, .0 $end fixed plane director
$var q3old(7003) = -.461748613235, -.461748613235 $end fixed plane director
$var q4old(7003) = .887010833178, .887010833178 $end fixed plane director
$var finis = 1. $end

```

Corrida 2. Diámetro máximo permisible para las partículas en el silo

```

i3ds002 35deg silo e=0.85, k=2000, fmu=0.5, fmuB=0.65
$var np = 7004 $end total number of particles in cell
$var nfix = 0 $end number of fixed particles (lower boundary on
plane)
$var nout = 0 $end number of times to print out results
$var noutv = 0 $end number of times to print out velocities
$var nczero = 0 $end number of collisions before start cum. ave.
$var ncmx = 0 $end number of collisions during entire run
$var ntc01 = 40 $end number of timesteps during a collision.
$var nyzone = 1 $end number of y zones
$var nvel = 1 $end number of velocity intervals
$var itervm = 1 $end max iterations per time step
$var ireal = 1 $end flag for periodic boundaries
$var imirz = 1 $end flag for mirror boundaries
$var nxby0 = 1 $end no. boundary particles in x-dir. at y = zero
$var nzby0 = 1 $end no. boundary particles in z-dir. at y = zero
$var nxby1 = 1 $end no. boundary particles in x-dir. at y = ycell
$var nzby1 = 1 $end no. boundary particles in z-dir. at y = ycell
$var nxbz0 = 0 $end no. boundariz particles in x-dir. at z = zero
$var nybz0 = 0 $end no. boundariz particles in y-dir. at z = zero
$var nxbz1 = 0 $end no. boundariz particles in x-dir. at z = zcell
$var nybz1 = 0 $end no. boundariz particles in y-dir. at z = zcell
$var nfix = 0 $end no. of fixed particles
$var nfxpl = 2 $end no. of fixed planes
$var nzcyl = 0 $end no. z-cylinders
$var izeta = 0 $end flag for holding kin energy constant

```

```

$var icoord = 0 Send flag for coordinates print out
$var itty = 0 Send flag for tty interaction
$var ihertz = 0 Send flag for hertz power law
$var ixyz = 0 Send flag to read initial coords of fixed &
boundary particles
$var ialtk = 0 Send flag for alternate values for side walls
$var tmax = 1. Send max time for calculation
$var dt = 0. Send time step
$var dtout = 0. Send time interval for printing out results
$var dtoutx = 0.1 Send time interval for printing positions
$var dtoutv = 0.5 Send time interval for printing velocities
$var dtdump = 0.1 Send time interval for dumping
$var tzero = 1. Send restart long-term cum. ave.
$var edot = 0. Send strain rate
$var epsv = 0. Send relative error tolerance
$var search = 0.01 Send search distance for near neighbors
$var ycell = 1.16250 Send cell height (m)
$var xyrat = 1.33333 Send ratio for xcell = 1.55
$var zyrat = 0.04 Send ratio for zcell = .0465
$var pack = 0. Send solids packing fraction
$var vave = 0.0 Send average velocity (initial)
$var vseed = 0.5 Send seed for random initial particle velocities
$var vxzero = 0.0 Send initial velocity in the x-direction (ave)
$var vyzero = 0.0 Send initial velocity in y-direction (ave)
$var sknl = 2000. Send normal force coefficient
$var elast = 0.85 Send coefficient of restitution
$var elastb = 0.85 Send "
$var slope = 0. Send alternative parameter for unloading
$var ratk = 0.7 Send ratio of tangential/normal stiffness
$var fmu = 0.5 Send coefficient of friction
$var fmub = 0.65 Send friction for boundary and fixed particles
$var drag = 0.0 Send v-squared drag force coefficient
$var power = 1.0 Send tangential force exponent
$var rmass = 5032.3019 Send mass of unit sphere (makes rmass=5.0323e-3)
$var gravx = 9.80665 Send acceleration of gravity in y direction
$var draddt = 10. Send rate of increase of particle radii
$var number(1) = 7000, Send number of particles in each group
$var radius(1) = 0.01, 0.01 Send particle radii each group
$var x(7003) = .2132117818, .7132117818 Send x location of fixed planes
$var y(7003) = .3463731207, .3463731207 Send y location of fixed planes
$var z(7003) = .5, .5 Send z location of fixed planes
$var q1old(7003) = .0, .0 Send fixed plane director
$var q2old(7003) = .0, .0 Send fixed plane director
$var q3old(7003) = -.461748613235, -.461748613235 Send fixed plane director
$var q4old(7003) = .887010833178, .887010833178 Send fixed plane director
$var finis = 1. Send

```

Corrida 3. Estado permanente del flujo en un silo hexagonal

```

i3ds003 35deg silo e=0.85, k=2000, fmu=0.5, fmub=0.65
$var np = 12004 Send total number of particles in cell
$var nfix = 0 Send number of fixed particles (lower boundary on
plane)
$var nout = 0 Send number of times to print out results
$var noutv = 0 Send number of times to print out velocities
$var nczero = 0 Send number of collisions before start cum. ave.
$var ncmax = 0 Send number of collisions during entire run
$var ntcoll = 40 Send number of timesteps during a collision.
$var nyzone = 1 Send number of y zones
$var nvel = 1 Send number of velocity intervals

```

```

$var  istart = 1000      Send restart run
$var  itervm = 1         Send max iterations per time step
$var  ireal = 1          Send flag for periodic boundaries
$var  imir = 1           Send flag for mirror boundaries
$var  nxby0 = 1          Send no. boundary particles in x-dir. at y = zero
$var  nxby1 = 1          Send no. boundary particles in x-dir. at y = ycell
$var  nxbz0 = 0          Send no. boundaraz particles in x-dir. at z = zero
$var  nxbz1 = 0          Send no. boundaraz particles in x-dir. at z = ycell
$var  nzbz0 = 0          Send no. boundaraz particles in x-dir. at z = zero
$var  nzbz1 = 0          Send no. boundaraz particles in x-dir. at z = zcell
$var  nfix = 0           Send no. of fixed particles
$var  nfixp = 2          Send no. of fixed planes
$var  nzcyl = 0          Send no. z-cylinders
$var  izeta = 0          Send flag for holding kin energy constant
$var  icoord = 0         Send flag for coordinates print out
$var  itty = 0           Send flag for tty interaction
$var  ihertz = 0         Send flag for hertz power law
$var  ixyz = 0           Send flag to read initial coords of fixed &
boundary particles
$var  ialtk = 0          Send flag for alternate values for side walls
$var  tmax = 4.          Send max time for calculation
$var  dt = 0.            Send time step
$var  dtout = 0.         Send time interval for printing out results
$var  dtoutx = 0.5       Send time interval for printing positions
$var  dtoutv = 0.5       Send time interval for printing velocities
$var  dtdump = 0.2       Send time interval for dumping
$var  tzero = 1.         Send restart long-term cum. ave.
$var  edot = 0.          Send strain rate
$var  epsv = 0.          Send relative error tolerance
$var  ssearch = 0.01     Send search distance for near neighbors
$var  ycell = 1.16250    Send cell height (m)
$var  xyrat = 1.33333    Send ratio for xcell = 1.55
$var  zyrat = 0.1        Send ratio for zcell = 1.1625
$var  pack = 0.          Send solids packing fraction
$var  vave = 0.0         Send average velocity (initial)
$var  vseed = 0.5        Send seed for random initial particle velocities
$var  vxzero = 0.0       Send initial velocity in the x-direction (ave)
$var  vyzero = 0.0       Send initial velocity in the y-direction (ave)
$var  sknl = 2000.       Send normal force coefficient
$var  elast = 0.85       Send coefficient of restitution
$var  elastb = 0.85      Send "
$var  slope = 0.         Send alternative parameter for unloading
$var  ratk = 0.7         Send ratio of tangential/normal stiffness
$var  fmu = 0.5          Send coefficient of friction
$var  fmub = 0.65        Send friction for boundary and fixed particles
$var  drag = 0.0         Send v-squared drag force coefficient
$var  power = 1.0        Send tangential force exponent
$var  rmassz = 5032.3019 Send mass of unit sphere (makes rmass=5.0323e-3)
$var  gravx = 9.80665    Send acceleration of gravity in y direction
$var  draddt = 10.       Send rate of increase of particle radii
$var  number(1) = 12000, 4 Send number of particles in each group
$var  radius(1) = 0.01, 0.01 Send particle radii each group
$var  x(12003) = .2132117818, .7132117818 Send x location of fixed planes
$var  y(12003) = .3463731207, .3463731207 Send y location of fixed planes
$var  z(12003) = .5, .5 Send z location of fixed planes
$var  q1old(12003) = .0, .0 Send fixed plane director
$var  q2old(12003) = .0, .0 Send fixed plane director
$var  q3old(12003) = -.461748613235, -.461748613235 Send fixed plane director
$var  q4old(12003) = .887010833178, .887010833178 Send fixed plane director

```

\$svar finis = 1. \$send

Corrida 4. El silo completo

```

13ds004 35deg silo e=0.85, k=2000, fmu=0.5, fmb=0.65
$var np = 25006                    $send total number of particles in cell
$var nfix = 0                      $send number of fixed particles (lower boundary on
plane)
$var nout = 0                      $send number of times to print out results
$var noutv = 0                     $send number of times to print out velocities
$var nczero = 0                    $send number of collisions before start cum. ave.
$var ncmx = 0                      $send number of collisions during entire run
$var ntc0l = 40                    $send number of timesteps during a collision.
$var nyzone = 1                    $send number of y zones
$var nvel = 1                      $send number of velocity intervals
$var istart = 0                    $send restart run
$var itervm = 1                    $send max iterations per time step
$var ireal = 1                     $send flag for periodic boundaries
$var imirr = 1                     $send flag for mirror boundaries
$var nxby0 = 1                     $send no. boundary particles in x-dir. at y = zero
$var nzby0 = 1                     $send no. boundary particles in z-dir. at y = zero
$var nxby1 = 1                     $send no. boundary particles in x-dir. at y = ycell
$var nzby1 = 1                     $send no. boundary particles in z-dir. at y = ycell
$var nxz0 = 0                      $send no. boundarzz particles in x-dir. at z = zero
$var nyz0 = 0                      $send no. boundarzz particles in y-dir. at z = zero
$var nxbz1 = 0                     $send no. boundarzz particles in x-dir. at z = zcell
$var nybz1 = 0                     $send no. boundarzz particles in y-dir. at z = zcell
$var nfix = 0                      $send no. of fixed particles
$var nfxpl = 3                     $send no. of fixed planes
$var nzcyl = 0                     $send no. z-cylinders
$var izeta = 0                     $send flag for holding kin energy constant
$var lcoord = 1                    $send flag for coordinates print out
$var itty = 0                      $send flag for tty interaction
$var ihertz = 0                    $send flag for hertz power law
$var ixyz = 0                      $send flag to read initial coords of fixed &
boundary particles
$var ialtk = 0                     $send flag for alternate values for side walls
$var tmax = 3.                     $send max time for calculation
$var dt = 0.                       $send time step
$var dtout = 0.                    $send time interval for printing out results
$var dtoutx = 0.2                  $send time interval for printing positions
$var dtoutv = 0.2                  $send time interval for printing velocities
$var dtdump = 0.05                $send time interval for dumping
$var tzero = 1.                    $send restart long-term cum. ave.
$var edot = 0.                     $send strain rate
$var epsv = 0.                     $send relative error tolerance
$var search = 0.00101              $send search distance for near neighbors
$var ycell = .11625                $send cell height (m)
$var xyrat = 1.72                  $send ratio for xcell = .2
$var zyrat = 0.1098                $send ratio for zcell = .012767
$var pack = 0.                     $send solids packing fraction
$var vave = 0.0                    $send average velocity (initial)
$var vseed = 0.5                   $send seed for random initial particle velocities
$var vxzero = 0.0                  $send initial velocity in the x-direction (ave)
$var vyzero = 0.0                  $send initial velocity in y-direction (ave)
$var skn1 = 2000.                  $send normal force coefficient
$var elast = 0.85                  $send coefficient of restitution
$var elastb = 0.85                $send "
$var slope = 0.                    $send alternative parameter for unloading
$var ratk = 0.7                    $send ratio of tangential/normal stiffness

```

```

$var fmu = 0.5 $end coefficient of friction
$var fmub = 0.65 $end friction for boundary and fixed particles
$var drag = 0.0 $end v-squared drag force coefficient
$var power = 1.0 $end tangential force exponent
$var rmassz = 5032.3019 $end mass of unit sphere (makes rmass=5.0323e-6)
$var gravx = 9.80665 $end acceleration of gravity in y direction
$var draddt = 10. $end rate of increase of particle radii
$var number(1) = 25000, 2, 2, 1, 1 $end number of particles in each
group
$var radius(1) = .001, .001, .001, .001, .001 $end particle radii each group
$var planex(1) = 1., 1., .316638, .215405, .363912 $end x' length of fixed
planes
$var planez(1) = 1., 1., 1., 1., .2 $end z' length of fixed
planes
$var x(25003) = .126259, .818385, .538950, .257325
$end x location of fixed planes
$var y(25003) = .392902, .446237, .588905, .557289
$end y location of fixed planes
$var z(25003) = .5, .5, .5, .5
$end z location of fixed planes
$var qlold(25003) = .0, .0, .0,
.0
$end fixed plane director
$var q2old(25003) = .0, .0, .0,
.0
$end fixed plane director
$var q3old(25003) = .548293229520, -.461748613235, -.461748613235,
.382683432365
$end fixed plane director
$var q4old(25003) = .836286155848, .887010833178, .887010833178,
.923879532511
$end fixed plane director
$var finis = 1. $end

```

Programas de Visualización

Para poder interpretar los resultados obtenidos de una simulación numérica se vuelve generalmente necesario generar algún tipo de imagen o gráfica. Esto se debe a que los números por sí solos, aún cuando sepamos lo que cada número representa, son difíciles de visualizar. Es necesario entonces emplear alguna clase de postprocesamiento que transforme los fríos números en algo un poco más comprensible.

Para la interpretación de las simulaciones de 3dshear se empleó un par de programas igualmente en Fortran77 que, dados como entrada los archivos de resultados de 3dshear, genera una serie de imágenes PostScript que corresponden a rebanadas del flujo a diferentes tiempos y con mayor o menor grado de perspectiva (para el caso de las posiciones).

El primero de estos programas, `plotmirr`, muestra las posiciones de las partículas representando a éstas como círculos. Este programa está escrito específicamente para geometrías con simetría, de donde toma su nombre de *dibuja espejo*.^a Las partículas más lejanas se representan con tonos más oscuros, y las más cercanas, con tonos más claros. En caso de que se desee visualizar la orientación de cada partícula, el programa puede representar por medio de arcos elípticos el ecuador y el meridiano principal de cada partícula. La descripción detallada de cada uno de los parámetros de entrada se hace en el código mismo, que se enlista a continuación.

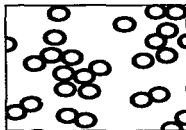
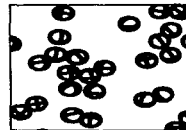


Figura 19. La figura a la izquierda muestra una configuración sin hacer énfasis en las orientaciones de cada partícula. La figura a la derecha, en cambio, muestra la misma configuración incluyendo las orientaciones.



^a En inglés, *plot mirror*.


```

c      f77 +U77 -O -o xp1tmirr pltmirr.f
c
c      This routine reads configurations of x, y, z points from input
c      file 'config.plot' and then generates a postscript plot file of
c      the configurations.
c
c      Otis Walton, L-207, LLNL, P.O. Box 808, Livermore, CA 94550
c      (415)422-3947, FAX(415)422-3118, e-mail: walton@s85.es.llnl.gov
c
c      Adapted from /us/walton/plot3d/plotthin.f 5/28/91
c
c      10/27/95 modified to read o3dx or o3dxq files from 3dshear
c      (i.e., header line,
c           skip a line,
c           n1 and n2,
c           r1 and r1,
c           xcell, ycell and zcell,
c           time,
c           xx,yy,zz (for n1+n2 lines)
c           time,
c           xx,yy,zz (for n1+n2 lines)
c           etc. )
c
c      ----- DESCRIPTION OF VARIABLES -----
c
c      The parameter 'nmx' is the maximum number of spheres on a single frame
c
c      n1 = no. of spheres of size 1
c      n2 = no. of spheres of size 2
c      ns = n1 + n2 = total number of spheres in each frame.
c      r1 = radius for first n1 spheres read in (i.e. group 1)
c      r2 = radius for next n2 spheres read in (i.e. group 2)
c      x, y, z = input coordinates of sphere centroids for configuration
c      xp, yp, zp = sphere coordinates, in order of increasing z
c      np = particle number (original input order)
c      ndx = np value of reordered spheres (i.e., particle number)
c      xcell = width of cell to be plotted
c      ycell = height of cell
c      zcell = depth of cell
c      Note, these are currently data loaded to 1.0
c      zh = z-thickness of thin section of second image cell plotted
c
c      eta, edot, ce, fmu, beta, eps, and time are quantities used only
c      in the output label for each configuration.
c
c      variables alpha, zscale and zvanish control the shape of the
c      perspective projection of the unit cell
c
c      unit 5 = standard input --- assumed to be interactive keyboard
c      unit 6 = standard output --- assumed to be workstation monitor
c      unit 7 = input file 'config.plot', 3 lines header, then x,y,z
c      unit 8 = postscript output file, 'plotout.ps' (i.e., pictures!)
c      use 'lpr plotout.ps' to send postscript file to printer
c      unit 9 = output file 'debugedit' containing i/o messages & errors
c
c      Note: This routine was written to read a specific format output
c      file generated by the hard sphere code hsbm. Several of
c      input and output lines are specific to that application.
c
c      Configurations are read, one at a time into the arrays x, y, & z,

```

```

c      then they are reordered in order of increasing z value so that
c      closer spheres will 'cover' spheres further away in the final
c      post script picture. The reordered coordinated xp, yp, zp are
c      given to subroutine 'plot' where they are scaled appropriately to
c      make a perspective-like image.
c
c      The arrays z and np are changed during the reordering and do not
c      contain useful information after reordering is complete.
c -----
      implicit real*8(a-h,o-z)
      real*4 alpha1,zscale1,zvan1
      real etime, tarray(2)
      character line1, label, idum
      parameter (NMX = 60000)
      dimension x(nmx), y(nmx), z(nmx), np(nmx)
      >      ,xp(nmx), yp(nmx), zp(nmx), ndx(nmx)
      >      ,rotx(nmx), roty(nmx), rotz(nmx)
      >      ,rotxp(nmx), rotyp(nmx), rotzp(nmx)
      dimension idum(10)
      common/ispheres/ ns,ns2,n1,n2,iellipse
      common/spheres/ r1,r2,ce,eta,fmu,beta
      common/cell/xcell,ycell,zcell,alpha,zscale,zvanish,zh,edot,time
      common/label/line1(80)
c
c      data alpha/45./,zscale/0.4/,zvanish/2.0/,xcell/1./,iellipse/0/
c      data ycell/1./,zcell/1./,zh/1.0/
c      write(6,*) ' alpha,zscale,zvanish,iellipse (zero for defaults): ',
      >      ' 45., 0.4, 2., 0'
      read(5,*) alpha1,zscale1,zvan1,iell
      if(alpha1.ne.0.) alpha = alpha1
      if(zscale1.ne.0.) zscale = zscale1
      if(zvan1.ne.0.) zvanish = zvan1
      if(iell.ge.0) iellipse = iell
      write(6,fmt="( ' using:',3f6.2,i3)")alpha,zscale,zvanish,iellipse
      write(6,*) ' deltaz (zero for default): ',
      >      ' 1.0'
      read(5,*) deltaz
      if(deltaz.ne.0.) zh = deltaz
      open(unit=9, file="debugedit", form="formatted")
      write(9,*) ' alpha,zscale,zvanish,iellipse: ',
      >      alpha,zscale,zvanish,iellipse
      open(unit=7, file="config.plot", form="formatted", status="old",
      >      err=900)
      nconf=0
      read(7,fmt="(80a1)",err=900)(line1(i),i=1,80)
c-----skip line (3dshear ... version...)
      read(7,fmt="(10a8)",err=910)(idum(i),i=1,10)
      read(7,*,err=920)label,n1,n2
      read(7,*,err=930)label,r1,r2
      read(7,*,err=980)label,xcell,ycell,zcell
      yref = 2.*(ycell - r2)
      zh = zh*zcell
      zvanish = zvanish*zcell
      ns = n1 + n2
      ns2 = ns + ns
      write(6,fmt="( ' xcell,ycell,zcell,n1,n2,r1,r2: ',3e10.3,2i5,3e12.4) "
      >)xcell,ycell,zcell,n1,n2,r1,r2
      write(9,fmt="( ' xcell,ycell,zcell,n1,n2,r1,r2: ',3e10.3,2i5,3e12.4) "
      >)xcell,ycell,zcell,n1,n2,r1,r2

```

```

100 read(7,*,err=985,end=985)label,time
   write(6,fmt="( 'time:',Opf10.3,3x,'ns:',
>         i5)")time,ns
   write(9,fmt="( 'time:',Opf10.3,3x,'ns:',
>         i5)")time,ns

do 115 i=1,ns
read(7,*,err=970) xx,yy,zz,rotxx,rotyy,rotzz
imod = i/2
iodd = i - imod*2
x(2*i - 1) = xx
z(2*i - 1) = zz
roty(2*i - 1) = rotyy
x(2*i) = xx
z(2*i) = zz
roty(2*i) = rotyy
if(iodd.eq.1) then
y(2*i - 1) = yy
y(2*i) = yref - yy
rotx(2*i - 1) = rotxx
rotx(2*i) = -rotxx
rotz(2*i - 1) = rotzz
rotz(2*i) = -rotzz
else
y(2*i - 1) = yref - yy
y(2*i) = yy
rotx(2*i - 1) = -rotxx
rotx(2*i) = rotxx
rotz(2*i - 1) = -rotzz
rotz(2*i) = rotzz
endif
np(2*i - 1) = 2*i - 1
np(2*i) = 2*i
115 continue

nconf=nconf + 1
c
c-----reorder position vectors in increasing value of z
big = 1.e+20
k=0
nlist = ns2
400 zmin1 = big
c-----find smallest remaining z value
do 500 i = 1,nlist
if(z(i).gt.zmin1) go to 500
zmin1 = z(i)
imin = i
500 continue
c
c-----add smallest remaining z to end of reordered list
k = k + 1
ndx(k) = np(imin)
zp(k) = z(imin)
xp(k) = x(ndx(k))
yp(k) = y(ndx(k))
rotxp(k) = rotx(ndx(k))
rotyp(k) = rotz(ndx(k))
rotzp(k) = rotz(ndx(k))
if(k.ge.ns2) go to 600
nlist = nlist - 1

```

```

        if(nlist.lt.imin) go to 400
c
c-----move remaining z and np values up.  note else remain in orig order
do 550 i = imin,nlist
  z(i) = z(i+1)
  np(i) = np(i+1)
  550 continue
  go to 400
c ----done with reorder on z
  600 continue

      call plot(xp,yp,zp,rotxp,rotyp,rotzp,ndx)

c
c      continue reading configurations and plotting until file exhausted
c
      go to 100

c
  900 write(6,*)' could not open file config.plot'
      write(9,*)' could not open file config.plot'

      go to 999
  910 write(6,*)' error reading 2nd line of config.plot'
      write(9,*)' error reading 2nd line of config.plot'
      go to 990

  920 write(6,*)' error reading number of spheres, n1 and n2'
      write(9,*)' error reading number of spheres, n1 and n2'
      go to 990

  930 write(6,*)' error reading radii, r1 and r1'
      write(9,*)' error reading radii, r1 and r1'
      go to 990

  970 ii= i-1
      write(6,9970)ns,ii, x(ii), y(ii), z(ii)
      write(9,9970)ns,ii, x(ii), y(ii), z(ii)

  9970 format(' reading',i5,' records, last read i=',i5,' x,y,z:',
    >         1p3e12.4)
      go to 990
  980 write(6,*)' error reading xcell, ycell, zcell file config.plot'
      write(9,*)' error reading xcell, ycell, zcell file config.plot'

      go to 990
  985 write(6,fmt="(' error reading time, last time read:',
    >         1p2e13.6)")time
      write(9,fmt="(' error reading time, last time read:',
    >         1p2e13.6)")time

  990 write(6,fmt="(' processed',i5,' configurations')") nconf
      write(9,fmt="(' processed',i5,' configurations')") nconf
c-----computer time used
  999 ttot = etime(tarray)
      ttot = tarray(1) + tarray(2)
      write(6,fmt="(' cumulative computer time (s) =', 1p1e2.4)")ttot
      write(9,fmt="(' cumulative computer time (s) =', 1p1e2.4)")ttot
      stop
      end
c

```

```

C
C
C      subroutine plot(x,y,z,xrot,yrot,zrot,np)
C      Plots sphere positions by generating a postscript file.
C-----
C      This routine generates a crude one vanishing point perspective
C      projection of sections of a cell.
C      Particles are represented as filled circles (with ellipses for
C      equator and prime meridian lines on each sphere).
C
C      
C
C      Image characteristics are controlled by four parameters:
C      alpha: the angle the projected z-axis makes with the x-axis
C      zscale: zunit/xunit, unit of measure along projected z-axis
C             (uniformly applied)
C      zvanish - distance along z-axis (in x-axis units) to where all
C             z-lines converge.
C      zh:- the thickness of the sections thru the cell along the z-axis
C
C      This scaling could, alternatively, be accomplished by
C      specifying the x and y coordinates of the z-vanishing point and
C      an appropriate scale to apply at the origin, with the scale
C      varying as the inverse of the distance from the vanishing pt.
C      This would be only slightly more 'correct' than the current
C      method since x and y axes would still be horizontal and vertical.
C-----ADDED---(7/18/96)
C      Besides, the code does not adjust the rotations of the ellipses
C      to show the different angles in the perspective.
C-----
C
C      implicit real*8(a-h,o-z)
C      real*4 graz
C      character line1
C      parameter (NMX = 60000, MXSLICE=10)
C      dimension x(nmx),y(nmx),z(nmx),np(nmx),nsl(mxslice)
C      > ,xrot(nmx),yrot(nmx),zrot(nmx)
C      common/spheres/ ns,ns2,n1,n2,iellipse
C      common/spheres/ r1,r2,ce,eta,fm,beta
C      common/cell/xcell,ycell,zcell,zscale,zvanish,zh,edot,time
C      common/label/line1(80)
C
C      dimension mp(2,14)
C      dimension pt(3,14),pp(2,14)
C
C      zh = thickness of each section to be plotted (user coords)
C      pt(ijk,m) ----alternate variable for same 14 corner points
C      pp(ij,m) ----two dimensional projection of 14 corner points
C      mp(ij,m) ----post script integer coordinates of 14 pts
C-----
C----- initialize positions of corners
C
C      data npage/0/
C      do 10 m=1,4

```

```

10 pt(3,m)= 0.
do 11 m=11,14
11 pt(3,m)= zh

pt(2,1)= 0.
pt(2,2)= 0.
pt(2,11)= 0.
pt(2,12)= 0.
pt(2,3)= ycell
pt(2,4)= ycell
pt(2,13)= ycell
pt(2,14)= ycell

pt(1,1)= 0.
pt(1,11)= 0.
pt(1,3)= 0.
pt(1,13)= 0.
pt(1,2)= xcell
pt(1,4)= xcell
pt(1,12)= xcell
pt(1,14)= xcell

open(unit=8, file='plotout.ps')

c programming note (9/19/90):
c Prologue info is repeated for each config in output
c file. This is not necessary. Eliminating this dup-
c lication would slightly reduce size of output file.
c Also, open statement is encountered each time thru
c (again, not necessary, but it doesn't seem to cause
c any problems).

write(8,fmt="('%!PS-Adobe-1.0'")
write(8,fmt="('% lib/pscat.pro -- prolog for pscat (troff) files
>')")
write(8,fmt="('% Copyright (C) 1985 Adobe Systems, Inc.'")
write(8,*) 'save /pscatsave exch def'
write(8,*) '/$pscat 50 dict def'
write(8,*) '$pscat begin'
write(8,fmt="('%EndProlog'")

c
zero = 0.0
one = 1.0
two = 2.
three = 3.
four = 4.
pi = four*atan(one)
degrad = pi/180.
alpha = alpha*degrad
cosa = cos(alpha)
sina = sin(alpha)
width = 2000*xcell/ycell
height = 2000
xoffset = zscale*cosa*zh
yoffset = zscale*sina*zh
factor = width/xcell
nx0 = 90 + xoffset*factor
ny0 = 100 + yoffset*factor

c
zvi = one/zvanish

```

```

c----scale coordinates
  do 100 m=1,14
    zp = zscale*pt(3,m)
    xyscale = one + zvi*zp
    pp(1,m) = pt(1,m)*xyscale - zp*cosa
    pp(2,m) = pt(2,m)*xyscale - zp*sina
    mp(1,m) = factor*pp(1,m)
  mp(2,m) = factor*pp(2,m)
  100 continue

  if(iellipse.ne.0) then

c      *****define ellipses*****
c      Copied from PostScript Cookbook by Adobe Systems, (c)1985
c      Addison-Wesley Pub., 1987
    write(8,*) '/ellipsedict 8 dict def'
    write(8,*) ' ellipsedict /mtrx matrix put'
    write(8,*) ' /ellipse'
    write(8,*) ' { ellipsedict begin'
    write(8,*) ' /endangle exch def'
    write(8,*) ' /startangle exch def'
    write(8,*) ' /yrad exch def'
    write(8,*) ' /xrad exch def'
    write(8,*) ' /y exch def'
    write(8,*) ' /x exch def'

    write(8,*) ' /savematrix mtrx currentmatrix def'
    write(8,*) ' x y translate'
    write(8,*) ' xrad yrad scale'
    write(8,*) ' 0 0 1 startangle endangle arc'
    write(8,*) ' savematrix setmatrix'
    write(8,*) ' end'
    write(8,*) ' } def'
c      *****end def ellipses *****
    endif

c.... select subset of spheres in each slice
  nframes = zcell/zh
  if(nframes.gt.mxslice) nframes = mxslice

  islice = 1
    zmax = islice*zh

    do 120 j = 1,ns2
      if(z(j).le.zmax) then
        nsl(islice) = j
      go to 120
    else
      if(islice.ge.mxslice) go to 121
      islice = islice + 1
      nsl(islice) = j
      zmax = islice*zh
    endif
  120 continue
  121 continue
  nslice = islice

c... loop over slices drawing a box around each slice
  do 300 is=1,nslice

```

```

zmin = (is-1)*zh
zmax = is*zh

npage = npage + 1
write(8,fmt="(%%Page:',2i5)")npage,npage
write(8,*)'initgraphics 72 300 div dup scale newpath'
write(8,*)'/normalfont'
write(8,*)'/Helvetica-Bold findfont 60 scalefont def'
write(8,*)'normalfont setfont'
write(8,*)'3 setlinewidth'
write(8,*)'0 200 translate % move away from lower left corner'
write(8,*)'.9 .9 scale'
c***** write(8,*)'1800 100 translate % move to rotation point'
c***** write(8,*)'90 rotate % landscape orientation'
write(8,*)nx0,ny0,' translate % origin at rear left corner (pt1)'

c write(8,*)mp(1,1),mp(2,1),' moveto ',mp(1,2),mp(2,2),' lineto ',
cc > mp(1,4),mp(2,4),' lineto'
c write(8,*)mp(1,3),mp(2,3),' lineto ', mp(1,1),mp(2,1),
cc > ' lineto closepath stroke'
c write(8,*)mp(1,1),mp(2,1),' moveto ',mp(1,11),mp(2,11),
cc > ' lineto closepath stroke'
c write(8,*)mp(1,2),mp(2,2),' moveto ',mp(1,12),mp(2,12),
cc > ' lineto closepath stroke'
c write(8,*)mp(1,3),mp(2,3),' moveto ',mp(1,13),mp(2,13),
cc > ' lineto closepath stroke'
c write(8,*)mp(1,4),mp(2,4),' moveto ',mp(1,14),mp(2,14),
cc > ' lineto closepath stroke'

ibox2 = 0
nfirst = 1
if(is.ne.1) nfirst = nsl(is -1) + 1
nlast = nsl(is)
do 200 i=nfirst,nlast
rad = r1
if(np(i).gt.nl)rad = r2
c.....shift particles in each slice to location of first for plot

zp = zscale*(z(i) - zmin)
xyscale = one + zvi*zp
xx = x(i)*xyscale - zp*cosa
yy = y(i)*xyscale - zp*sina
nx = xx*factor
ny = yy*factor
znear = zh - rad
graz = 0.5 + 0.5*(z(i)-zmin)/znear

scaler = rad*xyscale
nrad = scaler*factor

c finish drawing the front of primary bounding box before plotting
c front spheres.
c if((z(i) - zmin).gt.znear).and.(ibox2.eq.0)) then
c ibox2 = 1
c write(8,*)mp(1,11),mp(2,11),' moveto ',mp(1,12),mp(2,12),
cc > ' lineto ',mp(1,14),mp(2,14),' lineto'
c > write(8,*)mp(1,13),mp(2,13), ' lineto ', mp(1,11),mp(2,11),
cc > ' lineto closepath stroke'
c write(8,*)mp(1,6),mp(2,6),' moveto ',mp(1,10),mp(2,10),
cc > ' lineto closepath stroke'

```



```

c      endif
c
if(iellipse.ne.0) then
c--- calculate ellipse properties
c--- new code for arbitrary rotations about +x +y +z
      sinxrot = sin(xrot(i))
      sinyrot = sin(yrot(i))
      prodsin = sinxrot*sinyrot
      xyrotr = -asin(sinxrot*sinyrot)
      xyrotd = xyrotr/degrad
      zrotd = zrot(i)/degrad
      nxrad = scaler*factor*sinyrot
      nyrad = scaler*factor*sinxrot*cos(yrot(i))
      if(prodsin.lt.0) nrad = -nrad
c-----Commented out old code-----
c      zf = (z(i) - zmin) + rad
c      zb = (z(i) - zmin) - rad
c      zpf = zscale*zf
c      zpb = zscale*zb
c      xysf = one + zvi*zpf
c      xysb = one + zvi*zpb
c      xxf = x(i)*xysf - zpf*cosa
c      yyf = y(i)*xysf - zpf*sina
c      xxb = x(i)*xysb - zpb*cosa
c      yyb = y(i)*xysb - zpb*sina
c      dy = yyb - yyf
c      dx = xxb - xxf
c      absdy = abs(dy)
c      absdx = abs(dx)
c      absry = absdy/two
c      absrx = absdx/two
c      nxrad = absrx*factor
c      nyrad = absry*factor
c      arcx = ' 180 360'
c      arcy = ' 90 270'
c      if(dx.lt.zero) arcy = ' 270 90'
c      if(dy.lt.zero) arcx = ' 0 180'
c-----
c      endif
c
c--- plot scaled circle ... filled
      write(8,*) nx,ny,nrad,' 0 360 arc closepath'
c----- note:
c      Preliminary version plotted transparent spheres near
c      front with 360 degree ellipses. Resulting view was
c      confusing and difficult to interpret.
c
      if(graz.gt.1.)graz = 1.
      write(8,fmt='(' gsave ',f7.3,' setgray fill grestore stroke ')')
      > graz
c--- if(iellipse.ne.0) then
      plot ellipses in x-z and x-y planes on circle
      write(8,*) 'newpath gsave'
      write(8,*) nx,ny, ' translate'
      write(8,fmt='(f7.2,' rotate')')zrotd
      write(8,*) ' 0 0 ',nxrad,nrad,' 270 90 ellipse stroke'
      write(8,fmt='(f7.2,' rotate')')xyrotd
      write(8,*) ' 0 0 ',nrad,nyrad,' 180 360 ellipse stroke'
      write(8,*)'grestore'
endif

```

```

200  continue
c
c      finsih front of box if not already done
c      if (ibox2.eq.0) then
c          write(8,*)mp(1,11),mp(2,11), ' moveto ',mp(1,12),mp(2,12),
c          >      ' lineto ',mp(1,14),mp(2,14), ' lineto '
c          write(8,*)mp(1,13),mp(2,13), ' lineto ', mp(1,11),mp(2,11),
c          >      ' lineto closepath stroke'
c          write(8,*)mp(1,6),mp(2,6), ' moveto ',mp(1,10),mp(2,10),
c          >      ' lineto closepath stroke'
c      endif

c----- write title info above plot of configuration
write(8,*) ' 0 340 moveto (' ,l1n1,') show'
write(8,*) ' 0 260 moveto '
write(8,fmt="( ' ( n1=',i6, ' n2=',i6, ' r1=',lpe12.4,
> ' r2=',lpe12.4,') show' )")n1,n2,r1,r2
write(8,fmt="( ' 0 130 moveto (Time =',f12.5,') show' )") time

nps = nlast - nfirst + 1
write(8,fmt="( ' 0 50 moveto (Slice with ',i6, ' particles) show'
> )") nps
write(8,*) 'showpage'

300  continue
c
c      (Trailer info written after each showpage.  Not necessary!)
c
c      write(8,fmt="( '%&Trailer' )")
c      write(8,*) 'pscatsave end restore'
c      write(8,fmt="( '%&Pages: ',i3")npage

c----- Note: system call to lpr causes errors and lost output on
c         Solbourne/ Sun sparc system (unknown cause)
c----- close(8)
c----- idummy = system('lpr plotout.ps')

return
end

```

El segundo programa de postprocesamiento empleado lleva el nombre de `plotvect`, pues lo que hace es graficar vectores.^a El sistema es básicamente igual al que sigue `plotmirr`, pero se requiere de dos archivos de entrada en vez de uno: un archivo para la posición de las partículas y otro archivo para la velocidad de las mismas.

Se grafica un conjunto de vectores cuyas cola se encuentran exactamente en la posición correspondiente a cada partícula del sistema. La dirección de cada vector será igual a la dirección de la velocidad de su partícula correspondiente. La magnitud y el tono de gris de los vectores son proporcionales al logaritmo de la rapidez de la partícula representada. Se logra con esto obtener mapas de velocidades como el mostrado en la *Figura 17a*, pág. 44. A continuación se muestra la rutina empleada para dibujar las flechas.

```
c ***** define arrows *****
c Copied from PostScript Cookbook by Adobe Systems, (c)1985
c Addison-Wesley Pub., 1987
  write(8,*) '/arrowdict 10 dict def'
  write(8,*) 'arrowdict begin'
  write(8,*) '/mtrx matrix def'
  write(8,*) 'end'
  write(8,*) '/arrow'
  write(8,*) '{ arrowdict begin'
  write(8,*) ' /headlength exch def'
  write(8,*) ' /halfheadthickness exch 2 div def'
  write(8,*) ' /halfthickness exch 2 div def'
  write(8,*) ' /angle exch def /arrowlength exch def'
  write(8,*) ' /tailx exch def /tailx exch def'
  write(8,*) ' /base arrowlength headlength sub def'
  write(8,*) ' /savematrix mtrx currentmatrix def'
  write(8,*) ' tailx tailx translate'
  write(8,*) ' angle rotate'
  write(8,*) ' 0 halfthickness neg moveto'
  write(8,*) ' base halfthickness neg lineto'
  write(8,*) ' base halfheadthickness neg lineto'
  write(8,*) ' arrowlength 0 lineto'
  write(8,*) ' base halfheadthickness lineto'
  write(8,*) ' base halfthickness lineto'
  write(8,*) ' 0 halfthickness lineto'
  write(8,*) ' closepath'
  write(8,*) ' savematrix setmatrix'
  write(8,*) ' end'
  write(8,*) '}' def'
c ***** end def arrows *****
```

^a En inglés, *plot vectors*.

Referencias

- Adobe Systems, 1987, *PostScript Cookbook*, Addison-Wesley.
- Allen, M. P., y D. J. Tildesley, 1987, *Computer Simulation of Liquids*, Oxford Science Publications.
- Aoki, K. M., T. Akiyama, Y. Maki, y T. Watanabe, 1996, *Phys. Rev. E* **54**, 874.
- Ben-Naim, E., J. B. Knight, E. Nowak, H. M. Jaeger, y S. R. Nagel, 1996, preprint *Phys. Rev. Lett.*
- Bideau, D., y J. A. Dodds, 1991, editores, *Physics of Granular Media*, Serie Les Houches, Nova Science.
- Brooker, D. B., F. W. Bakker-Arkema, y C. W. Hall, 1992, *Drying and storage of grains and oilseeds*, Van Nostrand Reinhold, pp. 133-135 y apéndices.
- Campbell, C. S., 1990, *Annu. Rev. Fluid Mech.* **22**, 57.
- Chávez Montes, B. E., 1997, *Poscosecha del Maíz en México. Evaluación de una Alternativa: el Silo Solar Hexagonal*, Tesis de Licenciatura, Fac. de Química.
- Coulomb, C., 1773, en *Memoir de Mathematique et de Physique*, Vol. 7, Academie des Sciences, Paris, p. 343.
- Ehrichs, E. E., H. M. Jaeger, G. S. Karczmar, J. B. Knight, V. Yu. Kuperman, y S. R. Nagel, 1995, *Science* **267**, 1632.
- Ennis, B. J., J. Green, y R. Davis, 1994, *Particle Technology* **90**, 32.
- Evans, D. J., y S. Murad, 1977, *Mol. Phys.* **34**, 327.
- Faraday, M., 1831, *Phil. Trans. R. Soc. London* **52**, 299.
- Galicia Ávila, O. M., 1997, *Algunas Consideraciones Termodinámicas en la Conservación de Granos Alimenticios*, Tesis de Licenciatura, Fac. de Ingeniería.

- Goldstein, H., 1950, *Classical Mechanics*, Addison-Wesley, p. 9, § 10.
- Haff, P. K., 1983, *J. Fluid Mech.* **134**, 401.
- Haff, P. K., 1986, *J. Rheol.* **30**, 931.
- Hernández Nava, G., H. R. Morano Okuno, L. G. Sosa Lujano, 1995, *Secado y Aireación Solar en un Silo Hexagonal*, Tesis de Licenciatura, Fac. de Ingeniería.
- Hewlett Packard, 1996, HP-UX 10.01 man pages.
- Hill, K. M., A. Caprihan, y J. Kakalios, 1997, *Phys. Rev. Lett.* **78**, 50.
- Ippolito, I., C. Annic, J. Lemaître, L. Oger, y M. Matsushita, 1995, *Phys. Rev. E* **52**, 2072.
- Jaeger, H. M., S. R. Nagel, y R. P. Behringer, 1996a, *Phys. Today* **49**, 32.
- Jaeger, H. M., S. R. Nagel, y R. P. Behringer, 1996b, *Rev. Mod. Phys.* **68**, 1259.
- Jenkins, J. T., y S. B. Savage, 1983, *J. Fluid Mech.* **130**, 186.
- Joseph, G., B. Mena, E. Moreno, E. Sansores y O. R. Walton, 1996, *Proceedings XIIth International Congress on Rheology*, editado por A. Ait-Kadi, J. M. Dealy, D. F. James y M. C. Williams, Québec, Canada, 795.
- Knight, J. B., C. G. Fandrich, C. N. Lau, H. M. Jaeger, y S. R. Nagel, 1995, *Phys. Rev. E* **51**, 3957.
- Knight, J. B., H. M. Jaeger, y S. R. Nagel, 1993, *Phys. Rev. Lett.* **70**, 3728.
- Knowlton, T. M., J. W. Carson, G. E. Klinzing, y W.-C. Yang, 1994, *Particle Technology* **90**, 44.
- Lee, J., 1994a, *J. Phys. A* **27**, L257.
- Lee, J., 1994b, *Phys. Rev. E* **49**, 281.
- Liu, C. H., S. R. Nagel, D. A. Schecter, S. N. Coppersmith, S. Majumdar, O. Narayan, y T. A. Witten, 1995, *Science* **269**, 513.
- McNamara, S., y Young, V. R., 1994, *Phys. Rev. E* **50**, 28.
- Metcalfe, G., T. Shinbrot, J. J. McCarthy, y J. M. Ottino, 1995, *Nature* **374**, 39.
- Mindlin, R. D., 1949, *J. Appl. Mech. Trans. ASME E* **16**, 259.
- Morris, S. W., y K. Choo, 1996, <http://mobydick.physics.utoronto.ca/sand.html> (Mayo 9, 1997), Grupo Experimental de Física No-Lineal, Universidad de Toronto.

- Nakagawa, M., y A. Caprihan, 1994, *Meeting on Flows of Granular Materials in Complex Geometries*, editado por S. L. Passman, E. Fukushima y R. E. Evans, Sandia Report SAND94-2732-UC-117, 19.
- Ogawa, S., 1978, *Proceedings US-Japan Seminar on Continuum-Mechanical and Statistical Approaches in the Mechanics of Granular Materials*, editado por S. C. Cowin y M. Satake, Tokio, Japón.
- Onoda, G. Y., y E. G. Liniger, 1990, *Phys. Rev. Lett.* **64**, 2727.
- Pak, H. K., E. Van Doorn, y R. P. Behringer, 1995, *Phys. Rev. Lett.* **74**, 4643.
- Pak, H. K., y R. P. Behringer, 1993, *Phys. Rev. Lett.* **71**, 1832.
- Pak, H. K., y R. P. Behringer, 1994, *Nature* **371**, 231.
- Reynolds, O., 1885, *Philos. Mag.* **20**, 469.
- Savage, S. B., y D. J. Jeffrey, 1981, *J. Fluid Mech.* **110**, 255.
- Timoshenko, S. P., y J. N. Goodier, 1970, *Theory of Elasticity*, 3ª ed., McGraw-Hill, pp. 409-422, § 140-142.
- Umbanhowar, P. B., F. Melo, y H. L. Swinney, 1996, *Nature* **382**, 793.
- Walton, O. R., y R. L. Braun, 1986, *J. Rheol.* **30(5)**, 949.
- Walton, O. R., y R. L. Braun, 1993, *Joint DOE/NSF Workshop On FLOW OF PARTICULATES AND FLUIDS*, Ithaca, Nueva York.
- Warr, S., J. M. Huntley, y G. T. H. Jacques, 1995, *Phys. Rev. E* **52**, 5583.
- Warr, S., y J. M. Huntley, 1995, *Phys. Rev. E* **52**, 5596.